



T.C.
BAYINDIRLIK ve İSKÂN BAKANLIĞI
AFET İŞLERİ GENEL MÜDÜRLÜĞÜ
DEPREM ARAŞTIRMA DAİRESİ

**DEPREM
ARAŞTIRMA
"BÜLTENİ"**

44



Deprem Araştırma Bülteni (DAB)

*Bulletin of Earthquake Research
(Bull. Earthq. Res.)*



Ocak [January] / 1984
Cilt [Volume]: 11

Sayı [Issue]: 44

Bayındırlık ve İskân Bakanlığı [Ministry of Public Works and Settlement]
Afet İşleri Genel Müdürlüğü [General Directorate of Disaster Affairs]
Deprem Dairesi Başkanlığı [Directorate of Earthquake Research]

İÇİNDEKİLER [INDEX]

Sayfa [Page]

TARTIŞMA [DISCUSSION]

İbrahim E. Leylek'in "Yapıların Deprem Hesabı Üzerine Bir Uygulama Örneği" Adlı Yazısı ile İlgili Bir İrdeleme [A Discussion on the Article of İbrahim E. Leylek Entitled "An Application Example on Earthquake Calculation of Structures"]

Uğur ERSOY 5-13

ARAŞTIRMA [RESEARCH]

Baraj-Rezervuar Sistemlerinin Dinamik Analizi [Dynamic Analysis of Dam-Reservoir Systems]

Namık K. ÖZTORUN, Nuri AKKAŞ 14-59

DİĞER [OTHER]

Başlangıç Gerilme Şartlarının Depremler Sırasında Sıvılaşmaya Etkisi (Deneyle ve Bir Yorum) [The Effect of Initial Stress Conditions on Liquefaction During Earthquakes (Experiments and A Comment)]

Sıtkı ONUR 60-70

DERLEME [REVIEW]

1982 Yılı Batı Türkiye Deprem Etkinliği [Western Turkey Earthquake Activity in 1982]

Nusret SANCAKLI, Ersin BAŞARIR, Erhan AYHAN, Esen ALSAN, Levent TEZUÇAN, S. Balamir ÜÇER, E. KASNAK 71-125

**DEPREM
ARASTIRMA
BÜLTENi**

44

Sayın İbrahim E. Leylek'in "YAPILARIN DEPREM HESABI ÖZERİNE BİR UYGULAMA ÖRNEĞİ" Adlı Yazısı ile İlgili bir İrdeleme

U. Ersoy*

1. GENEL

İmar ve İskan Bakanlığı, Deprem Araştırma Dairesince yayınlanmakta olan "Deprem Araştırma Bülteni, Yıl 10, Sayı 42, Temmuz 1983" sayısında, Sayın İbrahim Leylek tarafından "Yapıların Deprem Hesabı Özerinde bir Uygulama Örneği" adlı bir yazı yazılmıştır. Bu tür yazıların yazılması ve yayınlanması meslek açısından sevindiriciidir ve teşvik edilmelidir. Sayın Leylek bu konuda harcadığı zamandan dolayı kutlanmalıdır.

Bu tür yazıların olumlu yönü yanında meslek açısından bir de tehlikeli yönü vardır. Birçok meslektaşımız güvendiği dergilerde çıkan yazınlarda yapılan önerileri fazla irdelemeden benimsemekte ve hemen uygulamaya koymaktadır. Sayın Leylek'in yazısındaki bazı hususlar sakıncalı uygulamaya yol açacak ve yanlış anlamalara neden olacak niteliktedir. Sayın Leylek tarafından TS-500 ile ilgili öne sürülen endişeler ve bunların giderilmesi için DIN-1045'e başvurma gibi bazı girişimler, hesap yapan meslektaşlarının arasında da yaygındır.

Bu yazının amacı, Sayın Leylek'in yazısında yanlış uygulamalara yol açacak noktaların açıklığa kavuşturulması ve bu vesile ile TS-500 ile ilgili yaygın bazı yanılıqların giderilmesidir.

(*) Profesör, Orta Doğu Teknik Üniversitesi

2. YAPI GÜVENLİĞİ

Yazar, birçok diğer meslektaşımız gibi, TS-500 ün öngördüğü yapı güvenliği kavramının hesapları büyük çapta artıracağı ve zorlaştıracığı kanısındadır. Bu nedenle DIN-1045'teki yapı güvenliği yaklaşımını benimsenmiş ve TS-500 ile DIN-1045'i uzlaştırma yolunu yeğlemiştir. Burada hemen çok önemli bir nokta üzerinde durmaka yarar vardır. Ülkemizde nedense Alman Şartnamelerine aşırı bir güven vardır, ve maalesef meslektaşlarımız DIN-1045'i gökten inmiş bir kitap gibi kesin ve doğru kabul etmektedirler. Uzun yıllardanberi DIN-1045'e uymayan yöntemlere karşı da adeta bir direnme vardır. Alman meslektaşlarımıza ve bilim adamlarına hernekadar sonsuz saygımız varsa da, DIN-1045'in her söylediğinin doğru olduğunu inananlardan değiliz. Nitekim DIN-1045'in yapı güvenliği ile ilgili yaklaşımı başka ülkelerde olduğu kadar Almanya içinde de yoğun bir biçimde eleştirilmektedir. Yapı Güvenliğinin böyle kısa bir yazı içinde ayrıntılı olarak ele alınması elbette mümkün değildir. Ancak bir burada konuya açıklık getirebilmek ve DIN-1045 yaklaşımının pek tutarlı olmadığını gösterebilmek için bazı genel kavramları kısaca gözden geçireceğiz.

İdeal olarak yapı güvenliği aşağıdaki denklemle ifade edilebilir :

$$R_k \geq F_k \quad (1)$$

R_k ve F_k = karakteristik dayanım ve yük etkisi.

Çağdaş yaklaşılarda yapı güvenliği yıkılma olasılığı ile ilişkilendirilir. Kabul edilebilir bir yıkılma olasılığını saglayabilmek için Denklem (1) in sol tarafı bir malzeme katsayısına bölünür, $\gamma_m \geq 1.0$ ve denklemenin sağ tarafı da bir yük katsayı $(\gamma_f \geq 1.0)$ ile çarpılır.

$$\frac{R_k}{\gamma_m} \geq F_k \gamma_f \quad (2)$$

Denklem (2) ile belirlenen yapı güvenliği felsefesi bugün dünyanın önde gelen birçok ülkenin şartnamesinde temel alınmıştır. (CEB-FIP, İngiliz, Amerikan ACI, Sovyet, Doğu Avrupa vb.). TS-500'ün benimsediği felsefe de budur. Üte yandan, Alman Şartnamesi henüz CEB çalışmaları tamamlanmadan oluştugundan, izlenen yol emniyet gerilmeleri yönteminde izlenen yolun aynısı olmuştur. DIN-1045'in yapı güvenliği felsefesi, Denklem (2)'nin sağ tarafındaki yük katsayısı γ_f nin denklemin sol tarafına taşınması şeklinde özetlenebilir. Başka bir deyişle $\gamma_m \gamma_f$ bir emniyet katsayısı gibi dikkate alınmaktadır.

$$\frac{R_k}{\gamma_f \gamma_m} \geq F_k \quad \text{veya} \quad \frac{R_k}{\gamma} \geq F_k \quad (3))$$

Alman Şartnamesinde $\gamma = \gamma_m \gamma_f$ için 1.75 ile 2.1 arasında değişen değerler önerilmektedir. Görüldüğü gibi, γ emniyet gerilmelerinde kullanılan "emniyet katsayısı" ndan farksızdır. İlk bakışta Denklem (2) ve (3) 'ün eşdeğer görünmesine karşın gerçekde durum böyle değildir. γ_f in Denklemin sol tarafına kaydırılması, ancak ve ancak F_k nin R_k den bağımsız olduğu durumlar için geçerlidir. Betonarmenin gerçek davranışını bilenler, betonarme elemanlarının yük altında davranışını izlemiş olanlar, elastik sınırlar ötesinde F_k nin R_k ya bağımlı olduğunu çok iyi bilirler. Örneğin, bir kırışteki donatı miktarı ve yerleştirme düzeni değiştirildiğinde, kırılma anında elde edilecek moment diyagramı da değişir (burada moment diyagramı F_k yi, kesitteki donatı da kesit dayanımını, dolayısıyla R_k yi temsil eder). Bu konuda daha ayrıntılı bilgi Kaynak 1, 2, 3 ve 4 de bulunabilir.

Betonarme tarihi incelendiğinde, yapı güvenliğinin Denklem (3) ile gerçekçi olarak saptanamayacağının anlaşılması, emniyet gerilmeleri yönteminin terk edilişinde önemli bir rol oynadığı görülür. Bu husus son günlerde Almanya'daki meslektaşlarımızı da rahatsız etmektedir. Elimizdeki

bazı belgelerde⁽⁵⁾ bu rahatsızlık dile getirilmekte ve Alman Şartnamesini de Denklem (2) paraleline getirmek üzere çalışmalar yaptığını göstermektedir. Bundan anlaşılmaktadır ki ülkemizde bazı meslektaşlarımızca adeta tartışılmaz bir biçimde savunulan DIN-1045 güvenlik felsefesi Almanya'da şiddetle eleştirilmektedir.

Yazarın ve daha birçok meslektaşımızın Denklem (3) ile belirlenen güvenlik felsefesi yöntemini yeğlemelerinin temel nedeni, bunun DIN-1045'ce benimsenmiş olması ve uygulamada sağladığı kolaylıktır. Denklem (2)'yi temel alan yöntemlerde, malzeme katsayılarının yanı sıra yük katsayılarının da bulunmasının çeşitli yük kombinezonları altında analizi büyük çapta artıracağına inanılmaktadır. Bu konı ülkemizde oldukça yaygındır. Taşıma gücü konusunda vermiş olduğumuz çeşitli konferanslarda bu konının tam doğru olmadığını savunduk ve başlıca üç nokta üzerinde durduk:

- a. Analizin büyük çapta artacağı doğru değildir. Kaynak 4 ve 6'da açıkça gösterilmiş olduğu gibi, analiz bilinçli olarak yapılrsa, incelenen çerçeve sayısı $n+1$ olacaktır. Buradaki n emniyet gerilmeleri yöntemi veya DIN-1045 kullanıldığında gereken analiz sayısıdır.
- b. Analize harcanan zamanın biraz artması (a'da işaret edildiği gibi fark azdır), yapı güvenliğinin gerçekçi olarak saptanmasını olanaksız kıyan bir yola gitmemizi haklı gösteremez. Yapı güvenliğini tam olarak tanımlayabilen ve betonarmenin gerçek davranışına dayanan bir yöntem, bu gerekçe ile dışlanmamalıdır.
- c. Ülkemizdeki beton kalitesi genelde istenilen düzeyde değildir. Buna karşılık betonarme çeliği ise genellikle istenilen dayanımı sağlamaktadır. Bu durum bilinirken sözkonusu iki malzemeye de aynı güvenlik veya malzeme katsayılarının uygulanmasının doğru olmayacağı açıklıdır. Ayrıca ülkemizde genellikle beton kalitesi kötü oluyor diye iyi betonları da cezalandırmak doğru değildir. TS-500 bu nedenle beton malzeme katsayısı olarak tek değer

önermek yerine, çeşitli değerlerin kullanılmasına izin vermiştir ($\gamma_m = 1.5$ veya 1.7 veya daha yüksek) Böylece kötü ve iyi beton için aynı güvenlik katsayısı kullanmak yerine, mühendise bir takdir hakkı tanınmıştır.

Alman Sartnamesi $\gamma = 1.75 - 2.1$ almakla bütün yük türlerine aynı emniyet faktörünü uygulamış olmaktadır. Özellikle depremin de var olduğu durumlarda bu uygulama çok sakıncalı olmaktadır. Sayın Leylek bu endişe ile elemana etkiyen momentleri yazarken 1.75 i yalnız ölü ve hareketli yük momentlerine uygulamış, deprem momentini ise 1.0 ile çarpmıştır. Bu elbette yapay bir uygulamadır. Kaldı ki ölü yük ve hareketli yükle aynı katsayıyı uygulamak, her iki tür yükün de aynı kesinlikle saptanabileceğini kabul etmek demektir. Bunun doğru olmayacağı ise açıklıdır.

Sayın Leylek çeşitli yük kombinasyonlarını basitleştirmek için öneriler yapmış, bazı momentleri DIN-1045'e benzeterek 1.75 ile çarparken, deprem yükünü TS-500 paralelinde 1.0 katsayısı ile çarpmıştır. Çağdaş yapı güvenliği probabilistik bir temele oturtulmuş olup, şartnamelerde önerilen katsayılar bir yıkılma olasılığı ile ilişkilendirilmiştir. Bunlar uzun çalışmalar sonunda varılan sonuçları yansımaktadır. Benzer probabilistik veya yarı-probabilitik çalışmalar yapılmadan, çeşitli durumlar için yıkılma olasılıkları saptanmadan, "bize böyle uygun görünüyor" yaklaşımı ile katsayıları rastgele değiştirmek veya tamamen ayrı felsefelere dayanan iki şartnamedeki katsayıları birleştirerek ara çözüme gitmek hem çok yanlış, hem de çok tehlikeli olur. Sayın Leylek'in yazısını okuyan meslektaşlarımızı bu açıdan uyarmak isteriz.

Sayın Leylek'in veya bu konuya ilgilenen diğer meslektaşlarımızın konu ile ilgili Kaynak 2, 3, 4 ve 6'yi incelemelerini özellikle öneririz.

3. BETONARME HESABI VE DAVRANIŞ

Sayın Leylek yazısının 28. sayfası (c) paragrafında, "TS-500'ün öngördüğü formül ve denge denklemlerine her seferinde bas vurmanın lüzumu kalmayacaktır. Bu denklemlerin uygulanmasında her zaman teorik betonarme bilgilerinin yeniden hatırlanması zorunluğunu vardır" demektedir. Büyük yanlışlıklara ve yanlış anlamalara yol açacak bu paragraf üzerinde durarak bazı açıklamalar yapmak yararlı olacaktır.

- a. TS-500'ü temel alan çok sayıda tablo ve abaklar mevcuttur. Bu tablo ve abakların kullanımı emniyet gerilmeleri ile ilgili tablo ve abaklardan daha basittir. Bu tür yardımcı tablo ve çizelgeler Kaynak 6'da mevcuttur.
- b. Sözü edilen denge ve uygunluk denklemleri, mühendislik eğitiminin 2. sınıfında Mukavemet derslerinde gösterilen denklemlerin en basitidir. Beton basınç dağılımının dikörtgen olmasının en büyük avantajı budur. Herhangibir problemin çözümü için iki denge ve bir takım uygunluk denklemi yeterlidir. Bu denklemlerin yazılması ise Mukavemet dersini yeni alan bir öğrenci için bile son derece kolaydır (Bak Kaynak 3 veya 6).
- c. Yukarıdaki paragrafta belki en yanlış anlaşılacak olan "teorik" betonarme bilgilerinin yeniden hatırlanması zorunluğunu vardır" cümlesiidir. Bu cümlede mutlaka bir ifade yanlışlığı olmuştur. Sayın Leylek'in de çağdaş betonarme hesabının davranış ve temel betonarme bilgisi unutularak yapılmayağına bizim kadar inandığını eminiz. Ancak, bu hususta her türlü yanlış anlamayı önlemek için bazı açıklamaların yapılmasını zorunlu bulduk.

Tablo ve abaklara dayanılarak ve betonarme teorisi ve davranışını unutularak yapılan hesap mühendislik değildir. Bu tür hesapları bilgisayar çok daha doğru ve hızlı olarak yapabilir. Mühendis, bilgisayardan farklı

olarak düşünen, sezen ve karar verebilen bir kişidir. Bunları yapabilmesi için hesabın her aşamasında betonarme davranışını ve bilgisini hatırlaması gereklidir. Bazı yabancı ülkelerde bu bilgileri unutup, yalnız tablo ve abak kullanan mühendislere "El Kitabı Mühendisi" denir. Eğitim sırasında öğrencilerimize sürekli öğündümüz "el kitabı mühendisi" olmaları yönündedir. Bilindiği gibi kullanılan hesap ve analiz yöntemleri ne denli sofistike olursa olsun, elde edilen sayılar ancak yapılan varsayımlar kadar doğrudur. Davranışı yük geçmişine bağlı, doğrusal elastik olmayan, zamana bağlı deformasyona maruz bir malzeme için yapılan kabullerin gerçek davranıştan ne denli uzak olduğu açıklıdır. Laboratuvara denenen, sınır koşulları iyi belirlenmiş bir elemanın ölçülen sehim ile, en ileri yöntemlerle hesaplanan sehim arasındaki farkın $\pm 40\%$ olması bir başarı olarak kabul edilir. Eleman rigitliği bu denli ideal koşullar altında bile saptayamazken, çok katlı bir yapıda yatay kuvvetlerin düşey elemana dağılımında rigitlik değerlerinin kesin doğru olduğunu varsaymak büyük yanlışlıklara yol açar. Bu nedenle analizden elde edilen sayıları betonarmenin gerçek davranışını ve yapılan kabulleri unutarak doğru kabul etmek son derece yanlış olur. Bu sayılar ancak ve ancak daha iyi bir karara varmak üzere mühendise yol gösterir.

Bütün bu nedenlerle, özellikle genç meslektaşlarımıza, hesap yaparken her aşamada betonarme bilgi ve davranışını hatırlarından çıkarmamalarını öneririz. Betonarme davranışını dikkate almayarak, analizde yapılan kabullerle gerçek davranışı karşılaştırmayı unutarak, sonuçta elde edilen sayılarına inanan mühendis, bir gün büyük bir felaketle karşılaşabileğini unutmamalıdır.

4. DEPREMDE BETONARME DAVRANIŞI

Sayın Leylek yazısının ilk sayfasının sonunda, "ikinci zorluk deprem ve buna benzer elastik zorlamalar meydana getiren, ..." cümlesini kullanmaktadır.

Biz, Sayın Leylek'in depremin elastik zorlamalar meydana getirmedigini bizim kadar bildigine eminiz. Ancak genç meslektaşlarımızın bu cümleyi yanlış değerlendirebilecekleri endişesi ile bazı açıklamalar yapmayı yararlı bulduk.

Bilindiği gibi, birçok deprem yönetmeliği gibi Türk Deprem Yönetmiliğinin de temel felsefesinde, ender oluşan çok şiddetli depremlerde betonarme yapı elemanlarındaki (genellikle kırış) donatının yer yer akma sınırlına ulaşarak plastik mafsallar oluşacağı ve yapının elastik sınırlar ötesine itileceği varsayılmaktadır. Bu durumda yapının sünek bir davranış göstereceği varsayımlı ile, yapıya etkimesi olası deprem kuvvetleri yönetmelikte büyük çapta azaltılmıştır. Yapının depremde elastik davrandığını varsayıdığımız takdirde, yönetmelikte öngörülen deprem kuvvetlerini 3-5 gibi sayılarla çarpımız gereklidir. Özet olarak, elastik sınırlar ötesinde sünek davranış deprem hesabının temelini oluşturur.

5. SONUÇ

Deprem, bilinmeyenleri çok olan, yapıyı elastik sınırlar ötesine iten bir olaydır. Betonarme hiçbir ideal teoriye uymayan, davranışını diğer malzemelerden değişik, kendine özgü bir malzemedir. Bu nedenle, betonarmenin deprem etkileri altındaki davranışı son derece karmaşıktır.

Analiz yöntemleri, sistem ve davranışını idealize eden çok sayıda varsayıma dayanır. Mühendis hiçbir zaman bu yöntemlerin esiri olmamalı, onları ancak bir araç olarak kullanmalıdır. Gerçekçi betonarme hesabı ancak davranışın iyi bilinmesi ile mümkündür. Meslektaşlarımız yeni yöntem ve yeni çıkan tablo ve abakları öğrenmek için harcadığı zamanın hiç olmazsa bir bölümünü davranış öğrenmeye ayırmalıdır. Davranış bilmeyen, davranışını sayısal olmadığı için küümseyen mühendis, karşılaşabileceğini felaketlerden bile habersiz kalacaktır.

6. KAYNAKLAK

1. Ersoy, U., ve Atımtay, E., "Betonarme, Temel İlkeler ve Hesap Yöntemleri", Güven Kitabevi, 1975, sayfa 139-153.
2. "Structural Safety", CEB Bulletin No. 78, 1971.
3. Ersoy, U., "Çağdaş Yapı Güvenliği ve Taşıma Gücü İlkeleri", Türkiye Mühendislik Haberleri, Sayı 304, Mayıs-Haziran 1983.
4. Tankut, T., "Taşıma Gücüne İlişkin Sorular ve Yanıtları", Türkiye Mühendislik Haberleri, Sayı 304, Mayıs-Haziran 1983.
5. Kordina, K. (Prof. Dr. Ing.), "Meto-Letter, Safety in DIN-1045", Oct. 1983.
6. "Taşıma Gücü El Kitabı", ODTÜ-Bayındırılık Bakanlığı, 1980.

BARAJ - REZERVUAR SİSTEMLERİNİN DİNAMİK ANALİZİ

Namık K.Öztorun¹ ve Nuri Akkaş²

ÖZET

Bu çalışmada, baraj-rezervuar sistemlerinin, baraj eksenine dik yönde etki eden harmonik temel ivmesi altında etkileşimi incelenmiştir.

Barajın ıslak yüzeyine etki eden hidrodinamik basınç, baraj-rezervuar iç yüzeyinin bilinmeyen deformasyonları ve temel ivmesinin bir fonksiyonu olarak kapalı bir formda elde edilmiş, baraj hareketi de sayısal yöntemle araştırılmıştır. Hidrodinamik basınç barajın hareket denkleminde ilâve bir terim olarak belirmektedir.

Bu yaklaşımada baraj kesit alanının esnekliği ve suyun sıkıştırılabilirliği gözüne alınmıştır. Suyun viskositesi ve yüzey dalgaları ihmal edilmiştir.

Baraj yüksekliğinin, yük durumunun (yani su basıncının, sistemin her iki yüzeyinde mevcut olması, yalnızca bir yüzeyinde mevcut olması ya da su basıncının olmaması durumu), akişkanın sıkıştırılabilirliği, yapının kalınlığı ve yapının kesit alanındaki değişimlerin, suyla etkileşim halinde olan yapının spektrumu üzerindeki etkileri araştırılmıştır. Rezervuarın düzgün sınırlara sahip olduğu varsayılmış ve yapının sönübü gözönüne alınmamıştır.

Problemin bilinmeyenleri yapının deformasyonları, hidrodinamik basınç ve yapı üzerindeki kesme kuveti ve moment dağılımlarıdır. Bu bilinmeyenlerin muhtelif durumlar için yapının davranışıyla birlikte grafikleri çizilmiştir.

1. Araştırma Görevlisi Y.Müh., İnşaat Mühendisliği Bölümü, ODTÜ, Ankara
2. Doç.Dr., İnşaat Mühendisliği Bölümü ve Deprem Mühendisliği Araştırma Merkezi, ODTÜ, Ankara

A B S T R A C T

The response of a dam-reservoir interaction system for a harmonic base acceleration normal to the dam axis is investigated.

The hydrodynamic pressure acting on the vertical wet surface of the dam is first evaluated in closed form as a function of the unknown plate deflection and the ground acceleration. The motion of the dam itself is investigated employing numerical techniques. The hydrodynamic pressure enters the equation of motion of the dam as loading in excess of inertia load.

In this approach, the general flexibility of the dam cross-section and the compressibility of the fluid are taken into account. The fluid viscosity and the effect of the surface waves are neglected.

The effects of the plate height, the type of loading (i.e., existence of water pressure on both sides or on one side of the plate or the case of no water pressure), the compressibility of the fluid, the plate thickness, shape of the plate cross section on the response of the plate have been investigated. The fluid domain is assumed to have straight boundaries and the structural damping is not considered.

The unknowns of the problem are the plate deflections, the hydrodynamic pressure, and the shear force and the moment distribution along the plate. These are plotted for various cases together with the response spectra.

1. GİRİŞ

1.1. Genel

Deprem sonucu bir barajın çökmesi durumunda can kaybı olasılığı ve hasar derecesinin büyüklüğü baraj-rezervuar sistemlerinin dinamik analizi üzerinde daha bir dikkatli olmayı gerektirmektedir. Bir barajın çöküşü, barajın kendisindeki hasara ilaveten, çok büyük miktarlardaki suyun aniden serbest bırakılmasıyla, suyun akışı yönünde yıkıcı bir etkiye ve dolayısı ile can kaybına neden olabilir.

Bir akışkan ile temas halinde olan depreme maruz kalmış bir yapıda sıvı-yapı karşı-etkileşimi sonucu yapı üzerinde ilave hidrodinamik yükler oluşur. Bu karşı-etkileşim yapının dinamik karakteristiklerini de değiştirebilmektedir. Akışkan-yapı karşı-etkileşim sistemleri üzerindeki çalışmaların çoğu genellikle iki ayrı problemin süperpozisyonu şeklinde ele alınmaktadır;

- a) Yapının rıjıt olduğu varsayımlı ile, sıvı ile temas halinde olan yapı üzerindeki hidrodinamik basınç elde edilir.
- b) Yapının esnek ve boşlukta olduğu varsayımlıyla (su ile etkileşim halinde olmadığı varsayımlı) birinci problemde elde edilmiş hidrodinamik yüze maruz kalan yapının cevabı tepkisi incelenir.

İkinci problemde, tabiatıyla, yapının kendi atalet yükleri de gözönünde bulundurulmaktadır. Gerçekte karşı-etkileşim problemi çok daha karmaşıktır. Yapı üzerindeki hidrodinamik basınç sadece yapının rıjıt yer değiştirmesi sonucu yaratılmamaktadır. Esnek yapının titreşimleri de ilave hidrodinamik basınç yaratmakta ve bu basınç yapının titreşimlerini etkileyip değiştirmekte ve dolayısı ile hidrodinamik basıncın kendisi de değişmektedir. Bir sıvı ile karşı-etkileşim halinde bulunan bir yapının dinamik analizinde yapıyı çevresindeki sıvıdan ayrı düşünmek gerçeği yansımaz. Gerçekte, yapı ve sıvı tüm bir sistem olarak karşı-etkileşim analizinde gözüne alınmalıdır.

1.2. Daha Önce Yapılan Çalışmalar

Konunun önemini vurgulamak açısından, Kit'a Çini'ndeki Hsifengkiang Barajı {1} ve Hindistan'daki Koyna Barajı {2} yakın geçmişte deprem sonucu hasar görmüş barajlara örnek gösterilebilir.

Yaygın olarak betonarme barajların analizi ve tasarımları oldukça basit yöntemlere dayandırılmaktadır {3}. Bu tür analizlerde barajın her bir düşey kesitinin yalnızca düzlem gerilmelere maruz kalacağı ana varsayımlı yapılmaktadır. Genellikle analiz, yalnızca düzlem gerilme dilimlerinin devrilme ve kaymaya karşı emniyeti olarak ele alınmış ve stabilité analizinde sismik yükler, su basıncı ve yerçekimi yükleriyle birleştirilerek, statik yatay yükler olarak uygulanmıştır.

Bu tür deprem davranışlı analizi yöntemi, gerçek deprem davranışında oldukça büyük basitleştirmeler getirmektedir. Gerçekte baraj-temel-rezervuar sistemlerinin temel hareketini içeren üç boyutlu katı-sıvı mekanığının dinamigi oldukça karışık bir problemdir. Karmaşık fiziksel davranışların matematiksel uygulamalarını mümkün kılmak amacıyla, sonlu elemanlar yöntemi gibi sayısal yöntemler geliştirilinceye ve hesaplamaların bilgisayar tarafından yapılması yaygınlaşıcaya kadar daha gerçekçi bir analiz yapmak mümkün olmuştur {4,5} .

Son 25 yıl içinde sonlu elemanlar yöntemi karmaşık inşaat mühendisliği yapılarının analizinde standart bir yöntem olmaya başlamıştır {6,7,8}. Rijit bir baraj üzerine etki eden hidrodinamik basıncı birçok bilim adamı tarafından - dan araştırılmıştır {9,10,11}. Aynı zamanda barajın esnekliğini de gözönüne alarak hidrodinamik basıncın bulunması ile ilgili çalışmalar da yapılmıştır.

Betonarme barajlara etki eden hidrodinamik basıncın analizi ilk olarak Westergaard {9} tarafından yapılmıştır. Westergaard rezervuar derinliğinin sabit olduğunu, suyun barajın bir yönünde sonsuza dek uzandığını ve yüzey dalgalarının etkisinin ihmali edilebileceğini varsayıarak harmonik yatay yer hareketinin oluşturacağı hidrodinamik basıncı için analitik bir çözüm elde etmiştir. Suyun doğrusal olarak sıkıştırılabilir, barajın rijit, sonsuz uzunlukta ve su ile temas yüzünün dik olduğu kabul edilmiştir.

Hernekadar Westergaard {9}, kendi çalışmasında suyun sıkıştırılabilirliğini gözönüne aldıysa da, Kotsubo {10} bu çözümün yalnızca uygulanan frekansın rezervuarın ilk doğal frekansından daha küçük olduğu durumlarda geçerli olduğunu göstermiştir. Kotsubo hidrodinamik basıncı için titreşimlerin hem kararlı hem de geçici terimlerini içeren ve sönüüm radyasyonunu da gözönüne alan

çok daha genel bir çözüm elde etmiştir. Chopra {11} , sıkıştırılabilirlik ihmali edildiğinde çözümün uygulanan frekanstan bağımsız olduğunu göstermiş ve aynı zamanda düşey ivme altında oluşan hidrodinamik basıncın için de bir formül geliştirmiştir. Chopra {11} suyun sıkıştırılabilir ve sıkıştırılamaz olması durumlarında hidrodinamik basıncın oldukça farklı olduğunu göstermiştir. Suyun sıkıştırılamaz kabulu durumunda rezervuarın doğal frekanslarında rezonans oluşmaması ilginç bir sonuctur. Chopra {12} baraj için parabolik bir birinci mod şekli kullanmıştır. Daha sonra bu yaklaşım Chakrabarti ve Chopra {13,14} tarafından ilave mod şekillerini içerecek şekilde genişletilmiştir. Chakrabarti ve Chopra {14,15} altyapı (substructure) yaklaşımıyla barajın bağımlı davranışının analizi için genel bir yöntem geliştirmiştirlerdir. Barajın ve rezervuarın basit geometrik şekillerden oluşması durumunda, hidrodinamik basıncın baraj üzerindeki etkileri için analitik çözüm elde edilmiştir. Chopra {16,17} baraj deformasyonlarını barajın ilk doğal periyodu ile bağdaştırarak ağırlıklı barajlarda oluşan hidrodinamik basıncı incelemiştir.. Nath {18} çalışmasında sönümu ihmali ederek ağırlıklı barajı değişken bir kesit alana sahip bir ucu serbest, diğerini ankastre bir plak olarak kabul etmiştir. Zienkiewicz {19} rezervuar-baraj etkileşim problemini hem baraj hem de rezervuar için sonlu elemanlar tekniğini kullanarak irdelemiştir.

Zienkiewicz ve diğerleri {20} suyu sıkıştırılabilir kabul ederek su içindeki bir yapının bağımlı davranışının analizi için sonlu elemanlar yöntemi kullanmışlardır. Bu durumda suyun etkisinin, yapıyla birlikte hareket eden ilave kütelere eşdeğer olduğu gösterilebilir. Finn ve Varoglu { 21} bir plak barajın bağılı titreşimleri esnasında arkasındaki rezervuarın akışkanı tarafından yaratılan hidrodinamik basıncı analitik yöntemlerle belirlemiştir ve plak rıjitleğine göre toplam hidrodinamik yük hesaplamışlardır. Plak-rezervuar sistemlerinin etkileşimi problemi için kapalı formdaki çözüm daha sonra değişken kesite sahip betonarme barajlara da uygulanmıştır {22}.

Sınırlı uzunluğa sahip barajlar için Brahtz ve Heilbron {23} bazı durumlarda uzunluğun ihmali edilebilir olduğunu göstermiştir. Sonsuz uzunlukta bir barajla kıyaslandığında uzunluğun derinlige oranının ikiden büyük ve kenarların sabit olması durumunda, ya da bu oranın üçten büyük ve kenarların zeminle birlikte hareket ettiği varsayımda, basıncı artışı % 5'ten daha küçüktür. Plak esnekliğinden dolayı oluşacak ilave hidrodinamik basıncı Brahtz ve Heilbron {23} tarafından gözönüne alınmıştır. Brahtz ve Heilbron barajın

deformasyon şeklini düz bir çizgi gibi kabul ederek, bu deformasyondan dolayı olacak ilave hidrodinamik basıncı hesaplamıştır. Bu irdelemeler Hoskins ve Jacobsen'in deneysel sonuçlarıyla desteklenmiştir {24}. Werner ve Sundquist {25}'in çalışmalarından elde edilen sonuç, hidrodinamik basıncın rezervuar uzunluğuna karşı duyarlı olmadığı doğrultusundadır. Rezervuar uzunluğunun etkisi Bustamante ve diğerleri {26} tarafından da araştırılmıştır. Özellikle rezervuarların çok uzun olmaları nedeniyle sonsuz uzunluğa sahip rezervuar kabulü gerçekçi olmaktadır. Bustamante ve diğerleri {26} sıkıştırılabilirliğin ihmali edilmesi durumunda çözümün uygulanan frekanstan bağımsız olduğunu göstermiş ve daha geniş bir frekans aralığında ve hem lineer hem de parabolik deformasyon şekilleri için benzer sonuçlar elde etmişlerdir. Bustamante ve diğerleri {26} rezervuar derinliğindeki değişimin ve yüzey dalgalarının ihmaliyle oluşabilecek hata oranı hakkında fikir vermektedir. Bu çalışmadan çok küçük bir hata ile yüzey dalgalarının etkisinin ihmali edilebileceği anlaşılmaktadır. Uygulanan titreşim periyodunun rezervuarın ilk doğal periyodundan daha büyük olması durumunda yüzey dalgalarının etkisi tamamen ihmali edilebilmektedir. Küçük periyodlarda ise kararlı harmonik harekette baraj uzunluğunun önemli bir rolü vardır. Bu durumda yüksekliğe göre basınç dağılımı baraj uzunluğuna bağlı olarak önemli bir şekilde etkilenmektedir. Rezervuarın ilk doğal periyodundan ve geçmiş depremlerin Fourier Spektrumlarından {27} görülebileceği gibi yüksek barajlarda uzunluğun etkisi önemli olabilir.

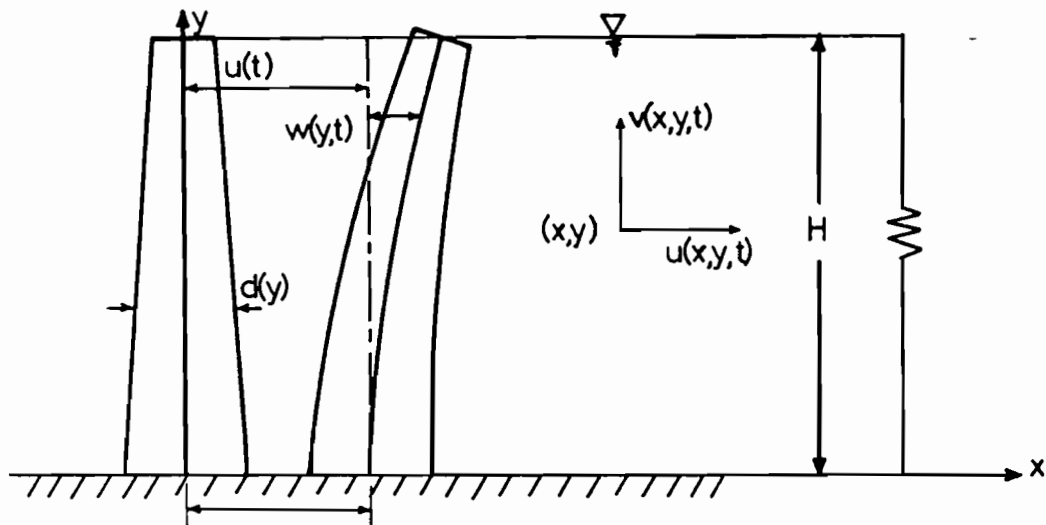
Zangar {28} bir barajda su seviyesinin çeşitli durumları için hidrodinamik basıncı belirlemiştir. Su seviyesi toplam yüksekliğin yarısı ya da daha fazlası olan barajlarda hidrodinamik basıncın pratikte tamamen dolu barajlardaki basınçla hemen aynı olduğu görülmüştür.

Chwang {29} su temas yüzeyinin dik olduğu kabulünün geçerli olduğunu göstermiştir. Vaish ve Chopra {30} zeminin elastik yarı sonsuz ortam olması durumunu incelemiştir. Bu yaklaşım zemin kayasının jeolojik yapısının malzeme süreklilikini bozacak bir durum göstermediği hallerde kullanılabilir. Chen'Chanen'-Chen {31,32} sıkıştırılabilir bir akışkanda yüzey dalgalarının etkisini de göz önünde tutarak hidrodinamik basıncı hesaplamıştır.

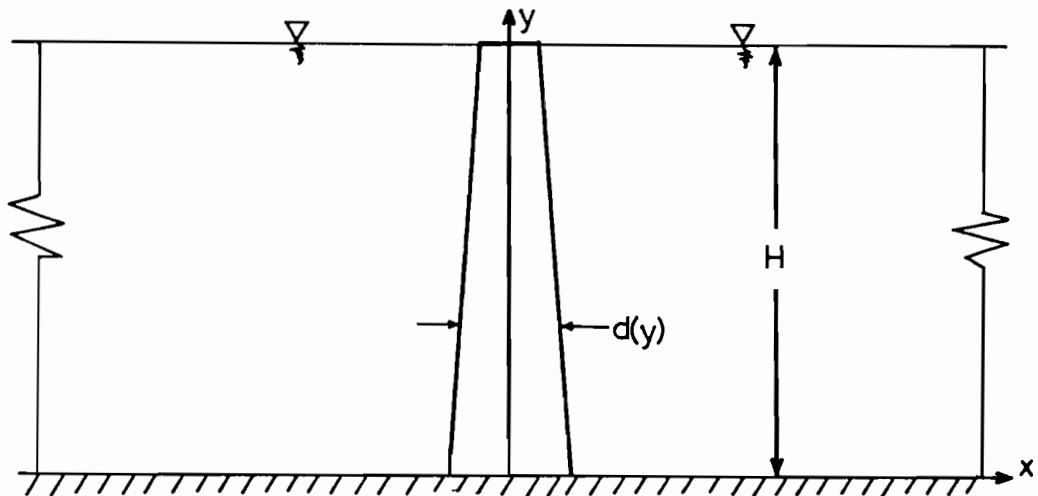
1.3. Çalışmanın Özeti

Çalışmamızda, düzlemine dik yönde harmonik yer ivmesine maruz kalan ve eksenin boyunca sonsuz uzunluğa sahip bir plak ya da baraj-rezervuar sisteminin davranışını incelenmiştir. Problem bir düzlem gerilme problemi özelliğine sahiptir. Barajın ıslak yüzeyine etki eden hidrodinamik basınç önce baraj-rezervuar etkileşim yüzeyinin bilinmeyen deformasyonları ve yer ivmesinin bir fonksiyonu olarak kapalı bir formda elde edilmiş, daha sonra sayısal yöntemlerin uygulanmasıyla barajın davranışının araştırılmış ve ilgili mod şekilleri bulunmuştur. Akışkanın barajın yalnızca bir yüzeyinde ya da her iki yüzeyinde etkili olması ya da akışkanın mevcut olmaması gibi muhtelif yükleme durumları için sayısal sonuçlar elde edilmiştir. Şekil 1.1'de gösterildiği gibi baraj kesitinin değişken olduğu kabul edilmiştir.

Gerçek sistemlerde sıvı karışık geometrilerden oluşan düzensiz sınırlara sahiptir. Bu çalışmada, akışkan etki alanının dikdörtgen koordinatlarda düzenli sınırlara sahip olduğu kabul edilmiştir. Pratikte birçok durum için bu yaklaşım geçerlidir. Bu varsayımdan probleme yarı analitik bir çözüm elde etmemizi mümkün kılmış ve daha ileride görüleceği gibi gerekli bilgisayar zamanını önemli ölçüde azaltmıştır.



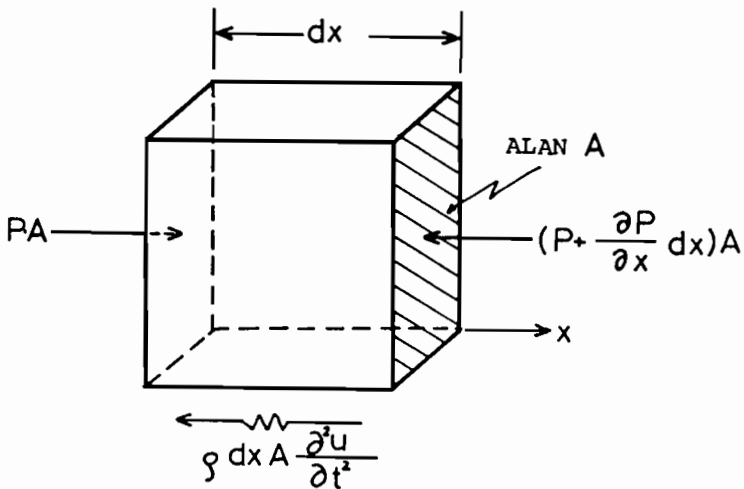
Şekil 1.1,a Yalnızca Bir Yüzeyi Akışkanla Etkileşen Plak



Şekil 1.1,b Her İki Yüzeyi Akışkanla Etkileşen Plak

2. TEORİ

Bu bölümde akışkanla etkileşim halinde olan barajın davranışını belirleyen temel eşitlikler sunulmaktadır. Baraj harmonik temel ivmesinin etkisi alındadır.



Şekil 2.1 Sıvı Elemanın Denge Durumu

2.1. Varsayımlar

Akışkanın hareketini belirleyen farklı etkenlerin araştırılmasında, aşağıdaki genel varsayımlar yapılmıştır.

- Akışkan homojen ve sürtünmesiz olup doğrusal sıkıştırılabilirlik özelliğine sahiptir.
- Akış irrotasyoneldir.
- Akış sırasında kaynak, boşluk ya da çalkalanma yoktur.
- Titreşim esnasında baraj ve rezervuarın deformasyonları küçüktür.

2.2. Sıvı Ortamda Hareket Denklemi

Yukarıda belirtilen varsayımların ışığı altında, Şekil 2.1'de verilen sıvı elemanın x yönündeki hareketi gözönüne alındığında;

$$P \cdot A - P \cdot A - \frac{\partial P}{\partial x} dx \cdot A - \rho dx \frac{\partial^2 U}{\partial t^2} \cdot A = 0$$

$$\frac{\partial^2 U}{\partial t^2} = - \frac{1}{\rho} \frac{\partial P}{\partial x} \quad (2.1,a)$$

eşitliği elde edilir.

Aynı şekilde y yönündeki dinamik dengeden

$$\frac{\partial^2 V}{\partial t^2} = - \frac{1}{\rho} \frac{\partial P}{\partial y} \quad (2.1,b)$$

elde edilir.

Bu eşitliklerdeki U ve V terimleri sıvı elemanındaki yer değiştirmenin x ve y bileşenlerine tekabül etmektedir. ρ akışkanın birim hacim kütlesi ve P ise hidrodinamik basınçtır. Zaman t ile gösterilmiştir.

Sıkıştırılabilen bir sıvinin süreklilik denklemi şöyledir {21} :

$$P = -k \left(\frac{\partial U}{\partial x} + \frac{\partial V}{\partial y} \right) \quad (2.2)$$

Burada k, akışkanın elastik hacim modülüdür. Hız potansiyeli $\phi(x,y,t)$ ile yer değiştirmeler arasındaki bağıntılar

$$-\frac{\partial \phi}{\partial x} = \frac{\partial U}{\partial t}, \quad -\frac{\partial \phi}{\partial y} = \frac{\partial V}{\partial t} \quad (2.3)$$

şeklinde verilir. Ayrıca hidrodinamik basınç ile hız potansiyeli arasındaki bağıntının

$$P = \rho \frac{\partial \phi}{\partial t} \quad (2.4)$$

olduğu bilinmektedir. Denklem (2.1 - 2.4) ten aşağıda verilen dalga denklemi elde edilir.

$$\frac{\partial^2 \phi}{\partial x^2} + \frac{\partial^2 \phi}{\partial y^2} = \frac{1}{C^2} \frac{\partial^2 \phi}{\partial t^2} \quad (2.5)$$

Denklem (2.5)teki C sabiti sudaki ses hızına eşittir ve

$$C^2 = \frac{k}{\rho} \quad (2.6)$$

şeklinde tanımlanır. Denklem (2.5) in çözümünde aşağıdaki fiziksel kabul-ler sonucu elde edilecek sınır şartları kullanılacaktır.

- i) Rezervuarın serbest yüzeyinde yüzey dalgalarının etkisi ihmal edil-diginde, hidrodinamik basınç sıfırdır.
- ii) Tabanda, sıvının rezervuar tabanına dik yöndeği hız bileşeni sıfırdır ki bu zemin ile su arasında ayrılma olmadığını ifade eder.
- iii) Rezervuar ve yapının temas yüzeyinde, bu yüzeye dik yöndeği sıvı ve yapının hız bileşenleri eşdeğerdir ki bu da yüzeyler arasında ayrılma olmadığını ifade eder.
- iv) Hız potansiyeli ıslak yüzeyden sonsuza gidildiğinde sıfıra gider.

Dolayısı ile sınır şartlarımız aşağıdaki gibi olur.

$$\frac{\partial \phi}{\partial t}(x, H, t) = 0 \quad (2.7)$$

$$\frac{\partial \phi}{\partial y}(x, 0, t) = 0 \quad (2.8)$$

$$-\frac{\partial \phi}{\partial x}(0, y, t) = \frac{\partial}{\partial t}\{U_g(t) + w(y, t)\} \quad (2.9)$$

$$\phi(\infty, y, t) = 0 \quad (2.10)$$

Burada H , barajın yüksekliği ve $U_g(t)$ x eksenine paralel yönde uygulanan yer hareketidir. Plağın bağıl deformasyonları ise $w(y, t)$ ile gösterilmiştir.

Baraj ve rezervuarın $t=0$ anında hareketsiz olduğu varsayılmıştır. Böylece akışkan etkili alanında başlangıç şartları

$$\phi(x, y, 0) = 0, \quad \frac{\partial \phi}{\partial t}(x, y, 0) = 0 \quad (2.11)$$

şeklindedir.

2.3. Plagın Hareket Denklemi

Problemimiz iki boyutlu düzlemsel problem olduğundan, barajın hareketini belirleyen denklem aşağıdaki gibi olacaktır [21] :

$$\frac{\partial^2}{\partial y^2} \{K \frac{\partial^2}{\partial y^2} W(y, t)\} + \mu \frac{\partial^2}{\partial t^2} \{W(y, t) + U_g(t)\} = -P(0, y, t) \quad (2.12)$$

Burada barajın rıjitliği

$$K = \frac{Ed^3}{12(1-\nu^2)} \quad (2.13)$$

eşitliği ile verilmektedir.

Denklem (2.12) deki P , plagın ıslak yüzeyindeki hidrodinamik basınçtır ve Denklem (2.4)te tanımlanmıştır. Denklem (2.12) barajın yalnızca bir yüzeyinde suyun mevcut olması durumunda geçerlidir. Her iki yüzeyde de suyun mevcut olması durumunda Denklem (2.12) nin sağ tarafına bir basınç terimi daha ilave edilir. Denklem (2.13) te plagın ekseni yönünde bir birim genişliği gözönüne alınmıştır.

E , ν , μ , d sembollerı sırayla elastisite modülü, Poisson oranı, plagın birim kütlesi ve plagın kalınlığıdır. Baraj kalınlığının y nin bir fonksiyonu olduğu kabul edilecektir.

Baraj tabanının ankastre ve ucunun serbest olduğu varsayımyyla, plak için sınır şartları aşağıdaki gibidir.

$$W(0, t) = \frac{\partial W}{\partial y}(0, t) = 0 \quad (2.14)$$

$$\frac{\partial^2 W}{\partial y^2}(H, t) = \frac{\partial^3 W}{\partial y^3}(H, t) = 0 \quad (2.15)$$

Baraj $t = 0$ anında hareketsiz olduğu için başlangıç şartları ise

$$W(y, 0) = 0, \quad \frac{\partial W}{\partial t}(y, 0) = 0 \quad (2.16)$$

eşitlikleriyle belirlenir.

Şu anda problemin tanımı tamamlanmıştır. Özlemek gerekirse, dalga denklemiyle belirlenen akışkanın davranışını (2.7-2.10) denklemlerinde verilen sınır şartlarına ve (2.11) denkleminde verilen başlangıç şartlarına bağlılıdır. Sivının davranışını Denklem (2.9)da verilen sınır şartı ile plagın davranışına bağlanmaktadır. Denklem (2.12) ile belirlenen plak hareketi (2.14, 2.15) eşitlikleriyle verilen sınır şartlarına ve (2.16) eşitliğiyle verilen başlangıç şartlarına bağlıdır. Plagın davranışını yukarıda belirtilen sınır şartlarına ilaveten Denklem (2.12) de verilen basınç terimiyle, akışkan tarafından da etkilenmektedir. Dolayısıyla plak ve sıvı denklemlerinin beraberce çözülmeleri gerektiği anlaşılmaktadır.

2.4. Analitik Çözüm Yöntemi

Denklem (2.7 - 2.10) da verilen sınır şartları ve Denklem (2.11) de verilen başlangıç şartlarıyla belirlenen dalga denklemi (2.5), Laplace dönüşüm yönteminin uygulanmasıyla çözülebilir. $\bar{\Phi}(x, y, t)$, $\bar{U}_g(t)$ ve $\bar{W}(y, t)$ nin Laplace dönüşümlerini $\bar{\Phi}(x, y, s)$, $\bar{U}_g(s)$ ve $\bar{W}(y, s)$ ile gösterelim. Bu durumda (2.5) ve (2.7 - 2.10) eşitlikleri aşağıdaki şekli alırlar:

$$\frac{\partial^2 \bar{\Phi}}{\partial x^2} + \frac{\partial^2 \bar{\Phi}}{\partial y^2} = \frac{s^2}{c^2} \bar{\Phi} \quad (2.17)$$

$$\bar{\Phi}(x, H, s) = 0 \quad (2.18)$$

$$\frac{\partial \bar{\Phi}}{\partial y}(x, 0, s) = 0 \quad (2.19)$$

$$-\frac{\partial \bar{\Phi}}{\partial x}(0, y, s) = s \{ \bar{U}_g(s) + \bar{W}(y, s) \} \quad (2.20)$$

$$\bar{\Phi}(\infty, y, s) = 0 \quad (2.21)$$

Değişkenleri ayırarak

$$\bar{\Phi}(x, y, s) = X(x, s) Y(y, s) \quad (2.22)$$

(2.17) eşitliği aşağıdaki şekilde getirilir.

$$\frac{1}{X} \frac{\partial^2 X}{\partial x^2} + \frac{1}{Y} \frac{\partial^2 Y}{\partial y^2} = \frac{s^2}{C^2} \quad (2.23)$$

Denklem (2.18), (2.19) ve (2.21) de verilen sınır şartları ise

$$Y(H, s) = 0 \quad (2.24)$$

$$\frac{\partial Y}{\partial y}(0, s) = 0 \quad (2.25)$$

$$X(\infty, s) = 0 \quad (2.26)$$

şeklini alırlar..

(2.23) eşitliği aşağıdaki şekilde yazılabilir.

$$\frac{1}{Y} \frac{\partial^2 Y}{\partial y^2} = \frac{s^2}{C^2} - \frac{1}{X} \frac{\partial^2 X}{\partial x^2} = -\sigma_k^2 \quad (2.27)$$

Buradan

$$\frac{\partial^2 Y}{\partial y^2} + \sigma_k^2 Y = 0 \quad (2.28)$$

elde edilir.

(2.28) eşitliğinin genel çözümü şöyledir.

$$Y = C_1 \sin \sigma_k y + C_2 \cos \sigma_k y$$

C_1 ve C_2 sınır şartlarıyla belirlenecek olan sabitlerdir. Sınır şartları kullanıldığında

$$C_2 \cos \sigma_k H = 0 \quad (2.29)$$

elde edilir.

Bu özdeğer probleminin özdeğerleri şunlardır.

$$\sigma_k = \frac{2k-1}{2H} \pi, \quad k = 1, 2, \dots \quad (2.30)$$

Özvektörler ise

$$Y_k(y, s) = \cos \sigma_k y, \quad k = 1, 2, \dots \quad (2.31)$$

olarak bulunur.

$X(x, s)$ 'in bulunmasında Denklem (2.22)'den yararlanılır.

Bu denklemde

$$\sigma_k^2 + \frac{s^2}{c^2} = \gamma^2$$

ifadesi kullanıldığından

$$\frac{\partial^2 X}{\partial x^2} - \gamma^2 X = 0$$

elde edilir ve genel çözüm aşağıdaki gibidir.

$$X = A_0 e^{\gamma x} + A_k e^{-\gamma x}$$

x değeri sonsuza yaklaştıkça X 'in sıfıra yaklaşması gerektiginden $A_0 = 0$ olmalıdır. Böylece çözüm aşağıdaki şekli alır.

$$X_k(x, s) = A_k e^{-\gamma x} = A_k e^{-x \sqrt{\sigma_k^2 + (\frac{s}{c})^2}} \quad k = 1, 2, \dots \quad (2.32)$$

Burada A_k s 'nin bir fonksiyonudur ve henüz belirlenmemiştir. Sonuç olarak $\Phi(x, y, s)$ fonksiyonu

$$\Phi(x, y, s) = \sum_{k=1}^{\infty} A_k e^{-x \sqrt{\sigma_k^2 + (\frac{s}{c})^2}} \cos \sigma_k y \quad (2.33)$$

şeklini alır.

$A_k(s)$ (2.20)de verilen sınır şartlarından elde edilecektir. (2.33) eşitliği ile verilen $\Phi(x, y, s)$ 'nin (2.20) eşitliğinde kullanılmasıyla

$$\sum_{k=1}^{\infty} A_k \sqrt{\sigma_k^2 + \left(\frac{s}{C}\right)^2} \cos \sigma_k y = s \{ \bar{U}_g(s) + \bar{W}(y, s) \} \quad (2.34)$$

eşitliği elde edilir.

Her iki tarafı $\cos \sigma_k y$ ile çarparak ve sıfırdan H ye kadar entegre ederek Denklem (2.34) aşağıdaki şekilde dönüştürülebilir.

$$A_k \sqrt{\sigma_k^2 + \left(\frac{s}{C}\right)^2} \frac{H}{2} = s \int_0^H \{ \bar{U}_g(s) + \bar{W}(y, s) \} \cos \sigma_k y dy \quad (2.35)$$

Burada Cos fonksiyonunun ortogonalilik özelliğinden yararlanılmıştır.

Aşağıdaki ifade kullanıldığında

$$\tilde{B}_k(s) = \int_0^H \{ \bar{U}_g(s) + \bar{W}(y, s) \} \cos \sigma_k y dy, \quad k = 1, 2, \dots \quad (2.36)$$

dönüştürülmüş hız potansiyeli

$$\tilde{\Phi}(x, y, s) = \frac{2s}{H} \sum_{k=1}^{\infty} \frac{\tilde{B}_k(s)}{\sqrt{\sigma_k^2 + \left(\frac{s}{C}\right)^2}} e^{-\frac{x\sqrt{\sigma_k^2 + \left(\frac{s}{C}\right)^2}}{C}} \cos \sigma_k y \quad (2.37)$$

şeklini alır.

(2.37) ve (2.4) denklemlerinde Laplace dönüşümünün uygulanmasıyla dönüştürülmüş hidrodinamik basınç

$$\tilde{P}(x, y, s) = \rho s \tilde{\Phi}(x, y, s) = \frac{2\rho C}{H} s^2 \sum_{k=1}^{\infty} \frac{\tilde{B}_k(s)}{\sqrt{s^2 + (\sigma_k C)^2}} e^{-\frac{x\sqrt{s^2 + (\sigma_k C)^2}}{C}} \cos \sigma_k y \quad (2.38)$$

olarak elde edilir.

(2.36) eşitliğinin ters dönüşümü ise

$$B_k(t) = \int_0^H \{ U_g(t) + W(y, t) \} \cos \sigma_k y dy$$

olur. Aşağıdaki ters dönüşümlerde bilinmektedir.

$$L^{-1}\{s^2 \tilde{B}_k(s)\} = \frac{d^2}{dt^2} B_k(t)$$

$$L^{-1} \frac{e^{\frac{x}{c}\sqrt{s^2 + (\sigma_k C)^2}}}{\sqrt{s^2 + (\sigma_k C)^2}} = \begin{cases} J_0(\sigma_k C \sqrt{t^2 - (\frac{x}{c})^2}) & t > \frac{x}{c} \\ 0 & t < \frac{x}{c} \end{cases}$$

Burada J_0 sıfırıncı dereceden birinci çeşit Bessel fonksiyonudur. Yukarıdaki dönüşümlerin kullanılmasıyla Denklem (2.38)'in ters dönüşümü aşağıdaki şekli alır.

$$P(x, y, t) = \begin{cases} \frac{2\rho C}{H} \sum_{k=1}^{\infty} \cos \sigma_k y \int_{x/c}^t \frac{d^2 B_k}{dt^2} (t-\tau) \\ \quad J_0(\sigma_k C \sqrt{\tau^2 - (\frac{x}{c})^2}) d\tau, & t > \frac{x}{c} \\ 0 & t < \frac{x}{c} \end{cases} \quad (2.39)$$

Kısaltma amacıyla aşağıdaki ifadeler kullanılsın

$$\ddot{\psi}(t) = \int_0^H \frac{\partial^2 w}{\partial t^2} (y, t) \cos \sigma_k y dy, \quad k = 1, 2, \dots \quad (2.40)$$

$$U_y(t) = \frac{d^2}{dt^2} U_g(t) \quad (2.41)$$

Dolayısı ile

$$B_k(t) = U_g(t) \int_0^H \cos \sigma_k y dy + \int_0^H w(y, t) \cos \sigma_k y dy$$

$$\frac{\partial^2 B_k}{\partial t^2} = U_g(t) \int_0^H \cos \sigma_k y dy + \ddot{\psi}_k(t)$$

olur ve Denklem (2.39) aşağıdaki şekele getirilebilir.

$$P(x, y, t) = \begin{cases} 2\rho C \left\{ - \sum_{k=1}^{\infty} \frac{(-1)^k \cos \sigma_k y}{\sigma_k} \int_{x/c}^t U_g(t-\tau) \right. \\ \quad \left. \left. J_0(\sigma_k \sqrt{(\tau c)^2 - x^2}) d\tau + \sum_{k=1}^{\infty} \cos \sigma_k y \int_{x/c}^t \ddot{\psi}_k(t-\tau) \right\} \right. \\ \quad \left. J_0(\sigma_k \sqrt{(\tau c)^2 - x^2}) d\tau \right\} & t > \frac{x}{c} \\ 0 & t < \frac{x}{c} \end{cases} \quad (2.42)$$

Denklem (2.42) hidrodinamik basıncın herhangi bir temel ivmesi U_g için son şeklidir. Şimdi çözümü harmonik temel ivmesi için özelleştirebiliriz. Plak temelinin birim genlikli bir harmonik ivmeye maruz kalması durumunda harmonik yatay ivme

$$U_g(t) = e^{i\Omega t} \quad (2.43)$$

olarak ifade edilir ve plaqın yatay ivme ve deplasmanları kararlı durum için aşağıdaki şekli alırlar.

$$\ddot{W}(y, t) = M(y)e^{i\Omega t} \quad W(y, t) = -\frac{1}{\Omega^2}M(y)e^{i\Omega t} \quad (2.44)$$

(2.43) eşitliğiyle verilen zemin ivmesi için plak üzerindeki ($x = 0$) basınç dağılımları (2.42) eşitliğinden şöyle elde edilebilir.

$$\begin{aligned} P(0, y, t) &= \frac{2\rho C}{H} e^{i\Omega t} \left\{ -\sum_{k=1}^{\infty} \frac{(-1)^k \cos \sigma_k y}{\sigma_k} \int_0^t e^{-i\Omega \tau} J_0(\sigma_k C \tau) d\tau + \right. \\ &\quad \left. + \sum_{k=1}^{\infty} \cos \sigma_k y \int_C^t e^{-i\Omega \tau} J_0(\sigma_k C \tau) d\tau \int_0^t M(y) \cos \sigma_k y dy \right\} \end{aligned} \quad (2.45)$$

Burada harmonik plak ivmesinin genliğini gösteren $M(y)$, belirlenecek olan bilinmeyen değişkendir. Ayrıca

$$\int_0^t e^{-i\Omega \tau} J_0(\sigma_k C \tau) d\tau = \frac{1}{\sqrt{(\sigma_k C)^2 - \Omega^2}} + \int_t^{\infty} e^{-i\Omega \tau} J_0(\sigma_k C \tau) d\tau \quad (2.46)$$

olduğu gösterilebilir {22}.

Böylece Denklem (2.46)'nın sol tarafındaki integrali kararlı ve geçici parçalarına ayırmak mümkün olmuştur. Denklem (2.46) göz önüne alındığında, (2.45) eşitliğinin kararlı kısmı

$$P(0, y, t) = \frac{2\rho C}{H} \left\{ -\sum_{k=1}^{\infty} \frac{(-1)^k Y_k \cos \sigma_k y}{\sigma_k \sqrt{|\Omega^2 - (\sigma_k C)^2|}} + \right.$$

$$+\sum_{k=1}^{\infty} \frac{\gamma_k \cos \sigma_k y}{\sqrt{|\Omega^2 - (\sigma_k C)^2|}} \int_0^H M(y) \cos \sigma_k y \, dy \} \exp(i\Omega t) \quad (2.47)$$

olarak ifade edilebilir. Denklem (2.47)'de

$$\gamma_k = \begin{cases} 1 & \sigma_k C > \Omega \\ -i & \sigma_k C < \Omega \end{cases} \quad k = 1, 2, \dots \quad (2.48)$$

olarak tarif edilmiştir.

Harmonik temel ivmesi için yapının üzerindeki kararlı basınc dağılımını (2.47) ile verilmiştir. Bu ifadede, basınc dağılımının, plaqın bağıl ivmesi $\tilde{w}(y, t)$ 'nin genliği $M(y)$ 'ye bağlı olduğu açıkça görülmektedir.

Denklem (2.47)'nin, barajın hareket denklemi (2.12)'de kullanılmasıyla

$$\begin{aligned} \frac{\partial^2}{\partial y^2} \{ K \frac{\partial^2}{\partial y^2} W(y, t) \} + \mu \frac{\partial^2}{\partial t^2} W(y, t) + \mu \frac{\partial^2}{\partial t^2} u_g(t) &= \\ = \frac{2\rho C}{H} e^{i\Omega t} \left\{ \sum_{k=1}^{\infty} \frac{(-1)^k \gamma_k \cos \sigma_k y}{\sigma_k \sqrt{|\Omega^2 - (\sigma_k C)^2|}} - \sum_{k=1}^{\infty} \frac{\gamma_k \cos \sigma_k y}{\sqrt{|\Omega^2 - (\sigma_k C)^2|}} \int_0^H M(y) \cos \sigma_k y \, dy \right\} \end{aligned} \quad (2.49)$$

elde edilir.

Denklem (2.44)'ü (2.49) da kullanarak ve $e^{i\Omega t}$ terimini her iki taraftan kaldırarak

$$\begin{aligned} \frac{\partial^2}{\partial y^2} \{ K(y) \frac{-1}{\Omega^2} \frac{\partial^2}{\partial y^2} M(y) \} + \mu M(y) &= -\mu + \frac{2\rho C}{H} \\ \left\{ \sum_{k=1}^{\infty} \frac{(-1)^k \gamma_k \cos \sigma_k y}{\sigma_k \sqrt{|\Omega^2 - (\sigma_k C)^2|}} - \sum_{k=1}^{\infty} \frac{\gamma_k \cos \sigma_k y}{\sqrt{|\Omega^2 - (\sigma_k C)^2|}} \int_0^H M(y) \cos \sigma_k y \, dy \right\} \end{aligned} \quad (2.50)$$

Denklem (2.50) akışkanla etkileşen plaqın kararlı davranışını belirleyen denklemin son durumudur. $M(y)$ 'nin sınır şartları (2.14, 2.15) denklemleri ile verilmektedir. Denklem (2.50) en azından sabit kesitli plaklar için analitik olarak çözülebilir. Ancak bu çalışmada kesitin y 'nin bir fonksiyonu olduğu varsayımlı nedeniyle çözümde sayısal yöntemler kullanılması zorunluluğu vardır. Kullanılan sayısal yöntemler bir sonraki kısımda açıklanmaktadır.

3. SAYISAL ÇÖZÜM

Denklem (2.50)nin uygun sınır şartlarıyla çözümünde gözönüne alınması gereken iki farklı durum $\gamma_k = 1$ ve $\gamma_k = -i$ olduğu durumlardır. $\gamma_k = 1$ durumunda denklem (2.50) tümüyle reeldir ve yalnızca bir eşitlik çözülecektir. Diğer taraftan $\gamma_k = -i$ olması durumunda denklem (2.50) kompleks olup reel ve imajiner kısmılara ayrılarak çözülmesi gereklidir. Bu iki durum aşağıda incelenmektedir.

3.1. $\gamma_k = 1$ Durumu İçin Çözüm

Şayet $\sigma_k > \Omega$ ise Denklem (2.50) aşağıdaki reel halde yazılabilir :

$$\frac{\partial^2}{\partial y^2} \left\{ \frac{K(y)}{\Omega^2} \frac{\partial^2}{\partial y^2} M(y) \right\} - \mu M(y) - \mu = -\frac{2\rho C}{H}$$

$$\left\{ \sum_{k=1}^{\infty} \frac{(-1)^k \cos \sigma_k y}{\sqrt{|\Omega^2 - (\sigma_k C)^2|}} - \sum_{k=1}^{\infty} \frac{\cos \sigma_k y}{\sqrt{|\Omega^2 - (\sigma_k C)^2|}} - \int_0^H M(y) \cos \sigma_k y dy \right\} \quad (3.1)$$

İlgili sınır şartları (2.14, 2.15) eşitliklerinden

$$M(0) = \frac{\partial M}{\partial y}(0) = \frac{\partial^2 M}{\partial y^2}(0) = \frac{\partial^3 M}{\partial y^3}(0) = 0 \quad (3.2)$$

olarak elde edilir.

Denklem (3.1), (3.2) ile birlikte sayısal yöntemlerle kolaylıkla çözülebilir. Burada sonlu farklar yönteminin kullanılması tercih edilmiştir. Çözümde kullanılan merkezi sonlu farklar formülleri aşağıda verilmiştir.

$$f_i' = \frac{1}{2\Delta} (f_{i+1} - f_{i-1}) \quad (3.3a)$$

$$f_i'' = \frac{1}{\Delta^2} (f_{i+2} - 2f_i + f_{i-1}) \quad (3.3b)$$

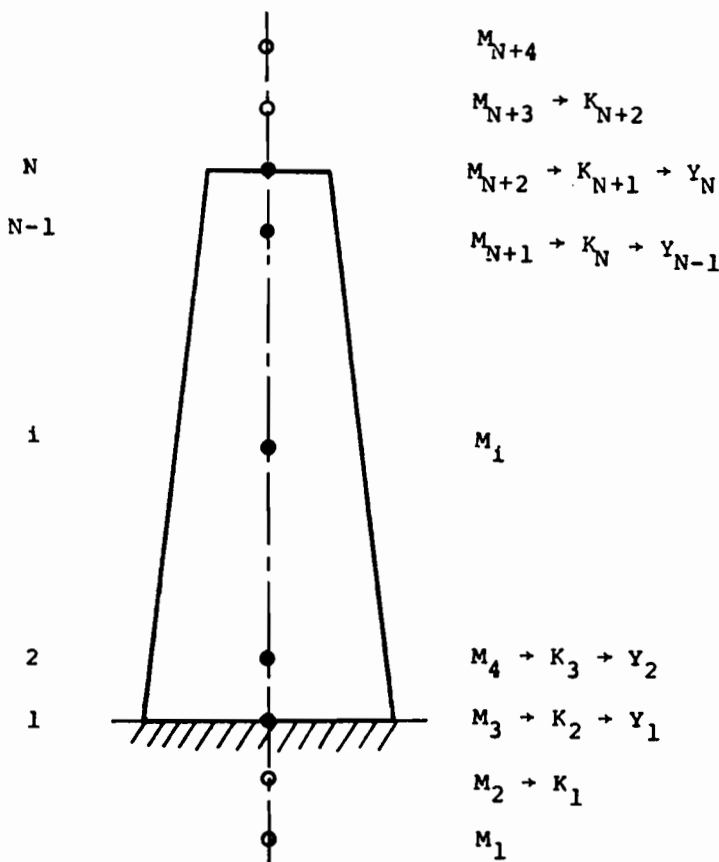
$$f_i''' = \frac{1}{\Delta^3} \left(\frac{1}{2} f_{i+2} - f_{i+1} + f_{i-1} - \frac{1}{2} f_{i-2} \right) \quad (3.3c)$$

$$f_i^{IV} = \frac{1}{\Delta^4} (f_{i+2} - 4f_{i+1} + 6f_i - 4f_{i-1} + f_{i-2}) \quad (3.3d)$$

Buradaki i değişkeni ağ noktasını, Δ ise eşit ağ aralığını göstermektedir.

Sonlu farklar şeması Şekil 3.1 de verilmektedir. Görüldüğü üzere yapı N ağ noktası ile ayrıklasılmıştır.

Denklem (3.1)den anlaşılacağı üzere M ($i = 1, \dots, N+4$) değerleri için toplam $N+4$ noktaya ihtiyaç vardır. Rijitlik K değerleri için ise ($i=1, \dots, N+2$) olmak üzere nokta sayısı $N+2$ dir. Diğer bir deyişle 2 adet serbest ucta, 2 adette sabit ucta olmak üzere toplam 4 adet fiktif ağ noktasına ihtiyaç vardır. Bu 4 adet fiktif ağ noktasına tekabül eden M değerleri Denklem (3.2) de verilen sınır şartlarının kullanılmasıyla bulunacaktır. Sistem doğru olarak tanımlandığında, sınır şartlarıyla birlikte toplam $N+4$ bilinmeyen için $N+4$ eşitlik elde edilecektir.



Şekil 3.1 Ayrıklasılmış Plagın Sonlu Farklar Şeması

Denklem (3.1) in sağ tarafındaki integral terimi bilinen trapez kurallına göre ayrılaştırılabilir :

$$\int f(x) dx = \frac{\Delta}{2} \{ f_1 + 2f_2 + 2f_3 + \dots + 2f_{n-1} + f_n \} \quad (3.4)$$

Bu durumda Denklem (3.1) deki integral terimi

$$\int_0^H M(y) \cos \sigma_k y dy = \frac{\Delta}{2} \{ M_3 \cos \sigma_k y_1 + 2M_4 \cos \sigma_k y_2 + \dots + 2M_{n+1} \cos \sigma_k y_{n+1} + M_{n+2} \cos \sigma_k y_n \} \quad (3.5)$$

şeklinde yazılır.

Ayrıklaştırılan sistemin çözümünde herhangi bir sayısal yöntem kullanılabilir. Bu çalışmada problemin çözümü için ADİSRS olarak adlandırılan genel amaçlı bir bilgisayar programı geliştirilmiştir. Bu program hakkında detaylı bilgi ve döküm Öztorun'da [33] verilmektedir.

3.2. $\gamma_k = -i$ Durumu İçin Çözüm

Daha önce belirtildiği gibi $\sigma_k < \Omega$ durumu için $\gamma_k = -i$ olmakta ve bu durumda Denklem (3.1) imajiner térimler ihtiyac etmektedir. Bu M 'nin komplex bir değişken olması anlamına gelir ve

$$M = M_R + iM_I \quad (3.6)$$

olarak ifade edilebilir.

Burada bazı k değerleri için $\sigma_k < \Omega$ olmakta fakat diğer k değerleri için ise $\sigma_k > \Omega$ olmaktadır. Bu nedenle kritik bir k değerinin mevcudiyeti söz konusudur ve bu kritik değer k_{cr} olarak gösterilmiştir. Bu durumda

$$\gamma_k = \begin{cases} l & k > k_{cr} \\ -i & l < k \leq k_{cr} \end{cases} \quad (3.7)$$

Denklem (3.6) Denklem (2.50) de kullanılıp Denklem (3.7) de verilen şartlar gözönüne alındığında; iki bilinmeyen M_R ve M_I için aşağıdaki iki eşitlik elde edilir.

$$\begin{aligned} \frac{\partial^2}{\partial y^2} \left\{ \frac{K}{\Omega^2} \frac{\partial^2}{\partial y^2} M_R \right\} - \mu M_R &= \mu - \frac{2\sigma C}{H} \sum_{k=k_{cr}+1}^{\infty} \frac{(-1)^k \cos \sigma_k y}{\sigma_k \sqrt{|\Omega^2 - (\sigma_k C)^2|}} + \\ &+ \frac{2\sigma C}{H} \sum_{k=1}^{k_{cr}} \frac{\cos \sigma_k y}{\sqrt{|\Omega^2 - (\sigma_k C)^2|}} \int_0^H M_I \cos \sigma_k y dy + \\ &+ \frac{2\sigma C}{H} \sum_{k=k_{cr}+1}^{\infty} \frac{\cos \sigma_k y}{\sqrt{|\Omega^2 - (\sigma_k C)^2|}} \int_0^H M_R \cos \sigma_k y dy \quad (3.8) \end{aligned}$$

$$\begin{aligned} \frac{\partial^2}{\partial y^2} \left\{ \frac{K}{\Omega^2} \frac{\partial^2}{\partial y^2} M_I \right\} - \mu M_I &= \frac{2\sigma C}{H} \sum_{k=1}^{k_{cr}} \frac{(-1)^k \cos \sigma_k y}{\sigma_k \sqrt{|\Omega^2 - (\sigma_k C)^2|}} - \\ &- \frac{2\sigma C}{H} \sum_{k=1}^{k_{cr}} \frac{\cos \sigma_k y}{\sqrt{|\Omega^2 - (\sigma_k C)^2|}} \int_0^H M_R \cos \sigma_k y dy + \\ &+ \frac{2\sigma C}{H} \sum_{k=k_{cr}+1}^{\infty} \frac{\cos \sigma_k y}{\sqrt{|\Omega^2 - (\sigma_k C)^2|}} \int_0^H M_I \cos \sigma_k y dy \quad (3.9) \end{aligned}$$

Daha önce anlatılan $\gamma_k=1$ durumuna çok benzer bir şekilde iki bilinmeyen, M_R ve M_I Denklem (3.8) ve (3.9) da verilen eşitlikler kullanılarak uygun matris ve vektör operasyonlarıyla elde edilebilir.

3.3. Hidrodinamik Basınç, Kesme Kuvveti ve Moment Dağılımlarının Hesaplanması

Hidrodinamik basınç doğrudan Denklem (2.12) den elde edilebilir. Bu denklem kararlı durumda aşağıdaki şekli almaktadır.

$$\frac{\partial^2}{\partial y^2} \left\{ \frac{K(y)}{\Omega^2} \frac{\partial^2}{\partial y^2} M(y) \right\} - \mu M(y) - \mu = P \quad (3.10)$$

Burada P hidrodinamik basıncın genligidir. $M(y)$ artık bilinen ivme vektörüdür ve $M(y)$ 'nin Denklem (3.10) da yerine konulmasıyla hidrodinamik basınç vektörü $P(y)$ elde edilir.

Plağın yüksekliği boyunca kesme kuvveti ve moment dağılımları diferansiyel ifadelerinden kolaylıkla elde edilebilir. Bu çalışmada kullanılan sayısal yöntemlerin geçerliliğini kontrol etmek amacıyla iki farklı yaklaşımından yararlanılmıştır.

- i) Herhangi bir ağ noktasındaki toplam kesme kuvveti doğrudan doğruya bilinen deformasyon şeklärinden, uygun sonlu farklar formüllerinin kullanılmasıyla elde edilebilir. Moment dağılımını hesaplamak için de benzer yöntem kullanılabilir.
 - ii) Plaka üzerindeki hidrodinamik basınç ve atalet yükleri bilindiği için herhangi bir kesitteki kesme kuvveti ve moment dengenin gözönüne alınmasıyla elde edilebilir.
- Sonuçlar bu iki yaklaşımla elde edilmiş ve bundan sonraki kısımda sunulmuştur.

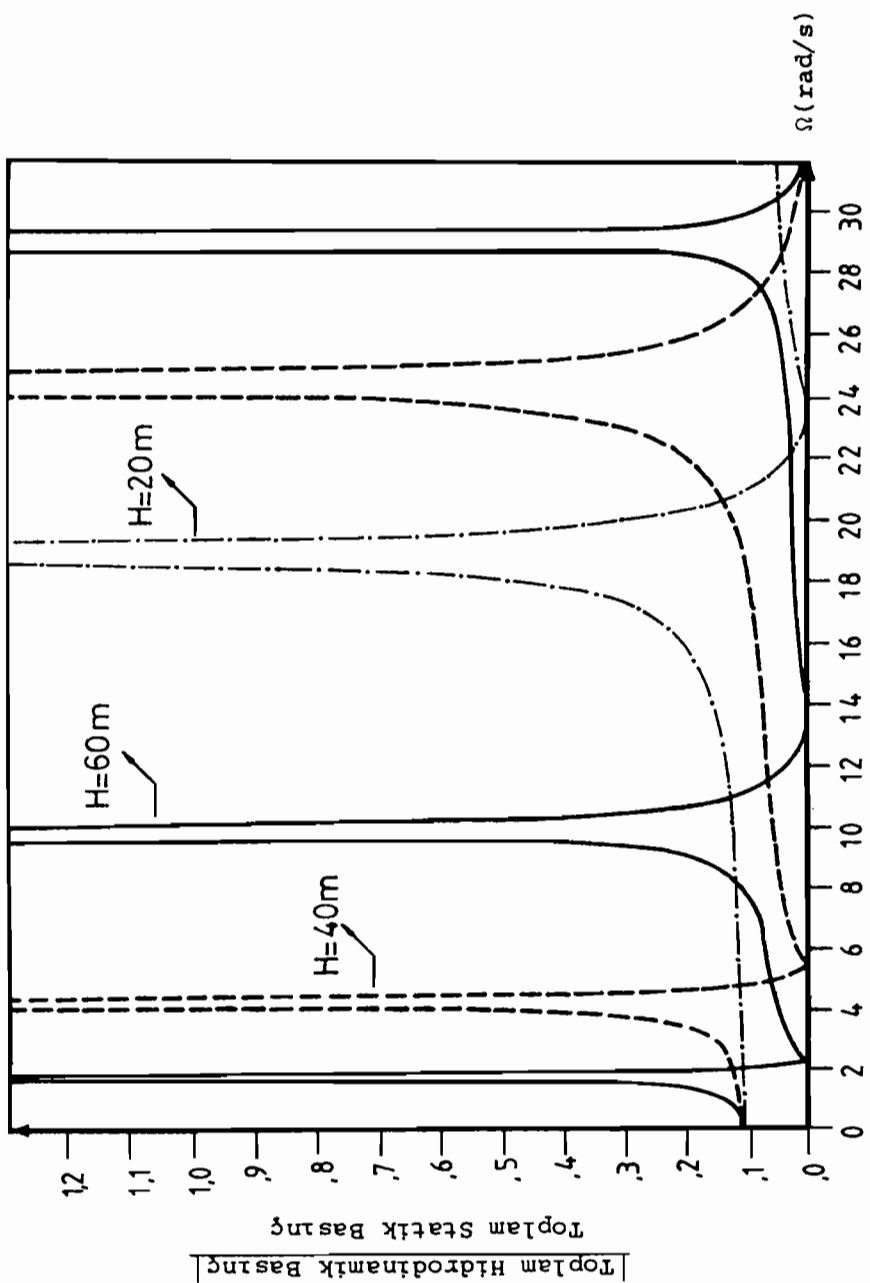
4. SAYISAL SONUÇLAR VE İRDELEME

Baraj-rezervuar sistemlerinin dinamik etkileşiminin analizi için ADISRS (Analysis of Dynamic Interaction of Structure-Reservoir Systems) olarak adlandırılan bir bilgisayar programı geliştirilmiştir. Bu bilgisayar programı kullanılarak muhtelif baraj-rezervuar sistemleri sayısal olarak incelenmiştir. Plak yüksekliğinin, yükleme tipinin (su basıncının yapının yalnızca bir ya da her iki yüzeyinde mevcut olması ya da su basıncının olmaması durumları), akışkanın sıkıştırılabilirliğinin, plaqın kalınlığı ve kesit şeşlinin davranışı üzerindeki etkileri araştırılmıştır. Bütün durumlarda Poisson oranı ν , elastisite modülü E , baraj malzemesinin kütlesel yoğunluğu μ ve suyun kütlesel yoğunluğu ρ sırasıyla 0.2 , $2.1 \times 10^6 \text{ t/m}^2$, $0.253 \text{ t-s}^2/\text{m}^4$ ve $0.102 \text{ t-s}^2/\text{m}^4$ olarak alınmıştır.

Şekil 4.1 de muhtelif yükseklik değerleri için |toplam hidrostatik basınç | / toplam statik basınç değerleri frekansın bir fonksiyonu olarak çizilmiştir. İncelenen yükseklikler 20, 40, 60 metredir. Denklem (2.50)nin sağ tarafındaki seri terimlerin hesaplanmasında kullanılan toplama hassaslık değeri 40 olarak alınmış ve sonsuz serinin 40 terimi toplanmış ve hidrostatik basınç yapının yalnızca bir yüzüne etki ettirilmiştir. Akışkanın su olduğu kabul edilmiş ve sudaki ses hızı 1500 m/s olarak alınmıştır.

Şekil 4.1 plak yüksekliğinin akışkan ile etkileşim halinde olan plaqın davranış spektrumunu etkileyen önemli bir faktör olduğunu göstermektedir. Bu şekilde görüleceği gibi, bu çalışmada gözönüne alınan frekans sınırları içerisinde, rezonans frekanslarının sayısı plak yüksekliğinin artışıyla birlikte artmaktadır. Diğer bir deyişle $H=20\text{m}$ için, gözönüne alınan frekans sınırları içerisinde ($0 \leq \Omega \leq 32 \text{ rad/s}$) yalnızca $\Omega = 18.6 \text{ rad/s}$ de bir rezonans frekansı vardır. Kesit alanı sabit tutularak yükseklik artırıldıkça, ilk rezonans frekansı küçülmekte ve gözönüne alınan frekans sınırları içerisinde ilave rezonans frekansları görülmeye başlamaktadır. Örneğin $H = 40 \text{ m}$ için $\Omega_1 = 4.2 \text{ rad/s}$ ve $\Omega_2 = 24.3 \text{ rad/s}$ dır. $H = 60 \text{ m}$ için aşağıdaki değerlerde üç rezonans frekansı görülmektedir: $\Omega_1 = 1.9 \text{ rad/s}$, $\Omega_2 = 9.8 \text{ rad/s}$, $\Omega_3 = 29 \text{ rad/s}$.

Baraj-rezervuar sisteminin davranışını daha büyük frekanslar için de incelenmiştir. 60 m yüksekliğindeki bir yapı $\Omega \geq 32 \text{ rad/s}$ için incelenmiş ve |toplam hidrostatik basınç | / toplam statik basınç değerleri Şekil 4.2 de gösterilmiştir. Diğer bir deyişle Şekil 4.2 60 m yüksekliğindeki bir sistem için Şekil 4.1 in devamıdır. Bu sistemde uygulanan frekans sınırları

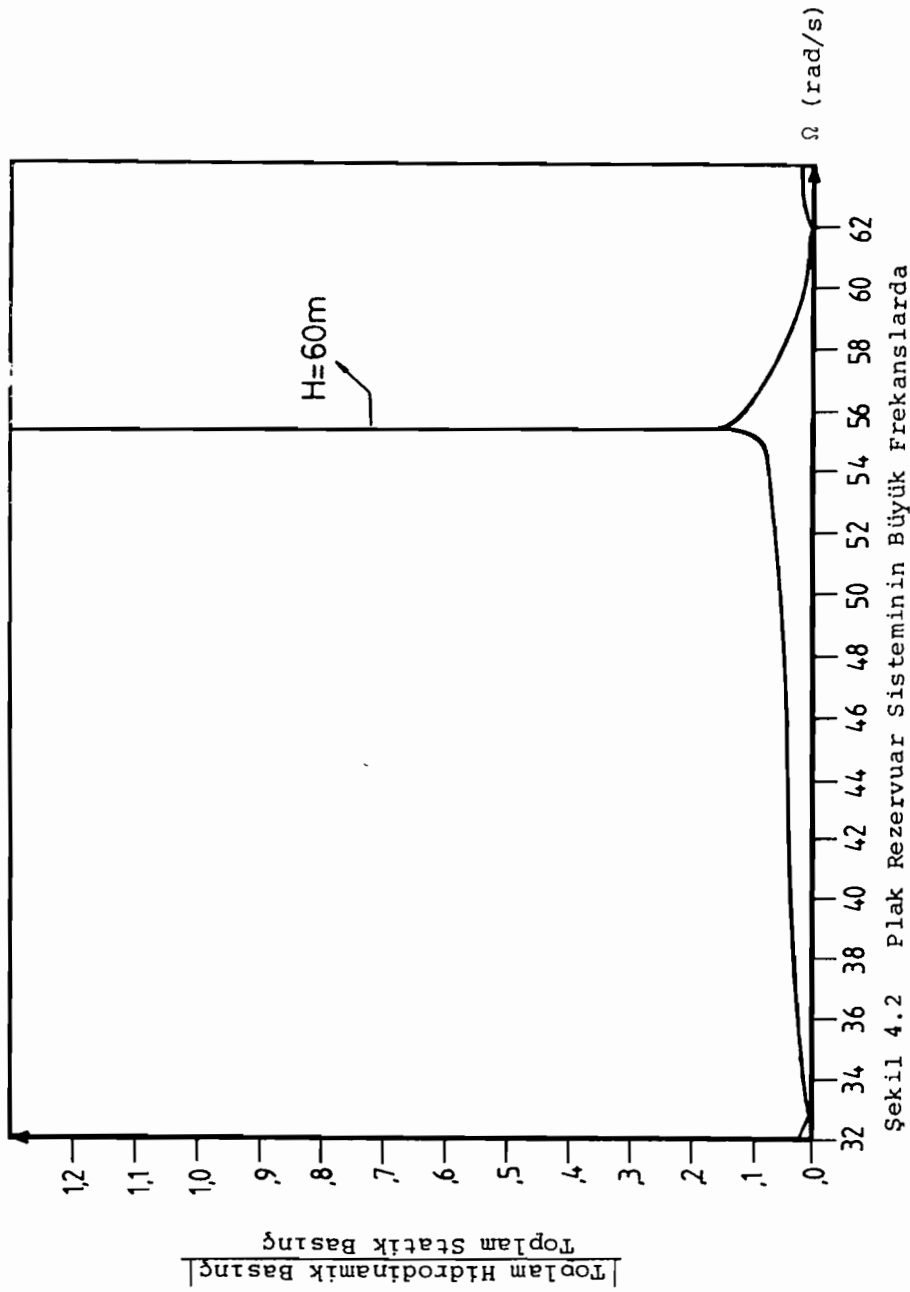


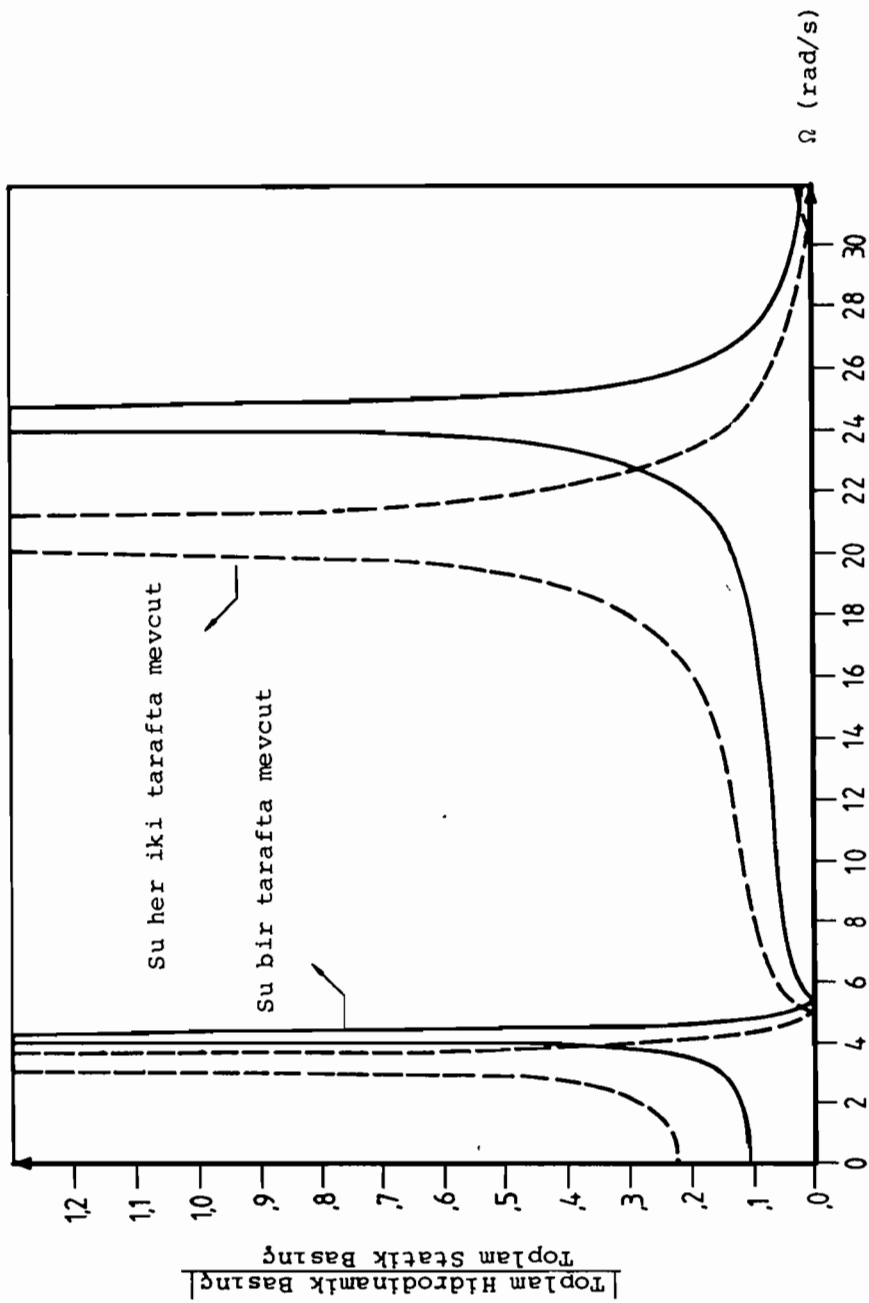
Şekil 4.1 Plak Yüksekliğinin Davranış Üzerindeki Etkisi
($t = 3\text{ m}$, su barajının yalnızca bir tarafında mevcut)

$0 \leq \Omega \leq 39.27$ rad/s olduğunda, Denklem 2.50 deki $\gamma_k = 1$ olarak, daha büyük frekans değerleri için $\gamma_k = -i$ olarak sabitleştirilmiştir.

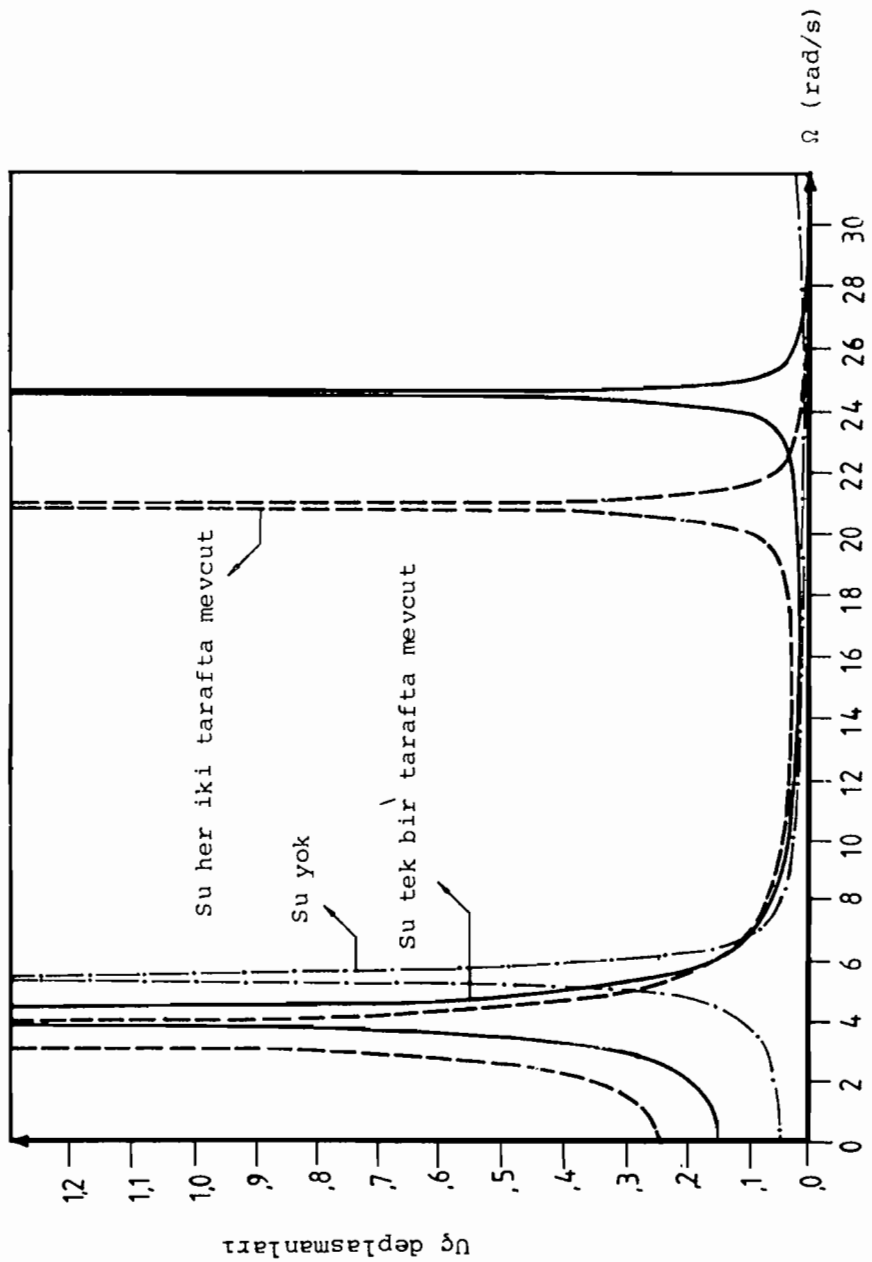
Şekil 4.2 de görüldüğü gibi incelenen frekans sınırları içerisinde (32 $\leq \Omega \leq 62$), yalnızca bir rezonans frekansı vardır ve bu değer 60 m yüksekliğindeki barajın dördüncü rezonans frekansıdır. Şekil 4.1 ve 4.2 beraber incelendiğinde 60 m yüksekliğindeki bir barajda ilave her rezonans bağıl olarak daha büyük frekans değerine tekabül etmektedir. Diğer bir deyişle ilk iki rezonans frekansı arasındaki fark $9.8 - 1.9 = 7.9$ rad/s ikinci ve üçüncü rezonans frekansları arasındaki fark ise 19.2 rad/s dir. Son olarak dörbüncü rezonans frekansının $\Omega_4 = 55.8$ rad/s olması nedeniyle, üçüncü ve dörbüncü rezonans değerleri arasındaki fark 29.8 rad/s dir. Şekil 4.1 ve 4.2 de görüldüğü gibi, 60 m yüksekliğindeki bir sistemde aşağıda sunulan frekans değerleri için hidrodinamik basınç tamamen ihmali edilebilir: $\Omega_1 = 2.2$ rad/s, $\Omega_2 = 14$ rad/s, $\Omega_3 = 32.7$ rad/s ve $\Omega_4 = 62$ rad/s.

Suyun, barajın yalnızca bir tarafında mevcut olması ya da her iki tarafında mevcut olması gözönüne alınarak yükleme tiplerinin davranışının üzerindeki etkisi incelenmiştir. Şekil 4.3 de $|toplam hidrodinamik basınç| / toplam statik basınç$ değerlerinin frekansla değişimi verilmektedir. Şekil 4.3 deki sonuçlar $H = 40$ m ve $t = 3$ m için sunulmuştur. Su basıncının olmaması durumunda hidrodinamik basınç sıfır eşit olacaktır. Bu yükleme durumu için karakteristik bir davranış spektrumunu Şekil 4.3 de göstermek mümkün olmamaktadır. Şekil 4.3 de görüldüğü gibi, yükleme şekli plagın davranış spektrumunu etkileyen diğer bir önemli faktördür. Araştırılmakta olan sistemin incelenen frekans sınırları içerisinde her iki yükleme şekli için iki rezonans frekansı mevcuttur. Ancak suyun yalnızca bir tarafta mevcut olması durumundaki rezonans frekansları, suyun her iki yüzeyde mevcut olması durumuna kıyasla daha büyütür. İlave olarak $|toplam hidrodinamik basınç| / toplam statik basınç$ değerleri, rezonans frekansları arasında kalan frekans değerlerinde, suyun her iki tarafta mevcut olması durumunda daha büyütür. Şekil 4.3 de sunulan iki yükleme şekline ilaveten üçüncü bir yükleme şekli mümkündür. Bu üçüncü durumda plagın her iki tarafında da su yoktur. Üçüncü şeklin sonuçlarını, akışkan ve dolayısıyla hidrodinamik basınç olmaması nedeniyle, Şekil 4.3'e dahil etmek mümkün olmamaktadır. Bu nedenle, başka bir değişkenin, örneğin üç deplasmanlarının frekansa karşı değişimini çizimle bu üç yükleme şeklinin karşılaştırılması mümkün olabilir. Bahsedilen üç yükleme durumunun mukayesesini mümkün kılmak amacıyla, 40 m yüksekliğinde ve sabit kalınlığı 3 m olan bir plagın üç deplasmanlarının frekansa göre değişimini, her üç yükleme durumu için çizilmiştir. Sonuçlar Şekil 4.4 de sunulmuştur. Suyun yalnızca bir ya da her iki tarafta mevcut olması durumlarında, sistemin rezonans frekansları beklentiği gibi Şekil 4.4'deki





Şekil 4.3 Yükleme Durumunun Basınç Üzerindeki Etkisi
($H = 40$ m, $t = 3$ m)



Şekil 4.4 Yükleme Durumunun Davranış Üzerindeki Etkisi
($H = 40$ m, $t = 3$ m)

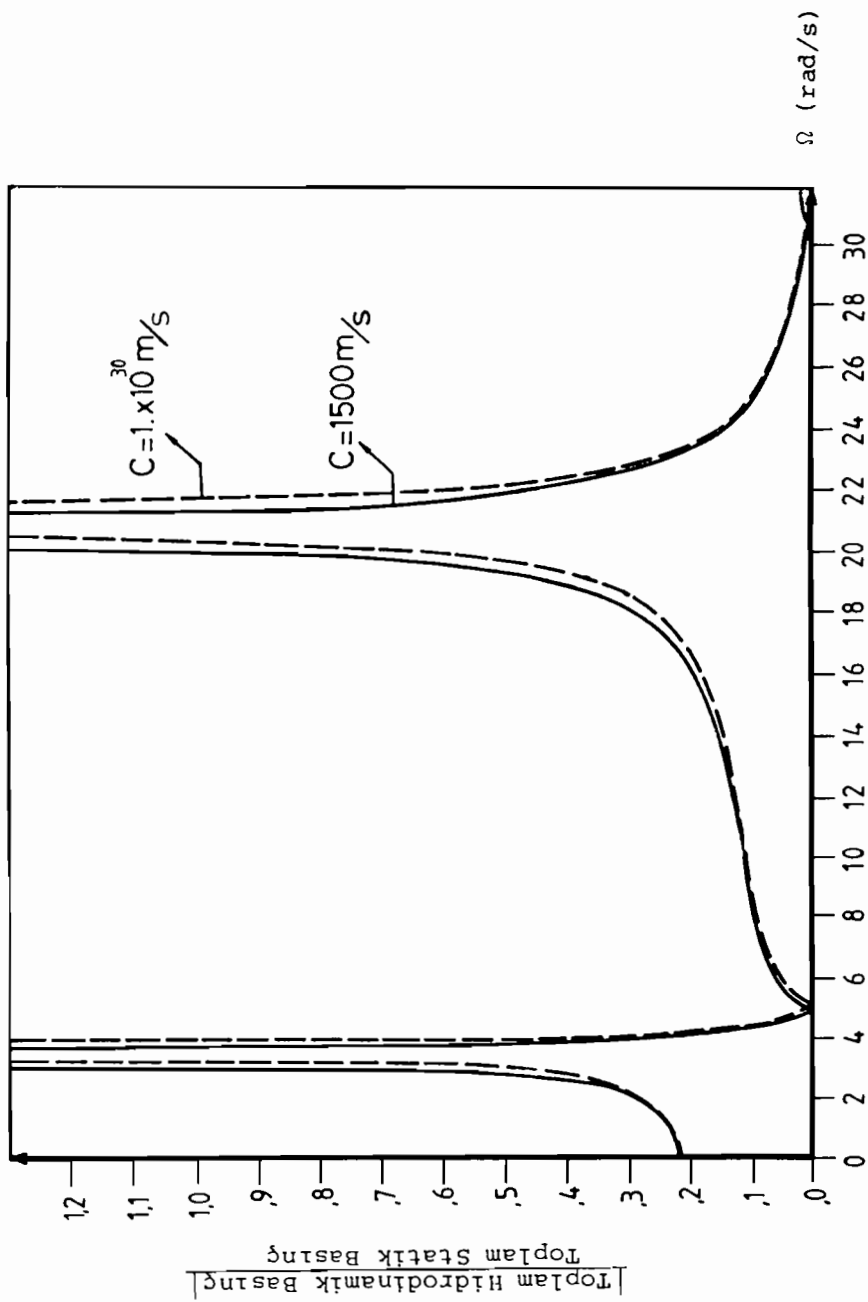
sonuçlarla aynıdır. Suyun mevcut olmaması durumunda, yani yapının boşlukta olması durumunda, ilk rezonans değeri sağa kaymıştır. Bu yükleme şekli için incelenen frekans sınırları içerisinde ($0 \leq \Omega \leq 32$ rad/s), yalnızca bir tek rezonans değeri vardır ($\Omega = 5.5$ rad/s). İncelenen bu üç durum içinde, her iki yüzeye de su ile etkileşim halinde olan plak en düşük ilk doğal frekansa sahiptir. Plagın yalnızca bir yüzeyinin su ile temas etmesi durumunda ise ilk doğal frekans hafifçe artmıştır ancak yine de boşluktaki plağa kıyasla daha küçüktür.

Akışkanın sıkıştırılabilirliğinin davranışındaki etkisi bilinmemektedir. Bu etki araştırılmış ve sonuçlar Şekil 4.5'de sunulmuştur. Önce akışkanın su olduğu varsayılmış ve sudaki ses hızı 1500 m/s olarak alınmıştır. Daha sonra bu durum sıkıştırılamaz akışkanla karşılaştırılmıştır. Akışkanın sıkıştırılamaz olması, akışkanın ses hızının çok büyük olması anlamına gelmektedir. Ses hızı, C , 1×10^{30} m/s olarak alınmıştır. Her iki durum için de $| \text{toplam hidrodinamik basınç} | / \text{toplam statik basınç}$ değerleri 40 m yüksekliğinde ve 3 m sabit kalınlığı olan bir yapı için frekansın bir fonksiyonu olarak çizilmiştir. Bu şekilde incelenen frekans sınırları $0 \leq \Omega \leq 32$ rad/s dir. Barajın her iki tarafında da suyun mevcut olduğu varsayılmıştır.

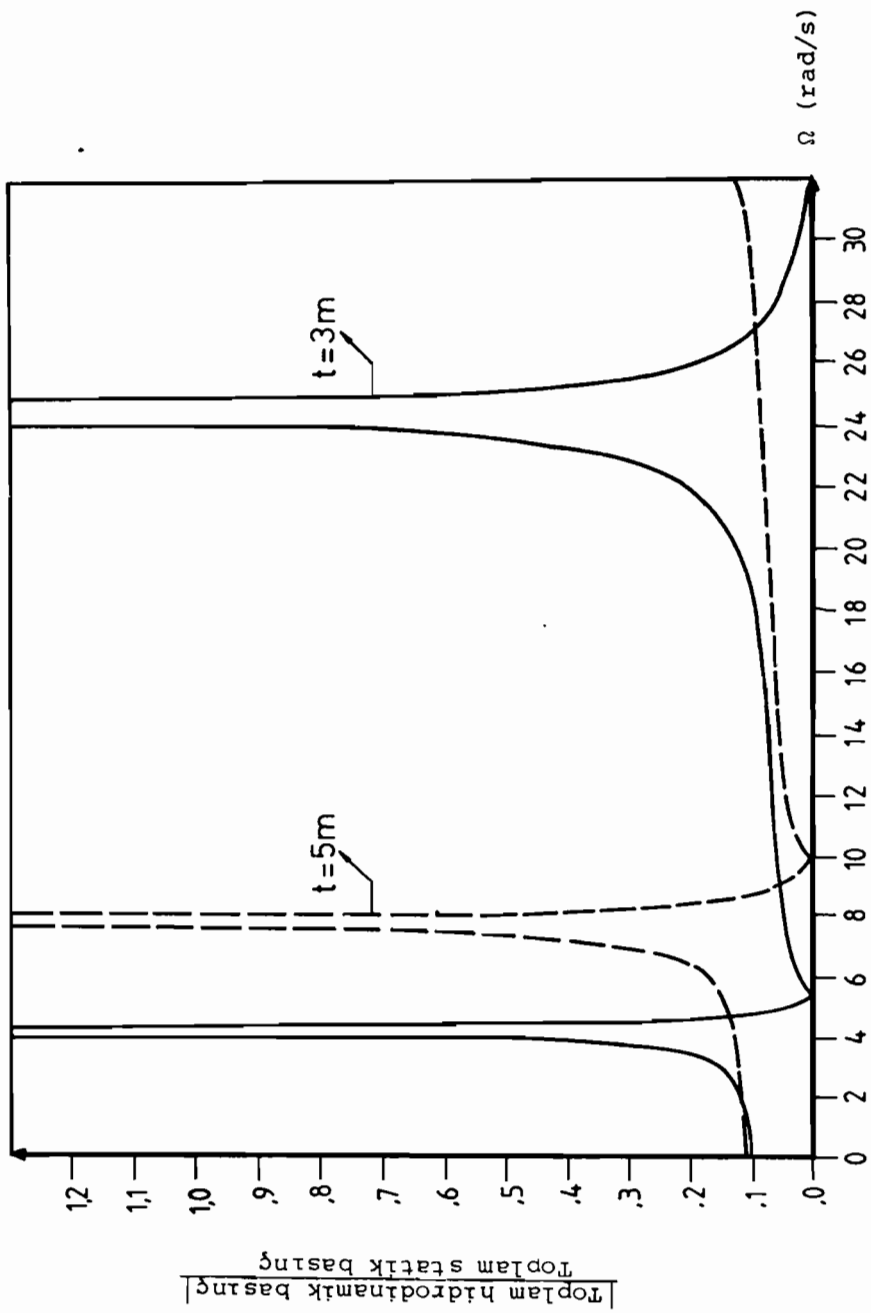
Şekil 4.5, 40 m yüksekliğinde ve 3 m kalınlığındaki bir yapı için, akışkanın sıkıştırılabilirliğinin, akışkanla etkileşim halinde olan plagın davranış spektrumu üzerinde önemli bir etkisi olmadığını göstermektedir. Diğer yükleme durumları için de bu çalışma yapılmıştır. Sıkıştırılabilirliğin göz önüne alınması sonuçları fazla etkilememektedir. Ancak hemen belirtilmelidir ki bu sonuçlar yalnızca araştırılan özel durum için geçerlidir. Yapının farklı yükseklik-kalınlık durumları için sıkıştırılabilirlik, davranışı önemli ölümlerde etkileyebilir.

Yalnızca tek yönden suyla etkileşim halinde olan ve 40 m yüksekliğindeki bir yapının kalınlığının, davranış spektrumu üzerindeki etkileri araştırılmıştır. $| \text{toplam hidrodinamik basınç} | / \text{toplam statik basınç}$ değerleri iki ayrı kalınlık için frekansın bir fonksiyonu olarak Şekil 4.6 da çizilmiştir. Örnek olarak alınan kalınlıklar 3 m ve 5 m dir.

Şekil 4.6'dan görülebileceği gibi, plak kalınlığı, sistemin davranış spektrumunu etkileyen önemli bir etkendir. Bu şekil, plak kalınlığının küçülmesiyle birlikte incelenen frekans sınırları içerisinde rezonans frekanslarının sayısının azaldığını göstermektedir. İncelenen frekans aralığında 5 m



Şekil 4.5
Akışkanın Sıkıştırılabilirliğinin
Davranış Üzerindeki Etkisi
($H = 40 \text{ m}$, $t = 3 \text{ m}$, su barajın her iki
tarafında mevcut)



Şekil 4.6 Plak Kalınlığının Davranış Üzerindeki Etkisi
(H = 40 m, su barajının yalnızca bir tarafında mevcut)

kalinlığındaki bir plak için yalnızca bir rezonans değeri vardır. **Yüksəklik** sabit tutulup, plak narinleştirikçe, ilk rezonans frekansı küçülmekte ve fre-kans sınırları içinde ilave rezonans frekansları görülmektedir. Örneğin $t = 5 \text{ m}$ için $\Omega_1 = 7.9 \text{ rad/s}$ olmasına karşın, $t = 3 \text{ m}$ için $\Omega_1 = 4.1 \text{ rad/s}$ ve $\Omega_2 = 24.3 \text{ rad/s}$ değerleriyle bu defa iki rezonans frekansı görebilmekteyiz.

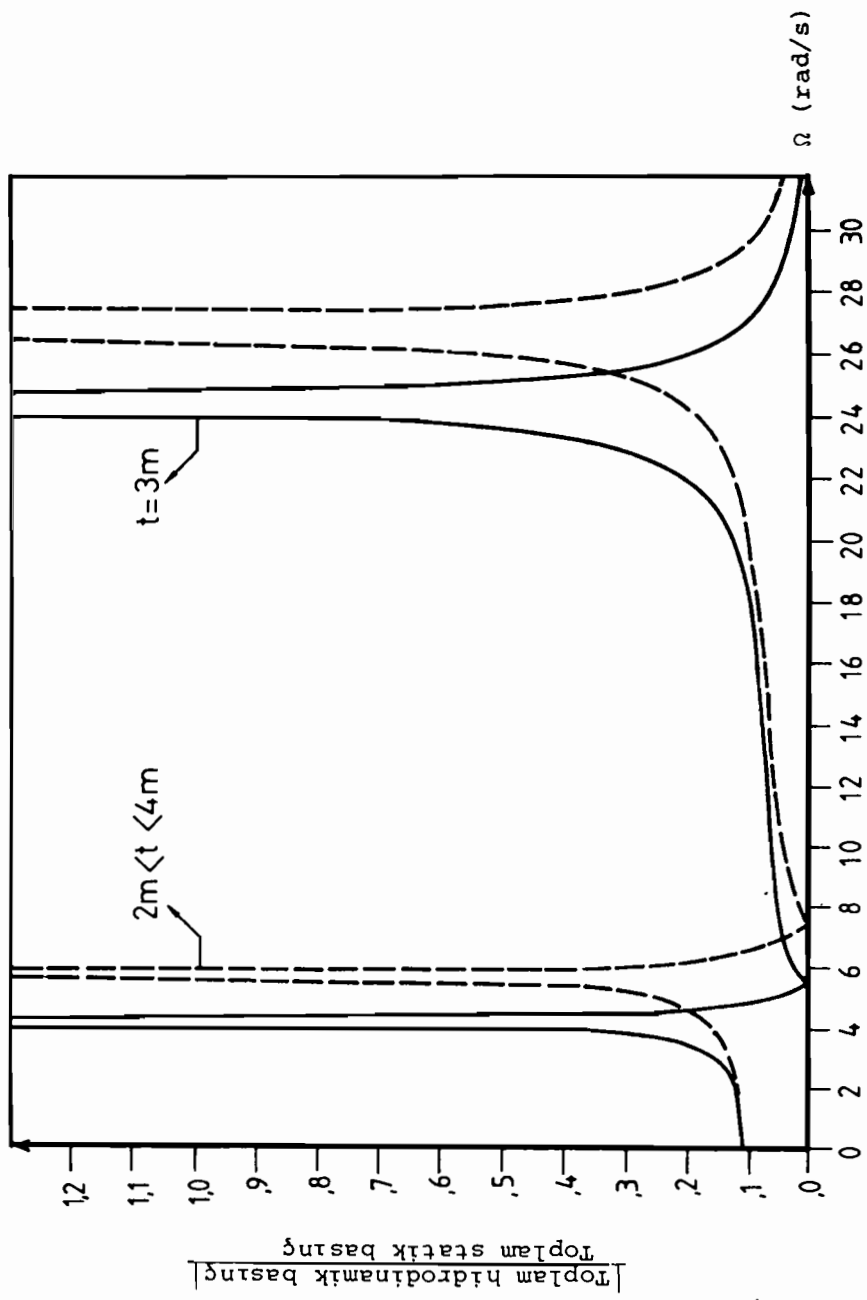
Yalnızca tek yüzeyiyle suyla etkileşim halinde olan ve 40 m yüksekli-gindeki bir yapı için, plagın kesit şeklärini davranış spektrumu üzerindeki etkisi araştırılmıştır. Kesit şeklärleri farklı olan iki ayrı plak ele alı-narak |toplam hidrostatik basınc| /toplam statik basınç değerleri, Şekil 4.; de görüldüğü gibi frekansın bir fonksiyonu olarak çizilmiştir. İlk plagın kalınlığının sabit ve 3 m olduğu varsayılmıştır. İkinci plagın temelde 4 m olan kalınlığının, doğrusal olarak azalarak uç noktasında $2 \text{ m}'ye$ düşüğü kabul edilmiştir. İkinci plagın ortalama kalınlığı hernekadar 3 m ise de; doğrusal olarak değişen bir kalınlığa sahip olması, yapının rıjitliğini ve atalet yüklerini etkilemektedir.

Şekil 4.7'de görüldüğü gibi her iki durumda da incelenen frekans sınırları içerisinde iki rezonans frekansı vardır. Doğrusal olarak değişen bir kalınlığa sahip olan bir yapının rezonans frekansları, bu yapıya eşdeğer bir kalınlığa sahip olan bir diğer yapıyla kıyaslandığında; sağa doğru bir kayma görülmektedir. Sabit kalınlıklı plak için birinci ve ikinci rezonans frekansları $\Omega_1 = 4.1 \text{ rad/s}$ ve $\Omega_2 = 24.3 \text{ rad/s}$ dir. Doğrusal değişen kalınlığa sahip plakta ise tekabül eden rezonans frekansları $\Omega_1 = 5.8 \text{ rad/s}$ ve $\Omega_2 = 26.6 \text{ rad/s}$ dır.

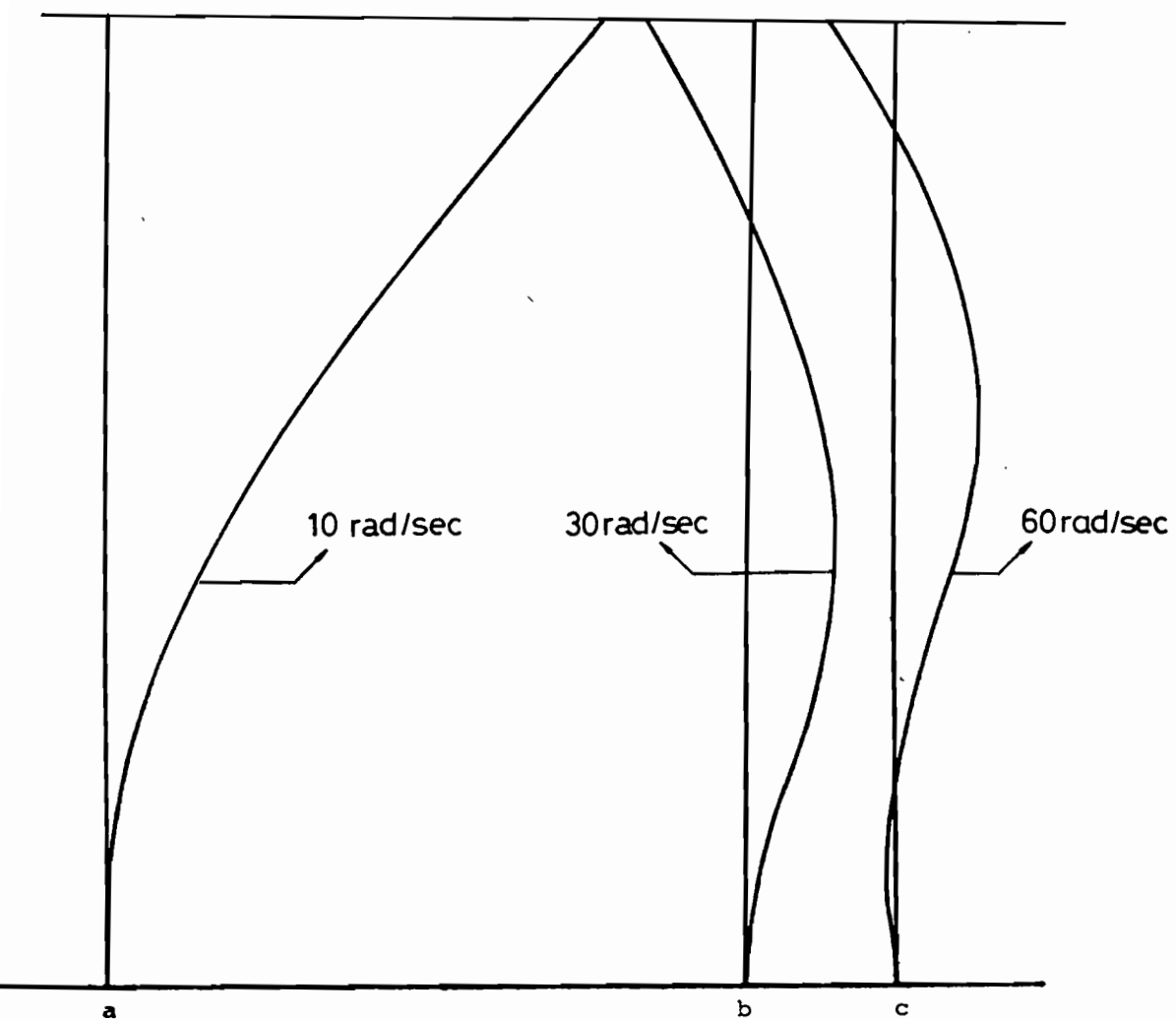
Şekil 4.8 de 40 m yüksekliğinde ve 3 m sabit kalınlığı olan bir yapının belirli frekanslardaki deformasyonunu göstermektedir.

Çok amaçlı olarak hazırlanan bilgisayar programı ADISRS, bir yapının deformasyonunu gösteren şeklärini, hidrostatik basıncı, yalnızca hidrostatik basıncın oluşturduğu kesme kuvveti ve moment dağılımlarını, ayrıca atalet yüklerini de gözönüne alarak, toplam kesme kuvveti ve toplam moment dağılımlarını ve-rebilmektedir. 40 m yüksekliğinde ve 3 m sabit kalınlığı olan bir yapı örnek olarak alınmış ve $\Omega = 0.1 \text{ rad/s}$ için sonuçlar elde edilerek Şekil 4.9'da sunulmuştur. Bu örnekte su yapının yalnızca bir yüzeyine etki etti-rilmişmiştir. Yapı üzerinde 30 ağ noktası alınmıştır.

Şekil 4.9 incelendiğinde; (4.9 a) da görüldüğü gibi hidrostatik basınç parabolik bir dağılım göstermektedir. Şekil 4.9 b ise yalnızca hidrostatik

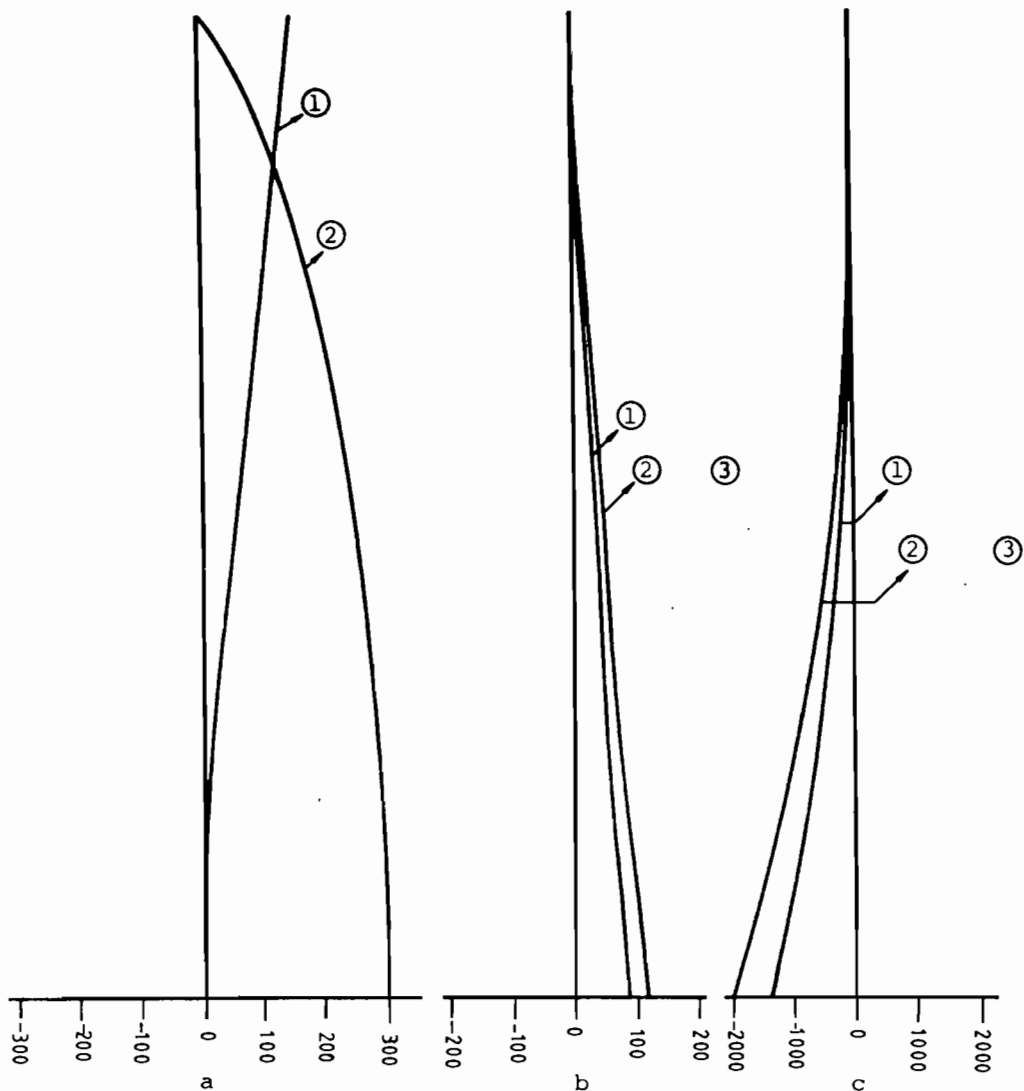


Şekil 4.7 Plak Kesit Şeklinin Davranış Üzerindeki Etkisi
($H = 40\text{ m}$, ortalamala kalınlık = 3 m, su barajın yalnızca bir tarafında mevcut)



Şekil 4.8 Yapının Tipik Deformasyonları

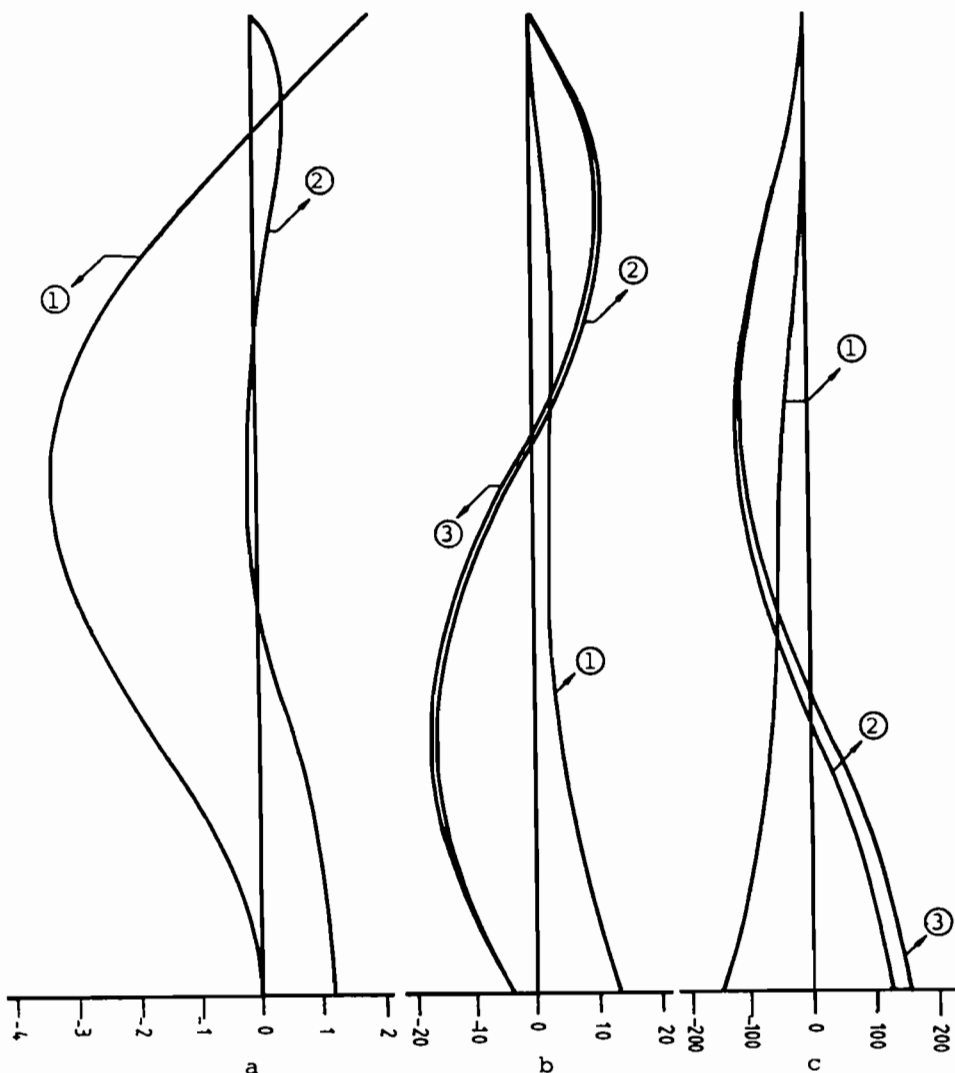
($H = 40$ m, $t = 3$ m, su yapının
yalnız bir tarafında mevcut)



Şekil 4.9 Hidrodinamik Basınç, Kesme Kuvveti ve Moment Dağılımları

- 1) Maksimum ivme $\times 10^3$ = deform olmuş durum $\times \Omega^2$
 - 2) Hidrodinamik basınç (t)
 - 1) Yalnızca hidrodinamik basıncın oluşturduğu kesme kuvveti (t)
 - 2) Deform olmuş şeviden elde edilen toplam kesme kuvveti (t)
 - 3) Farklı çözümle hesaplanan toplam kesme kuvveti (t)
 - 1) Yalnızca hidrodinamik basıncın oluşturduğu moment ($t-m$)
 - 2) Deform olmuş şeviden elde edilen toplam moment ($t-m$)
 - 3) Farklı çözümle hesaplanan toplam moment ($t-m$)
- ($\Omega = 0.1 \text{ rad/s}$, $H = 40 \text{ m}$, $t = 3 \text{ m}$, su yapının yalnızca bir tarafında mevcut)

basıncın oluşturacağı kesme kuvveti ile atalet yüklerinin de gözönüne alınmasıyla elde edilen toplam kesme kuvveti dağılımlarını göstermektedir. Yalnızca hidrodinamik basıncın oluşturacağı moment ve toplam moment dağılımları ise Şekil 4.9 c'de görülmektedir. Toplam kesme kuvveti ve momentler ile, yalnızca hidrodinamik basıncın oluşturacağı kesme kuvveti ve momentler arasındaki fark atalet yüklerinin etkisiyle oluşmaktadır. Şekil 4.9 b ve c'de görüldüğü gibi bu yükler kesme kuvveti ve moment dağılımlarını önemli ölçüde etkilemektedir. Aynı yapı ve aynı yükleme şekli için $\Omega=40$ rad/s değerinde bir frekansa maruz kalan sisteme benzeri grafikler çizilmiş ve Şekil 4.10'da sunulmuştur. Bu şekil aynı zamanda kütlesel yüklerin önemini göstermektedir. Bu şeviden görülebileceği gibi, hidrodinamik basınç sistemin yüksekliği boyunca işaret değiştirmektedir. Bilgisayar programının doğruluğunu kontrol etmek amacıyla toplam kesme kuvveti ve toplam moment dağılımları iki farklı yaklaşımla elde edilmiştir. İlk çözümde bu dağılımlar doğrudan deform olmuş şeviden faydalananarak, diğer çözümde ise hidrodinamik basınç ve kütlesel yüklerin oluşturacağı kesme kuvvetleri ve momentlerin toplanmasıyla elde edilmiştir. Şekil 4.10 b ve c'de görüldüğü gibi, iki farklı yaklaşımın sonuçları oldukça yakıştır. İki çözüm arasındaki küçük fark sonsuz serilerin hesaplanmasında kullanılan terim sayısından ve ağ noktaları arasındaki uzunluğa bağlı sayısal çözümlerden kaynaklanmaktadır. Nokta sayısının artırılmasıyla hassaslık artırılabilir ve iki yaklaşım arasındaki fark azalır. Nitekim Şekil 4.9'da bu fark çok azdır. Şekil 4.10 b ve c kütlesel yüklerin dağılımlar üzerindeki etkisini açıkça göstermektedir. Yalnızca hidrodinamik basıncın oluşturduğu kesme kuvveti ve moment dağılımları, kütlesel yüklerin gözönüne alınmasıyla birlikte çok büyük değişikliklere uğramaktadır.



Şekil 4.10 Hidrodinamik Basınç, Kesme Kuvveti ve Moment

Dağılımları

- a) 1) Maksimum ivme $\times 10^3$ = deform olmuş durum $\times \Omega^2$
 - 2) Hidrodinamik basınç (t)
 - b) 1) Yalnızca hidrodinamik basıncın oluşturduğu kesme kuvveti (t)
 - 2) Deform olmuş şeilden elde edilen toplam kesme kuvveti (t)
 - 3) Farklı çözümle hesaplanan toplam kesme kuvveti (t)
 - c) 1) Yalnızca hidrodinamik basıncın oluşturduğu moment (t-m)
 - 2) Deform olmuş şeilden elde edilen toplam moment (t-m)
 - 3) Farklı çözümle hesaplanan toplam moment (t-m)
- $(\Omega = 40 \text{ rad/s}, H = 40 \text{ m}, t = 3 \text{ m}, \text{su yapının yalnızca bir taraftında mevcut})$

5. ÖZET, TARTIŞMA VE ÖNERİLER

Bu çalışmada katı-sıvı karşı-etkileşim sistemlerinin dinamik analizi üzerine bir araştırma sunulmuştur. Sistem harmonik temel ivmesine maruz bırakılmıştır. Yapının titreşimi esnasında, arkasındaki akışkan tarafından oluşturulan hidrodinamik basıncın belirlenmesi için yarı analitik bir yöntem geliştirilmiştir. Bu yöntemde sistemin tüm esnekliği gözönüne alınmaktadır. Problem iki boyutlu bir düzlem problemi olarak incelenmiştir. Barajın ıslak yüzeyinde etki eden hidrodinamik basınç, baraj-rezervuar yüzeyinin bilinmeyen deformasyonlarının ve yer ivmesinin bir fonksiyonu olarak, kapalı bir formda elde edilmiş, sayısal yöntemler uygulanarak barajın hareketi araştırılmış ve barajla rezervuar arasındaki etkileşim gözönüne alınarak titreşim modları bulunmuştur.

Bu çalışmada barajın yapısal sözümlü dikkate alınmamış ve akışkanın etki alanının kartezyen koordinatlarda düzgün sınırlara sahip olduğu varsayılmıştır. Bu varsayımdan problemin yarı-analitik bir çözümünü mümkün kılmış ve ayrıca gerekli bilgisayar zamanını azaltmıştır.

Yatay yönde harmonik yer ivmesine maruz barajın davranışını aşağıdaki durumlar için belirlenmiştir.

- a) Plak su ile etkileşim halinde değildir.
- b) Plak yalnızca bir yüzeyinden su etkisine maruzdur.
- c) Plak her iki yüzeyiyle de su ile etkileşmektedir.

Bilgisayar programı ADISRS kullanılarak muhtelif baraj-rezervuar sistemleri üzerinde çalışmalar yapılmış, plak yüksekliğinin, akışkanın sıkıştırılabilirliğinin, plak kalınlığının ve plak kesitinin davranış üzerindeki etkileri araştırılmıştır.

Mevcut çalışmanın sonuçları şu şekilde özetlenebilir:

Kesitin kalınlığı sabit tutularak plak yüksekliğinin artırılması, incelenen frekans sınırları içerisinde doğal freksnlarda bir artışa neden olur. Akışkanla etkileşim nedeniyle, barajın esas rezonans freksnları plak yüksekliğine bağlı olarak azalır. Plak yüksekliği sabit tutularak kalınlığın azaltılması plaqın davranışını üzerinde aynı etkiye neden olur. Her iki durumda da (yani sabit kalınlıkta yüksekliğin artırılması ya da sabit yükseklikte kalınlığın azaltılması durumlarında) ilk rezonans frekansı sola kayar.

Baraj-su etkileşimi, barajın hareket denkleminde, frekansa bağlı terimlerden oluşur. Bu çalışmada boşluktaki bir barajın davranış eğrisi, genel amaçlı bilgisayar programı ADISRS de ilgili terimlerin sıfır'a eşitlenmesiyle elde edilmiştir. Yapı her iki yüzeyinde de su basıncına maruz bırakıldığında formülasyondaki hidrodinamik basınç terimleri iki misline çıkar. Her iki yüzeye de su mevcut olması durumunda doğal frekanslar sola doğru kaymaktadır.

Sunulan örnekte akışkanın sıkıştırılabilirliği, barajın deprem davranışını fazla etkilememektedir. Ancak sıkıştırılabilirliğin gözönüne alınması farklı boyutlarda bir barajın doğal frekanslarında önemli değişikliklere neden olabilir.

Bu çalışmada yapısal sönümlün etkisi gözönüne alınmamıştır. Ancak problemin formülasyonunda uygun değişikliklerle yapısal sönümlün etkisi dahil edilebilir ki bu değişiklikler plak davranışını içeren dinamik eşitliklerde sönümlü terimin ilavesiyle basit bir şekilde yapılabilir.

Fourier Dönüşüm tekniklerinin uygun bir şekilde uygulanmasıyla sistemi gerçek zaman alanında incelemek te mümkünür. Ancak bu iki öneri daha sonraki çalışmalarımız için bir konu teşkil etmektedir.

KAYNAKLAR

1. SHEN, C.K., H.C. CHEN, L.S. HUANG, C.J. YANG, C.H. CHANG, T.C. LI, and T.C. WANG, "Earthquakes Induced by Reservoir Impounding and Their Effect on the Hsinfengkiang Dam," Ministry of Water Conservancy and Electric Power, Peking, April, 1973.
2. "Koyna Earthquake of December 11, 1967," Report of the UNESCO Committee of Experts, New Delhi, April, 1968.
3. U.S. Army Corps. of Engineers, "Gravity Dam Design," Engineering Manual EM 1110-2-2200, Washington, D.C., Sept., 1958.
4. TURNER, M.J., R.W. CLOUGH, H.C. MARTIN, and L.J. TOPP, "Stiffness and Deflection Analysis of Complex Structures," J. Aero. Sci., Vol. 23, No.9, Sept., 1956, pp. 805-824.
5. CLOUGH, R.W., "The Finite Element Method in Plane Stress Analysis," Proceedings, 2nd ASCE Conference on Electronic Computation, Pittsburg, Sept., 1960, pp. 345-378.
6. CLOUGH, R.W., F.W. SIMS, and J.A. RHODES, "Cracking in Norfork Dam," Proc. ACI, Vol. 61, No.3, March, 1964, pp. 265-286.
7. CLOUGH, R.W., and J.M. RAPHAEL, "Construction Stresses in Dworshak Dam," Structural Engineering Laboratory Report No. 65-3, University of California, Berkeley, April, 1965.
8. CLOUGH, R.W., and A.K. CHOPRA, "Earthquake Stress Analysis in Earth Dam," Proc. ASCE, Vol. 92, No. EM-2, April, 1966, pp. 197-211.
9. H.M. WESTERGAARD, "Water Pressures on Dams During Earthquakes Transactions," ASCE 98, 1933, pp. 418-433.

10. S. KOTSUBO, "Dynamic Water Pressure on Dams Due to Irregular Earthquakes," Memoirs of Faculty of Engineering, Kyushu University, Fukuoka, Japan, Vol. 18, No.4, 1959, pp. 119-129.
11. A.K. CHOPRA, "Hydrodynamic Pressures on Dams During Earthquakes," J. Engng. Mech. Div., ASCE, Vol. 93(EM6), 1967, Proc. Paper 5695, pp. 205-223.
12. A.K. CHOPRA, "Reservoir - Dam Interaction During Earthquakes," Bulletin, Seismological Society of America, Vol. 57, No. 4, Aug., 1967, pp. 675-687.
13. CHAKRABARTI, P., and A.K. CHOPRA, "Hydrodynamic Pressures and Response of Gravity Dams to Vertical Earthquake Component," Int. J. Earthquake Eng. Struct. Dynamics Vol. 1, No. 4, 1973, p. 325.
14. CHAKRABARTI, P., and A.K. CHOPRA, "Earthquake Analysis of Gravity Dams Including Hydrodynamic Interaction," Int. J. Earthquake Eng. Struct. Dynamics, Vol.2, No.2, 1973, p.143.
15. CHAKRABARTI, P., and A.K. CHOPRA, "Hydrodynamic Effects in Earthquake Response of Gravity Dams," J. Struct. Div., ASCE, 100, 1974, pp. 1211-1224.
16. A.K. CHOPRA, "Earthquake Behaviour of Reservoir of Dam Systems," J. Engn. Mech. Div., ASCE 94 (EM6), 1968, pp. 1475-1500.
17. A.K. CHOPRA, "Earthquake Response of Concrete Gravity Dams," Journal of Engng. Mech. Div., ASCE 96 (EM4), 1970, pp. 443-454.

18. B. NATH, "Coupled Hydrodynamic Response of a Gravity Dam," The Institution of Civil Engineers, Proc. 48, 1971, pp. 245-257.
19. O.C. ZIENKIEWICZ, "Discussion, Earthquake Behaviour of Reservoir Dam Systems," J. Engn. Mech. Div., ASCE 95 (EM3), 1969, pp. 801-803.
20. O.C. ZIENKIEWICZ, B. IRONS and B. NOTH, "Natural Frequencies of Complex Free or Submerged Structures by the Finite Element Method," Symp. Vibrations Civ. Engng. Butterworths, London, 1965.
21. W.D. LIAM FINN, and E. VAROĞLU, "Forced Vibrations of Plate-Reservoir Systems," Soil Mechanics Report (22), University of British Columbia.
22. FINN, W.D.L., VAROĞLU, E., "Dynamics of Gravity Dam-Reservoir Systems," Computers and Structures, Vol.3, 1973, pp. 913-924.
23. BRAHTZ, H.A., and HEILBRON, C.H., discussion of "Water Pressures on Dams During Earthquakes," by H.M. Westergaard, Transactions, ASCE, Vol. 98, 1933, pp. 452-460.
24. HOSKINS, L.M., and JACOBSEN, L.S., "Water Pressure in a Tank Caused by a Simulated Earthquake," Bulletin, Seismological Society of America, Vol.24, No.1, Jan., 1934, pp. 1-32.
25. WERNER, P.W., and SANDQUIST, K.J., "On Hydrodynamic Earthquake Effects," Transactions, American Geophysical Union, Vol. 30, No. 5, Oct., 1949.

26. BUSTAMANTE, J.I., ROSENBLUETH, E., HERRERA, I., and FLORES, A., "Presion Hydrodynamica en Presas y Depositos", Boletin Sociedad Mexicana de Ingenieria Sismica, Vol. 1, No. 2, Oct., 1963.
27. JENSCHKE, V.A., CLOUGH, R.W., and PENZIEN, J., "Analysis of Earth Motion Accelerograms," Report No. SESM 64-1, Institute of Engineering Research, University of California, Berkeley, Jan., 1964.
28. ZANGAR, C.N., "Hydrodynamic Pressures on Dams due to Horizontal Earthquake Effects," Engineering Monograph No. 11, U.S. Bureau of Reclamation, May, 1952.
29. CHWANG, A.T., "Hydrodynamic Pressures on Sloping Dams During Earthquakes. Part 2. Exact Theory," Journal of Fluid Mechanics, Vol. 87, Part 2, 1978, pp. 343-348.
30. A. K. VAISH, and A.K. CHOPRA, "Earthquake Finite Element Analysis of Structure-Foundation Systems," J. Engng. Mech. Div., ASCE, 100, 1974, pp. 1101-1116.
31. CHZHEN'-Chen, Chen', "The Effect of Dynamic Fluid Pressure on a Dam During Earthquakes," Journal of Applied Mathematics and Mechanics (P.M.M.) Vol. 25, No.1, 1961.
32. CHZHEN'-Chen, Chen', "On the Hydrodynamic Pressure on a Dam Caused by Its Aperiodic or Impulsive Vibrations of the Earth Surface," Journal of Applied Mathematics and Mechanics (P.M.M.), Vol. 25, No.4, 1961.
33. ÖZTORUN, N.K., "Dynamics of Dam-Reservoir Interaction Systems," MS Thesis, METU, 1983.

**BAŞLANGIÇ GERİLME ŞARTLARININ DEPREMLER SIRASINDA
SİVİLAŞMAYA ETKİSİ
DENEYLER VE BİR YORUM ***

**Yazan: Doç.Dr. M. Ali Erguvanlı - Doç.Dr. İ.Kutay Özaydın
Çeviren: İnş.Y.Müh. Sıtkı Onur****

ÖZET

Doğal koşulları yansıtmağa çalışan farklı gerilme oranları altında konsolidide olmuş kum numuneleri üzerinde drenajsız olarak yürütülen gerilme kontrollü, tekrarlı üç eksenli deneylerde, gerilme şartlarının, artan tekrarlı yükleme sayısına uygun olarak boşluk suyu basınçlarının oluşmasını büyük ölçüde etkilediğini göstermiştir.

Dinamik yükler altında, üçkesenli hücrede anizotropik olarak konsolidide olmuş kum numunelerinde, deneysel olarak izotropik numunelere göre, düşük boşluk suyu basıncı ve dolayısı ile daha küçük hacimsal deformasyonlar izlenmektedir. Deneysel olarak gözlenen bu duruma bir kuramsal yorum getirilmektedir.

GİRİŞ

Farklı başlangıç gerilme şartları altında kumların depremle sırası dinamik davranışını ve sivilaşma özelliklerini tespit etmek için çok sayıda araştırma yapılmıştır (Ref. 2-12). Fakat, farklı tariflerde ve bakış açılardındaki belirli çelişkiler hâlâ mevcuttur.

Hatta izotropik konsolidide numunelere tatbik edildiğinde bile "Sivilaşma" terimi halen tartışımalıdır. Örneğin, Prater (1980)'e göre "Doygun Bir Kum Numune (Dr=% 70) Sınırlı Deformasyon Potansiyeli ile Sivilaşır". Casagrande

*Japon "Soils and Foundation" Mecmuası, Mart 1983, Sayı 231, Tokyo "İngilizceden" Çevrilmiştir.

İTÜ, İnşaat Fakültesi, Geoteknik Anabilim Dalı.

(1976)'ye göre ise izotropik konsolide numunede, tekrarlı boşluk suyu basıncının, sınırlayıcı (çevre) basınçca yaklaşmasını veya eşit olmasını düşünmek normal olarak mümkün değildir.(2).

Anizotropik konsolidasyonlu üç eksenli numunelere "Başlangıç Sıvılaşması" kavramı uygulanırken de, bu kavramın ayrıntılı olarak açıklığa kavuşturulmalıdır (4.9).

Tabii veya yapay zemin tabakalarında, sükUNETTEKİ YATAY EFEKTİF GERİLMEler, DÜSEY EFEKTİF GERİLMEİN YAKLAŞIK 0.35 İLE 0.65 KATı ARASINDADIR. FAKAT bu değer, aşırı konsolidasyon derecesi, kompaksiyon enerjisi ve stabilizasyon miktarı ile 1.0'ın üzerine çıkabilir. Yapay hidrolik dolgularda ve arazi islahı yapılan sahalarda, sükUNETTEKİ YATAY TOPLAK BASıNCı KATSAYISI $K_0 = \sigma_2 / \sigma_1$, hidrostatik şartlara yakın yerlerde çok gevşek çökelmeler nedeniyle nadiren 1.0 civarında olabilir.

Arazideki gerilme şartları ile laboratuvar şartları arasındaki geçerli ve doğru bir bağıntının tayini, en önemli faktör olarak ortaya çıkmaktadır. Kohezyonsuz zeminlerde boşluk suyu basıncının artışı ve bu zeminlerin sıvılaşma davranışını çoğu zaman, laboratuvara gerilme kontrollü, tekrarlı yüklemeli üç eksenli deneylerle araştırılır. Eğer, üç eksenli deney nüümnesi, ilk önce izotropik hücre basıncı altında konsolide edilirse, tekrarlı yüklemeye, dinamik deney sırasında üç eksenli basınc ve genişleme arasındaki doğrultuda tamamen geri döner. Bir başka deyimle üç eksenli nüümnesi başlangıcta anizotropik basınc altında konsolide edildiğinde, tekrarlı yükün geri döneceği yer, dinamik gerilmenin başlangıç kayma gerilmesi oranına bağlıdır. Başlangıç kayma gerilmesinin yeterli derecede büyük değerleri için, yüklemeye izi (Çizgisi) tek hat'tır ve kayma gerilmesi geri dönüşünü ihtiva etmez. Normal konsolide tabakalarında sıvılaşma davranışını ve yerinde (in-situ) boşluk suyu basıncı oluşumun gerçekçi olarak belirlenmesi için, asal gerilme oranları $K_c > 1.5$ olarak, anizotropik konsolide nüümnelerin üzerinde, dinamik üç eksenli deneyler yapmanın uygun olduğu varsayılabılır (Casagrande, 1976).

Sıvılaşmaya yol açan oluşum sırasında ise, toplam yatay gerilmede $(1-K_0)\sigma_0$ değerinin arttığı veya azaldığına, fakat düşey yönde ise böyle bir gerilme değişiminin olmadığına dikkat edilmelidir (Ishihara ve diğerleri, 1977).

TEKRARLI ÜÇEKSENLİ DENEY SONUÇLARI

Bir çok deney sonucu (Casagrande, 1976, Castro ve Poulos, 1976; Erguvanlı, 1980; Ishihara ve diğerleri, 1977 ; Seed, 1976; Silver ve diğerleri, 1976) gevşek izotropik konsolidde nümunelerde boşluk suyu basıncının, başlangıç sıvılaşmasına sebep olacak efektif hücre basıncına çıktığını göstermiştir. ($\Delta u_{max} = \sigma'_m = \sigma'_0$). Anizotropik konsolidde üçeksenli nümuneler için ($K_c = \sigma'_{1c}/\sigma'_{3c}$) ise, tekrarlı yükler altında, nihai boşluk suyu basıncı daha önce ifade edilen şekilde artacağı ve bu basıncın başlangıç efektif hücre basıncına eşit olmadığı gözlenmektedir (Erguvanlı) (4).

$$\frac{\Delta u_{max}}{\sigma'_m} = 1 - \frac{3(K_c - 1)}{(1 + 2K_c)} \cdot \frac{1}{M} \quad (1)$$

$$(K_c > 1.5 \text{ için } M = \frac{6 \cdot \sin \phi}{3 - \sin \phi})$$

Tekrarlı yüklemeli deneyin ayrıntıları, kullanılan malzeme, ortaya çıkan boşluk suyu basıncının artış özellikleri Erguvanlı (1980), tarafından verilmiştir. Benzer bir değerlendirme Prater (1980), tarafından ileri sürülmüştür (10).

Şekil. 1, başlangıç izotropik ve anizotropik konsolidasyon şartları altında, suya doygun gevşek kum nümuneler için üç eksenli tekrarlı deneylerde boşluk suyu basıncının artışını göstermektedir.

Bu sonuçlar, en alışılmış ve dünyanın her tarafında yaygın olarak kullanılan standart, tekrarlı yüklemeli üçeksenli deneylerden elde edilen deneyel veriler ile sınırlıdır. Dinamik basit kesme deneyinden, düzlem deformasyon şartları altında elde edilecek sonuçlar ise, farklı neticeler ortaya çıkabilir ve bunların bir takım başka yorumlar gerekebilir.

ANİZOTROPIYE DAYANAN TEORİK İZAH

Yukardaki deneysel gözlemler, bazı teorik ve sayısal yorumlara ihtiyaç olduğunu işaret etmektedir. Gözlemler, fazlalık boşluk suyu basıncının başlangıç efectif hizcre basıncına eşit olması bakımından, anizotropik konsolidasyon gerilmeleri altında hazırlanmış üçeksenli numunelerde sıvılaşmanın oluşmaması, bu durumda yetersiz boşluk suyu basıncı ortaya çıktıığını ve ayrıca, bu durumda hacimsal deformasyonun, sıvılaşmanın olduğu izotropik konsolide durumındaki deformasyondan daha küçük olduğunu göstermektedir. Bu durum aşağıdaki kuramsal yorum izah edilebilir.

Zeminler için elastisite modülü, genelde gerilmeden bağımsızdır ve her yöndeki hizcre basıncı ile düzenli olarak artar.

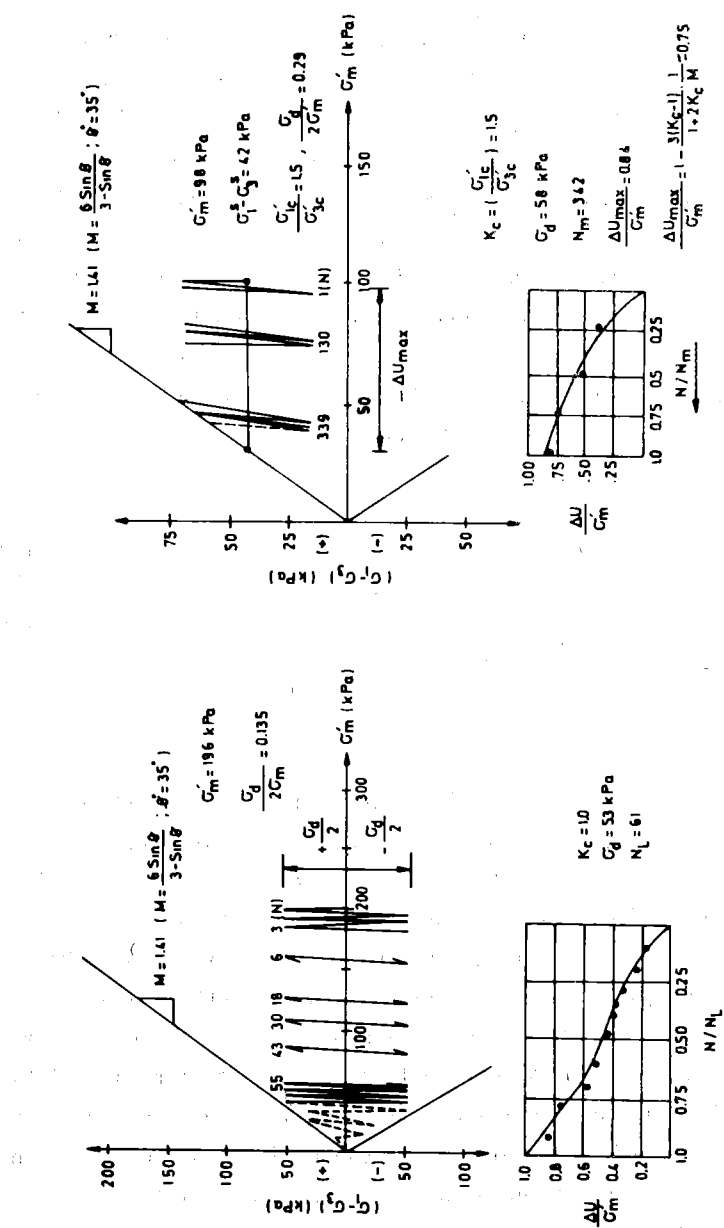
$$E = E(\sigma) \quad (2)$$

$$\frac{\partial E}{\partial \sigma} > 0 \quad (3)$$

Yukardaki eşitsizlik bir doğrultuda mevcut dana yüksek gerilmenin, bu yönde daha yüksek young modülü değeri vereceği anlamına gelir. Başlangıç konsolidasyon durumunun sonunda, boşluk suyu drene olacak yeterli zamana sahip bulunmaktadır. Bundan dolayı fazlalık boşluk suyu basıncı mevcut değildir. Bu nedenle, başlangıç hacimsal deformasyon sadece bir referans olup, boşluk suyu basıncının artmasına neden, bu durumdan sonra oluşan gerilme farkıdır. Onun için, gerilmedeki statik kısımlar σ_1^S ve σ_2^S , elastisite modülünü ve mukavemeti belirler. Fakat boşluk basınçları oluşturan üçeksenli deneyde, birbirine eşit olmayan σ_1^S ve $\sigma_2^S = \sigma_3^S$ statik basınçları altında zemin bir anizotropik numune gibi konsolide olur. Izotropik deneylerde ise statik basınçların hepsi birbirine eşittir.

$$\sigma_1^S = \sigma_2^S = \sigma_3^S = \sigma_0 \quad \text{ve} \quad (4)$$

$$E_0 = E(\sigma_0)$$



Şekil 1. İzotropik ve anizotropik olarak konsolide olmuş üç eksenli kum numunelerinde, tıkanaklı yükleme altında büyük suyu basıncının artışı

Burada, gözönühe alınan anizotropik konsolidasyonla ilgili deneylerde, $\sigma_2^S = \sigma_3^S < \sigma_1^S$ 'dir ve izotropik numunelerde uygulanan basınçlara eşit olan σ_0 ile, $\sigma_1^S + \sigma_2^S + \sigma_3^S = 3\sigma_0$ denklemi mevcuttur. Yukardaki bağıntı ve eşitsizliğin 1şığında $\sigma_1^S > \sigma_0$ ve $\sigma_3^S < \sigma_0$ eşitsizlikleri de geçerli olmaktadır.

Bundan başka, başlangıç anizotropik basınçlara maruz üçeksenli deney numuneleri için aşağıdaki bağıntılar vardır.

$$\begin{aligned} E_1 &= E(\sigma_1^S) \\ E_2 &= E(\sigma_2^S) \\ E_3 &= E(\sigma_3^S) = E_2 - \sigma_3^S = \sigma_2^S \quad \text{ifadeleri} \end{aligned} \quad (5)$$

$\sigma_1^S = \sigma_0 - (\sigma_0 - \sigma_1^S)$ ve $\sigma_2^S = \sigma_0 - (\sigma_0 - \sigma_2^S)$ özdeşlikleri ile, izotropik durumda aşağıda gösterildiği gibi, Taylor serisi açılımına sahiptir.

$$\begin{aligned} E_1 &\approx E_0 + \frac{\partial E}{\partial \sigma} |_{\sigma_0} (\sigma_1^S - \sigma_0) > E_0 \\ E_2 &\approx E_0 + \frac{\partial E}{\partial \sigma} |_{\sigma_0} (\sigma_0 - \sigma_2^S) < E_0 \end{aligned} \quad (6)$$

Tartışılan üçeksenli deneylerde, konsolidasyonun neden olduğu anizotropi, ortotropik tiptir. Bu durumda, lineer elastisite teorisindeki bağıntılar şunlardır (Lekhnitskii 1963),

$$\begin{aligned} \epsilon_1 &= \frac{\sigma_1}{E_1} - 2 \frac{v_{12}}{E_1} \sigma_2 - \frac{v_{23}}{E_2} \sigma_3 \\ \epsilon_2 &= \epsilon_3 = - \frac{v_{12}}{E_1} \sigma_1 + \frac{1-v_{23}}{E_2} \sigma_2 \end{aligned} \quad (7)$$

Yukardaki ifadelerin elde edilmesinde $E_1 v_{12} = E_2 v_{12}$ özdeşliği ve $E_2 = E_3$, $v_{23} = v_{32}$, $v_{13} = v_{12}$ eksenel simetri kullanılır.

$$\text{Dinamik gerilmelerin, } \sigma_1^d = \sigma_d \sin \omega t \quad \sigma_2^d = \sigma_2^d = 0 \quad (8)$$

olarak denklem (7)'de kullanımı, deformasyon durumunu

$$\epsilon_1 = (1/E_1) \sigma_2 \sin \omega t$$

$$\epsilon_1 = \epsilon_2 = - \frac{v_{12}}{E_1} \sigma_d \sin \omega t \quad (9)$$

olarak verir. Bundan dolayı hacimsal deformasyon

$$\Delta v = \frac{1-2v_{12}}{E_1} \sigma_d \sin \omega t \text{ 'dir.} \quad (10)$$

Benzer şekilde izotropik durum için $\Delta v = \frac{1-2v_0}{E_0} \sigma_d \sin \omega t$ (11) elde ederiz. Burada "0" indisi izotropik durumu belirler.

Anizotropik durum için, yukarıda olduğu gibi, E_1 'in ifadelerde yerdeğiştirilmesiyle, hücre basıncı ile sınırlı başlangıç durumundan olan hacimsal deformasyonlar

$$\Delta v = \frac{\frac{1-2v_{12}}{E_0} \left\{ 1 - \frac{1}{E_0} - \frac{\partial E}{\partial \sigma} \Big|_{\sigma_0} (\sigma_1^s - \sigma_0) \right\}}{\sigma_d \sin \omega t} \quad (12)$$

Poisson oranlarının ise küçük bir aralıkta değiştiği ve hücre basınçlarına karşı hassas olmadığı düşünülebilir. Bundan dolayı yaklaşık olarak $v_{12} = v_{23} = v_0$ olarak alınması ve (12) denkleminin (11) denklemi ile karşılaştırılması,

$$\frac{\Delta v}{\Delta v_0} = \frac{1}{1 + \frac{1}{E_0} - \frac{\partial E}{\partial \sigma} \Big|_{\sigma_0} (\sigma_1^s - \sigma_0)} < 1 \quad (13)$$

denklemi ortaya çıkar.

Yukardaki analiz, anizotropik gerilme durumu için Üçekseli numunelerde hacimsal deformasyonun, izotropik gerilme durumundaki deformasyondan daha küçük olduğunu açıkça göstermektedir.

Elastisite modülünün, kohezyonsuz zeminler için, denklem (2)'de belirtilen sınırlayıcı gerilmeye bağlı oluşu, aşağıdaki ifadeyle tanımlanıldığı deneyel olarak göstermektedir.

$$E = k P_a \left(\frac{\sigma_0}{P_a} \right)^n \quad (14)$$

Burada σ_0 = ortalama sınırlayıcı basınc

P_a = Atmosferik basınc

k ve n = Sabitler

dir.

Bu ifade kullanılarak denklem (13) tekrar,

$$\frac{\Delta v}{\Delta v_0} = \frac{1}{1 + n (\sigma_1^s / \sigma_0 - 1)} < 1 \quad (15)$$

olarak yazılabilir.

Bu incelemede kullanılan kur için, denklem (14)'deki "n" üssünün 0.80'e eşit olduğu kabul edilirse, böylece Şekil. 1'de gösterilen sonuçlar için $\sigma_1^s / \sigma_0 = 1.5$ olarak, (15) denklemi ile

$$\frac{\Delta v}{\Delta v_0} = 0.81$$

elde edilirki, bu değer Üçekseli tekrarlı yükleme altında ölçülen nina beşlik suyu basıncı artışı ile tutarlı görülmektedir.

Anizotropik konsolide üçeşenli numunelerin, bu daha küçük hacimsel değişim eğilimi, izotropik konsolide ile karşılaştırıldığında daha düşük bir boşluk suyu basıncı artışını içerir. Bu, geri dönüşlü kayma gerilmesi olmadan anizotropik başlangıç statik gerilme şartları altında dinamik yüklerle maruz bırakılmış numuneler için sıvılaşma gözlemi eksikliğinin bir izahı olabilir.

SONUÇLAR

Deneysel araştırmalar, numune hazırlanması sırasında anizotropik konsolidasyon basınçları nedeniyle başlangıç kayma gerilmeleri bulunuşun, daha dengeli ve daha az hareketli bir zemin yapısı meydana getirdiğini (aynı ortalama gerilme (σ_m') altındaki izotropik konsolidasyonla karşılaştırıldığında) ve anizotropik konsolidasyon şartları altındaki zeminlerin, (kayma gerilmelerinin geri dönüşme derecesine bağlı olarak) başlangıç sıvılaşmasına karşı daha dirençli olduğunu göstermiştir.

Yapılan izahat elbetteki depremler sırasında oluşabilecek sıvılaşmanın teorik tahmini ile ilgiliidir. Sonuç olarak da, anizotropik konsolide kum numunelerde, tekrarlı üçeşenlik yükleme şartları altında, artan hacimsel deformasyonun ve dolayısı ile boşluk suyu basıncının, izotropik konsolide numunelere göre daha küçük olduğunu ifade etmektedir.

Bu bir başka deyimle, eşit statik ortalama bu basınçlar ve dinamik yükler altında, anizotropik konsolide kumların izotropik olarak konsolid olmuş kumlara göre, depremler sırasında sıvılaşmaya daha az eğilimli olduğu ifade edilebilir.

KAYNAKLAR

- 1- Aşkar, A.(1981), Personal Communication, Bosphorus University, Istanbul, Turkey.
- 2- Casagrande, A. (1976), "Liquefaction and cyclic deformation of sands A critical review, Harvard Soil Mechanics Series No. 88, Harvard Univ. Cambridge-Mass., U.S.A.
- 3- Castro, G. and Poulos, J.(1976), "Factors affecting liquefaction and cyclic mobility, ASCE National Convention on Liquefaction Problems in Geotechnical Engineering, Philadelphia, Pa., U.S.A., Sept. 27 Oct. 1, ASCE Preprint 2752.
- 4- Erguvanlı, Â.(1980), "Effect of anisotropic consolidation on liquefaction "Proceedings of 7 th WCEE, Istanbul, Turkey, Vol. 3, pp. 160-167,
- 5- Finn, W.D.L., Lee, K.W., Maariman, C.H. and Lo, R.(1978), "Cyclic pore pressures and anisotropic conditions," Proc. of ASCE Geotechnical Eng. Speciality Conf., June 19-21,Earthquake Eng. and Soil Dynamics., Vol. 1, Pasadena Cal., U.S.A. pp. 457-470.
- 6- Ishihara, K., Iwamoto, S., Yasuda, S. and Takatsu, H.(1977), "Liquefaction of anisotropically consolidated sand," Proc.IX W.C. SMFE, Tokyo, Vol.2, pp.261-264.
- 7- Lekhnitskii, S.G.(1963), Theory of Elasticity of an Anisotropic Elastic Body, Holden Day Inc., SF, U.S.A.
- 8- Özaydın, K. and, Erguvanlı, Â.(1980), "The generation of pore pressures in clayey soils during earthquakes," proceedings of 7 th WCEE, Istanbul, Turkey, Vol. 3., pp.326-330.
- 9- Prater, E.G. (1980), "On the interpretation of cyclic triaxial test data with application to seismic behaviour of fill dams," Proc. International Symposium on Soils Under Cyclic and Transient Loading. Swansea., 7-11 January., U.K., Vol.2, pp.495-508

- 10- Prater, E.G. (1980), "Cyclic shear resistance of non cohesive soils," Technical Note, ASCE Journal of Geotechnical Eng'g Div., Vol. 106, GT 1, pp. 11-116.
- 11- Seed, H.B. (1976), "Evaluation of soil liquefaction on level ground during earthquakes, State-of-the Art Paper, ASCE National Convention on Liquefaction Problems in Geotechnical Engineering, Philadelphia, Pa., U.S.A. Sept. 27-Oct. 1, ASCE Preprint 2752.
- 12- Silver, M., Chan, C., Ladd, R., Lee, K., Tiedemann, D., Townsend,F., Valera, J. and, Wilson,J. (1976), "Cyclic triaxial strength of Standard sand," ASCE Journal of the Geotechnical Eng'g Division. Vol. 102, GT 5. pp. 551-553.
- 13- Wenshao, W. (1980), "Some Findings in soil liquefaction," Proc. of International Symposium on Soils under Cyclic and Transient Loading, Invited. Lecture, Swansea, 7-11, Jan., U.K.

1982 YILI BATI TÜRKİYE DEPREM ETKİNLİĞİ

N. Sancaklı, E. Başarır, E. Ayhan, E. Alsan L. Tezuçan,
S. B. Üçer, E. Kasnak, (x)

SUMMARY

The seismic activity of Western Turkey has been investigated for the year 1982. 1091 earthquakes have been located between 35° - 42° north latitudes and 25° - 32° east longitudes. The data used in this study were obtained from Anatolian seismic network and a telemetered network (MARNET). Both network run by Boğaziçi University Kandilli Observatory.

The data have been processed by a computer programme using Herrin's traveltimes. Depths are restricted to 0 km. Signal durations have been used for magnitude determinations.

The listing of earthquakes contains, data (day, month, year), origin time (GMT), latitude, longitude, magnitude, root mean square of residuals (RMS), number of arrivals (NA), quality of solutions and capital letter G for the doubtful events, respectively.

Epicentre maps were drawn according to the magnitude and the solution quality of earthquakes. Monthly maps have good, fair and poor solution qualities and annual map has only good solutions.

In 1982, the main activity centers were :

Emet, Germlik bay - Soma - Kırkağaç - Akhisar, Savaştepe, Bigadiç, Biga, Çandarlı - Foça, Mürefte, Tekirdağ - Marmara Ereğlisi and North west of Lesbos Island.

ÖZET

Boğaziçi Üniversitesi Kandilli Rasathanesince çalıştırılan Anadolu deprem istasyonları ağı ve Marmara bölgesi radyo bağlantılı deprem istasyonları ağı verilerinin kullanılması ile yapılmış olan bu çalışmada 1982 yılı için Batı Türkiye'deki (25.00° - 32.00° E. boyamları ile 35.00° - 42.00° N. enlemleri arasındaki bölge.) deprem etkinliği araştırılmıştır.

(x) Boğaziçi Üniversitesi Kandilli Rasathanesi
Sismoloji Servisi

1982 yılında 1091 adet depremin çözümü yapılmış olup, epäsentir davranışlarının incelenmesi sonucunda aşağıdaki etkinlik alanları belirlenmiştir.

Emet, Gemlik Körfezi, Soma - Kırkağaç - Akhisar, Savaştepe, Bigadiç, Biga, Çandarlı - Foça, Mürefte, Tekirdağ - Marmara Ereğlisi ve Midilli Adasının kuzeybatısı.

GİRİŞ

Boğaziçi Üniversitesi Kandilli Rasathanesi tarafından çalıştırılmakta olan Anadolu deprem istasyonları ağı ve Marmara bölgesi radyo bağlantılı deprem istasyonları ağı verilerinin değerlendirilmesi sonucunda ortaya çıkan bu çalışmada, 1982 yılı Batı Türkiye Deprem Etkinliği'nin belirlenebilmesi için deprem parametreleri (oluş zamanı, epäsentir koordinatları ve magnitüd) hesaplanmıştır.

Deprem parametrelerinin hesaplanmasına ait yöntemler geniş olarak daha önceki çalışmalarında (S. B. Ücer ve diğerleri 1977, 1980) açıklanmış olduğundan bu çalışmada yöntemler ile ilişkili kısa bir açıklama değerlendirme bölümünde verilmiştir.

Bu yıl içinde Anadolu deprem istasyonlarından MENGEN (MGN)'ın faaliyeti 1 Haziran 1982 tarihinde durdurulmuş, bu istasyonun yerine Karadeniz Ereğlisi (KDE) deprem istasyonu 9 Temmuz 1982 tarihinde çalıştırılmaya başlanmıştır. Marmara bölgesi radyo bağlantılı deprem istasyonlarından BAKACAK (BKT)'nın de faaliyeti 18 Haziran 1982 tarihinde durdurulmuş olup, bu istasyonun yerine Yalova (YLV) deprem istasyonu 10 Eylül 1982 tarihinde çalıştırılmaya başlanmıştır. Her iki istasyona ait bilgiler aşağıda verilmektedir.

İstasyon Adı	Koordinatları		Deniz Seviyesinden Yüksekliği
	Enlem	Boylam	
Karadeniz Ereğlisi (KDE)	41°17'20"	31°25'30"	289 m.
Yalova (YLV)	40°34'00"	29°22'22"	824 m.

Deprem istasyonlarındaki sismograf sistemlerinin büyütmelerindeki 1982 yılına ait değişiklikler şekil 1 a-b-c de gösterilmiştir. Deprem istasyonlarının yıl boyunca çalışma durumları ise şekil 2 a-f de verilmiştir. Bu arada boş bırakılan yerler arıza ve diğer nedenlerle istasyonun çalışmadığı veya değerlendirilemeyecek nitelikte kayıt alınmadığı günleri belirtmektedir.

DEĞERLENDİRME

1982 yılında Batı Türkiye'de oluşmuş depremlere ait parametreler daha önceki yıllarda olduğu gibi yine bilgi sayar ile hesap edilmiştir. Geniş açıklaması daha önceki çalışmalar (S. B. Üçer ve diğerleri 1977, 1980) verilmiş olan bu program :

1- Depremi öncelikle kaydeden üç istasyondaki ilk P varışları ile en yakın istasyondaki S dalgası varışından hareketle yaklaşık episantır'ın koordinatları ve yaklaşık oluş zamanının hesaplanması,

2- Bu yaklaşık deprem parametrelerinden hareketle ve diğer istasyon verilerinin de ilavesiyle elde edilen istasyon denklemlerinin en küçük kareler yöntemiyle çözümlenip, gözlenen ilk varışlar ile hesaplanan teorik varışlar arasındaki farkı ifade eden rezidüellerin (R) bir iterasyon yöntemiyle minimuma indirilmesi esasına dayanır. Herrin (1968) tarafından verilen kabuk modeli kullanılmaktadır. Ancak gerek Batı Anadolu kabuk yapısının tam olarak bilinmemeyip yaklaşık bir hız modeli kullanılması ve gerekse veri sayısının az olması, odak derinliğine güvenirliği azaltmaktadır ve böylece odak derinlikleri verilmemektedir. Deprem magnitüdleri ise depremin kayıt üzerindeki devam süresine bağlı olarak geliştirilmiş istasyonlara ait magnitüd denklemlerinden hesaplanmaktadır.

1982 yılı boyunca 1091 adet depremin çözümü yapılmış olup, bunlardan 776 sı çözüm güvenirliği iyi (A), 205 adedi orta (B) ve 110 adedi zayıf (C) olan çözümlerdir. Deprem listelerindeki (Liste 1) bilgiler sırasıyla gün, ay, yıl, oluş zamanı (GMT), kuzey enlem ve güney boylamı olarak episantır koordinatları, süreye bağlı magnitüd ve magnitüd tayininde kullanılan veri sayısı, gözlenen ve teorik varışlar arasındaki zaman farklarının ortalama karekök hatası (RMS), çözümde kullanılan veri sayısı (NA) ve çözüm güvenirliği olarak verilmiştir. Liste'nin en son sütunundaki G sembolü ise sonucun bilgisayar çözümleri içinden bir yorum yapılarak seçilmiş sonuç olduğunu belirtir. Bu konu ile ilgili geniş bilgi (E. Ayhan ve diğerleri 1983) de verilmiştir.

Sismik etkinlik aylık (Harita 1 a-L) ve yıllık (Harita 2) haritalarda gösterilmiştir. Ancak yıllık haritada iyi çözümler (A), aylık haritalarda ise her üç güvenirlikte olan çözümler (A, B, C) gösterilmiştir. Haritalarda kullanılan, çözümün güvenirliğine ve magnitüde bağlı semboller Harita 1'a da gösterilmiştir.

SONUÇ

1982 yılında Batı Türkiye ve civarında oluşan ve episantır çözümleme yapılabilen depremlerin harita üzerindeki dökümlerinin belirlediği

deprem etkinliği bölgeleri aşağıdaki gibidir.

1. Emet Deprem Etkinliği :

Ocak ayından itibaren oluşan depremlerle belirginleşen bu etkinlik aynı ay içinde en yoğun safhasına ulaşmış olup Mayıs ayından itibaren etkisini bir hayli yitirerek yıl sonuna kadar sürmüştür. Gözlenen en yüksek magnitüd değeri 3.9 dır.

2. Gemlik Körfezi Deprem Etkinliği :

Bu etkinlik Mayıs ayında başlayıp Ağustos ayı sonuna kadar sürmüştür. Etkinlik boyunca gözlenen en yüksek magnitüd 4.3 dır.

3. Soma - Kırkağaç - Akhisar Deprem Etkinliği :

Ocak ayından itibaren Soma- Kırkağaç dolaylarında gözlenmeye başlayan etkinlik Mayıs ayına kadar bir azalma gösterdikten sonra bu ay içinde Kırkağaç ve Akhisar'da oluşan depremlerle yeniden yoğunluk kazanmıştır. Haziran, Temmuz aylarında her üç yörende gözlenen depremler devam ederek Ağustos ayında en yoğun safhasına ulaştıktan sonra etkinliği azalarak yıl sonuna kadar devam etmiştir. Gözlenen en yüksek magnitüd değeri 3.4 dır.

4. Savaştepe Deprem Etkinliği :

Yıl boyunca bu bölgede aylık oluş frekansı düşük bir etkinlik gözlenmiştir. Bu etkinliğin en yüksek magnitüdü 3.3 dır.

5. Bigadiç Deprem Etkinliği :

Aralık ayı sonunda gözlenmiş olan bu etkinliğin en yüksek magnitüdü 4.0 dır.

6. Biga Deprem Etkinliği :

Mayıs ayı boyunca yoğunluk gösteren bu etkinlikte en yüksek magnitüd 3.6 dır.

7. Çandarlı- Foça Deprem Etkinliği :

Mart ayında Çandarlı'da gözlenmeye başlayan etkinlik Nisan ayında Foça'da yoğunluk göstermiştir. Mayıs, Haziran aylarında durgunlaşan etkinlik Temmuz ayında tekrar frekansını artırdıktan sonra Ağustos ayı sonunda etkisini yitirmiştir. Gözlenen en yüksek magnitüd değeri 4.3 dır.

8. Mırefte Deprem Etkinliği :

Şubat ayından itibaren oluşan depremlerle yıl sonuna kadar gözle-
nen etkinliğin nispeten yoğun olduğu aylar Temmuz ve Kasım olup,
gözlenen en yüksek magnitüd değeri 3.4 dır.

9. Tekirdağ - Marmara Ereğlisi Deprem Etkinliği :

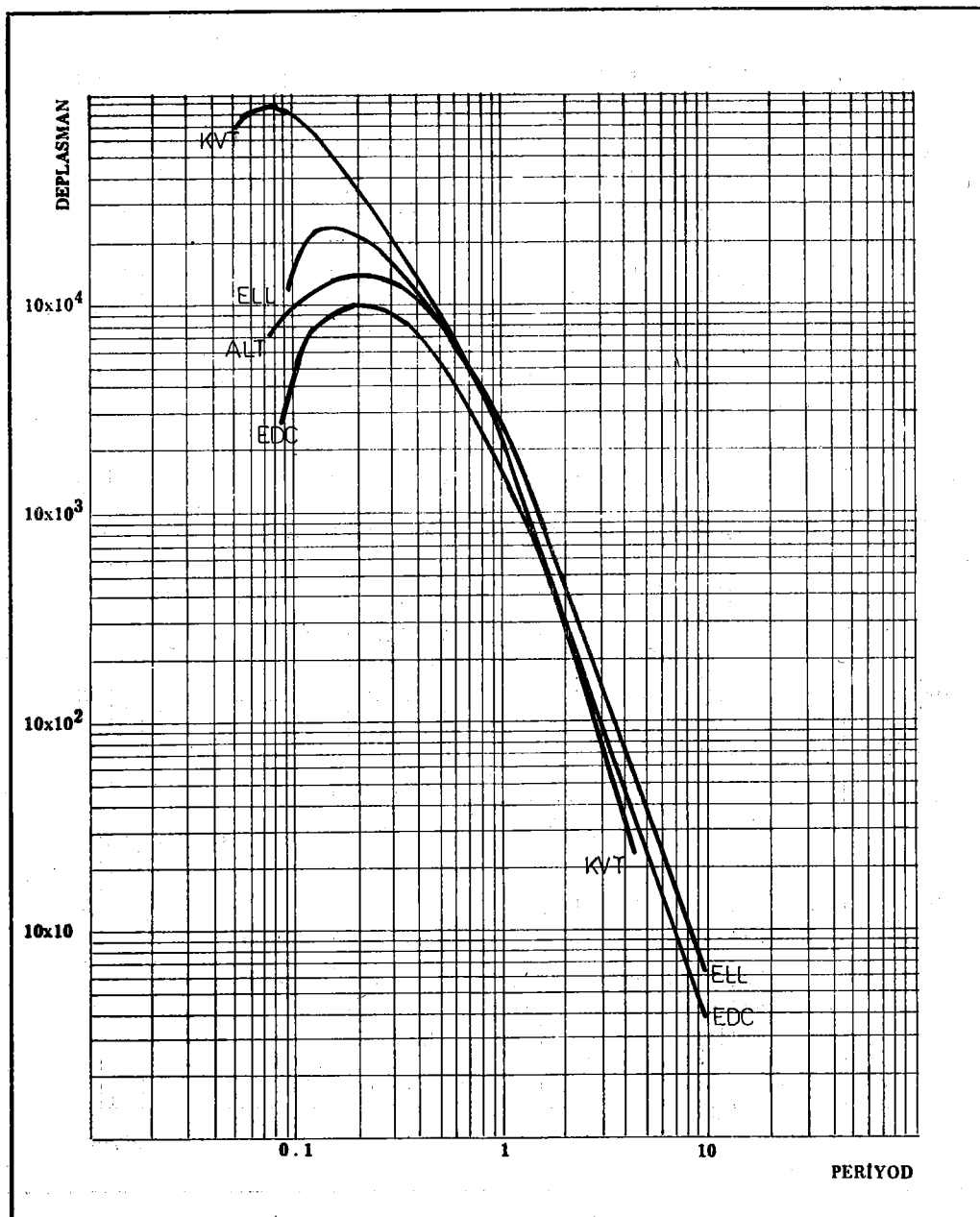
Temmuz ayında yoğunluk kazanmış olan etkinlikte gözlenen en yük-
sek magnitüd değeri 4.1 dır.

10. Midilli Adasının Kuzey Batısındaki Deprem Etkinliği :

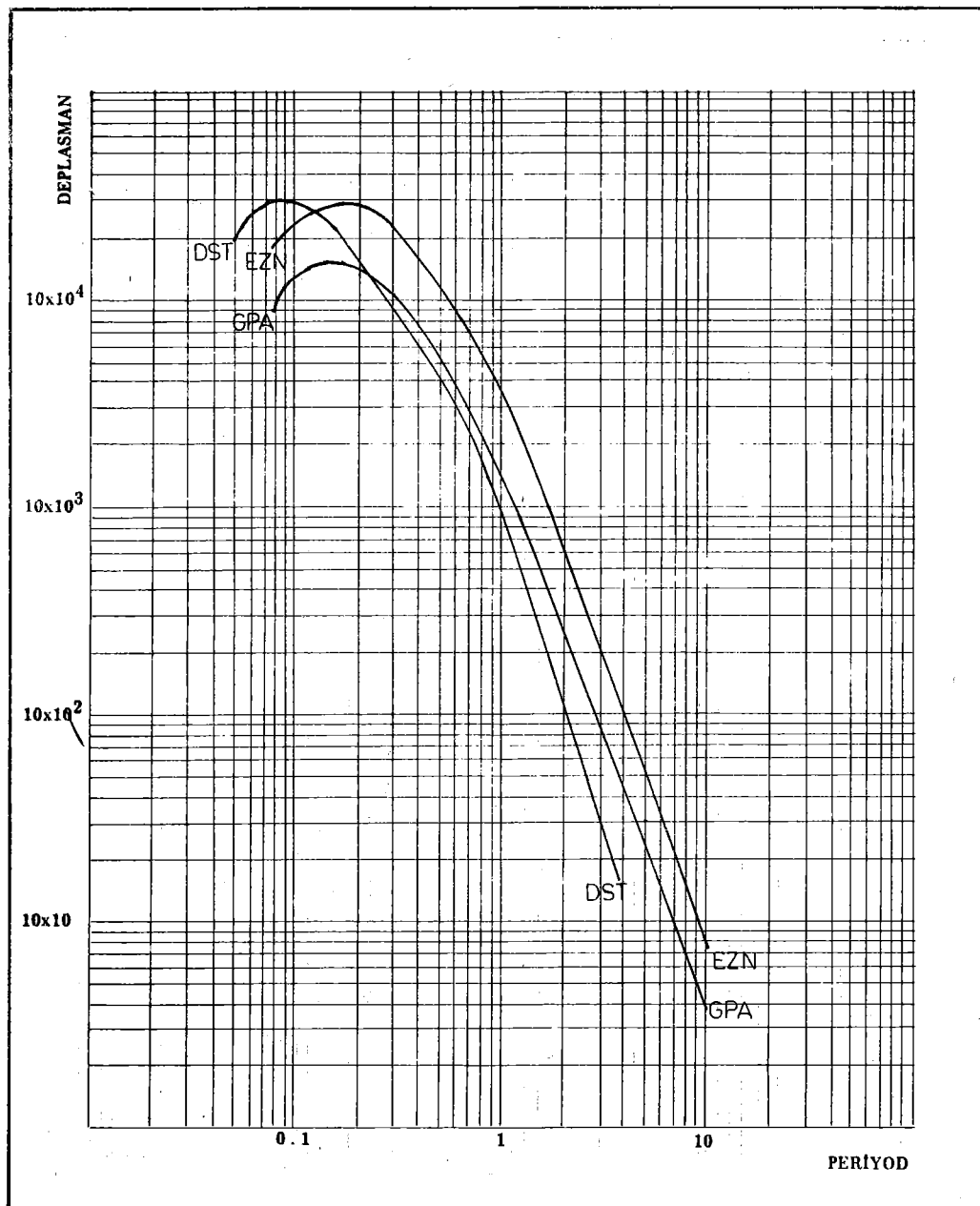
19 Aralık 1981 tarihinde $M_b = 6.2$ (NEIS) magnitüdünlü depremle baş-
layan etkinlik 1982 yılının Nisan ayında oldukça yoğun bir döneme gi-
rerek yıl sonuna kadar sürmüştür. Gözlenen en yüksek magnitüd 4.6
dir.

YARARLANILAN KAYNAKLAR :

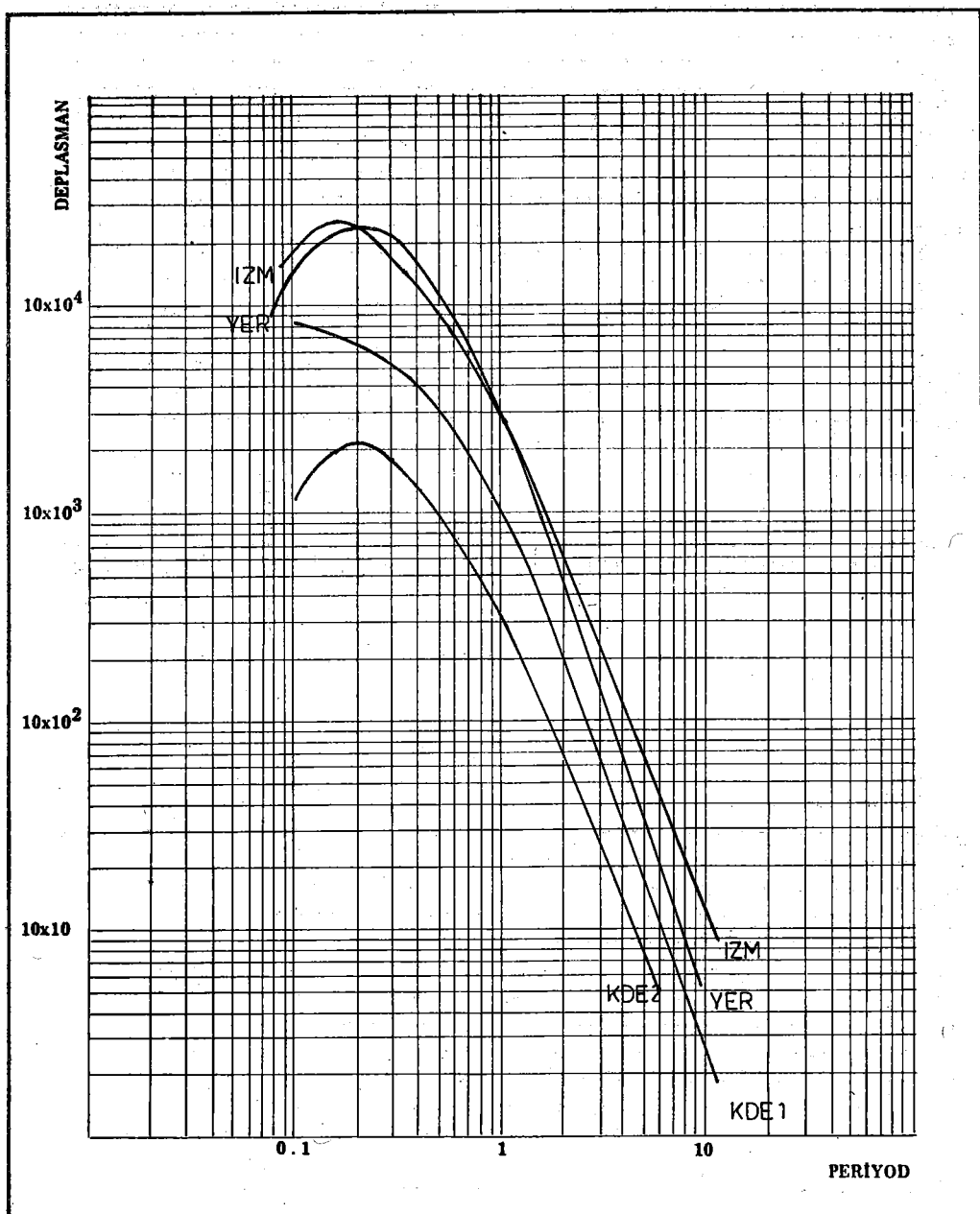
- 1- Üçer, S. B., E. Alsan, N. Ulusan, E. Başarır, E. Ayhan, L. Tezuçan, C. Kaptan (1977). "Batı Türkiye'de Deprem Etkinliği (Eylül - Aralık 1976)" Deprem Araştırma Enstitüsü Bülteni, Sayı 19, Ekim 1977.
- 2- Üçer, S. B., E. Ayhan, N. Ulusan, L. Tezuçan, E. Alsan, E. Başarır (1979). "Batı Türkiye'de Deprem Etkinliği (Ocak - Ağustos 1976)" Deprem Araştırma Enstitüsü Bülteni, Sayı 27, Ekim 1979.
- 3- Alsan, E., L. Tezuçan, E. Başarır, E. Ayhan, N. Ulusan, S. B. Üçer (1980). "1977 Yılı Batı Türkiye Deprem Etkinliği", Deprem Araştırma Enstitüsü Bülteni, Sayı 29, Nisan 1980.
- 4- Başarır, E., L. Tezuçan, E. Alsan, E. Ayhan, N. Ulusan, S. B. Üçer (1980). "1978 Yılı Batı Türkiye Deprem Etkinliği", Deprem Araştırma Enstitüsü Bülteni, Sayı 30, Temmuz 1980.
- 5- Üçer, S. B., E. Ayhan, E. Başarır, E. Alsan, N. Sancaklı, L. Tezuçan (1980). "1979 Yılı Batı Türkiye Deprem Etkinliği", Deprem Araştırma Enstitüsü Bülteni, Sayı 31, Ekim 1980.
- 6- Tezuçan, L., E. Ayhan, E. Başarır, E. Alsan, S. B. Üçer, N. Sancaklı (1982). "1980 Yılı Batı Türkiye Deprem Etkinliği", Deprem Araştırma Enstitüsü Bülteni, Sayı 36, Ocak 1982.
- 7- Ayhan, E., E. Alsan, E. Başarır, S. B. Üçer, L. Tezuçan, N. Kafadar, E. Kasnak (1983). "1981 Yılı Batı Türkiye Deprem Etkinliği", Deprem Araştırma Enstitüsü Bülteni, Sayı 41, Nisan 1983.



Şekil 1 a

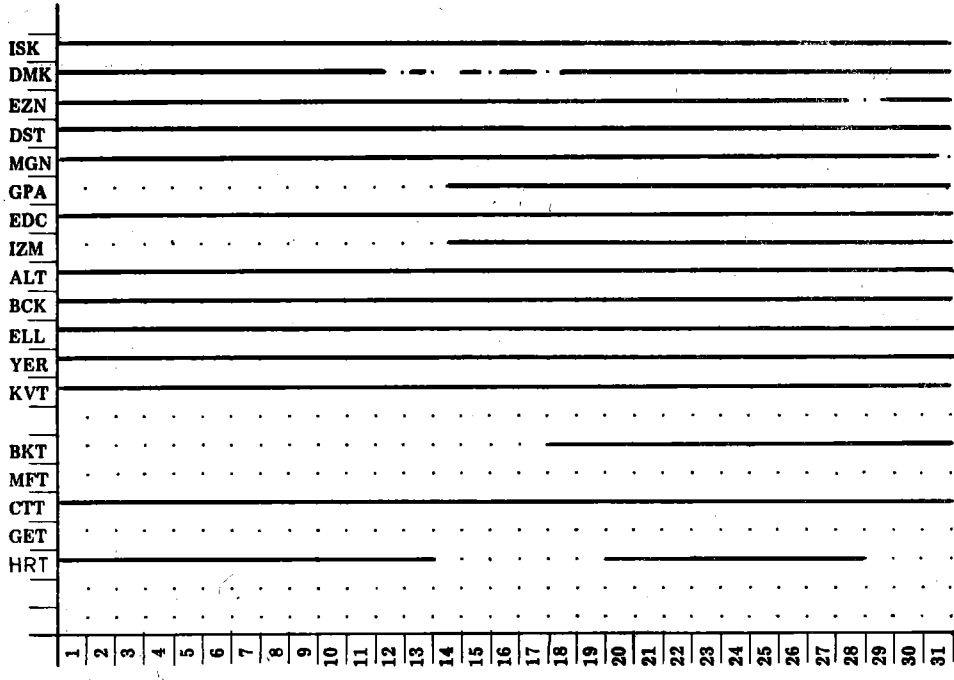


Şekil 1 b

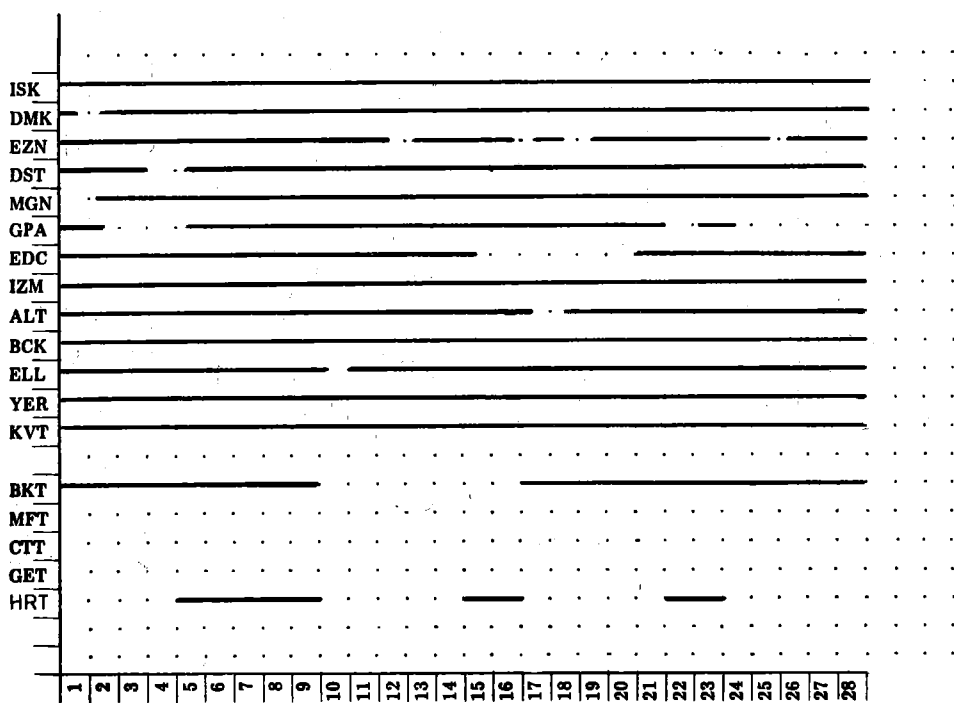


Şekil 1 c

KDE1 9-7-1982
KDE2 23-12-1982

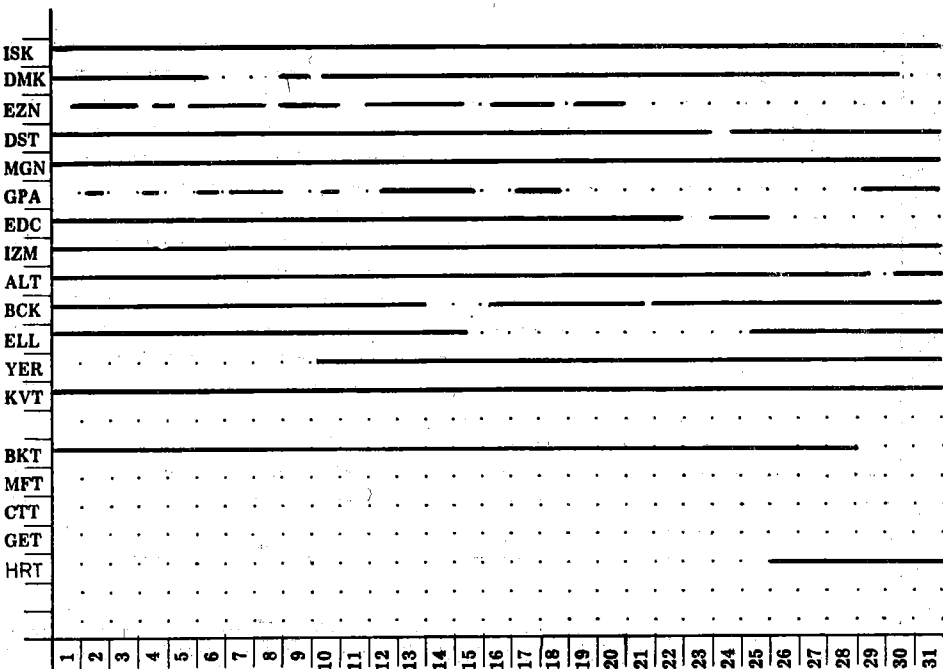


OCAK 1982

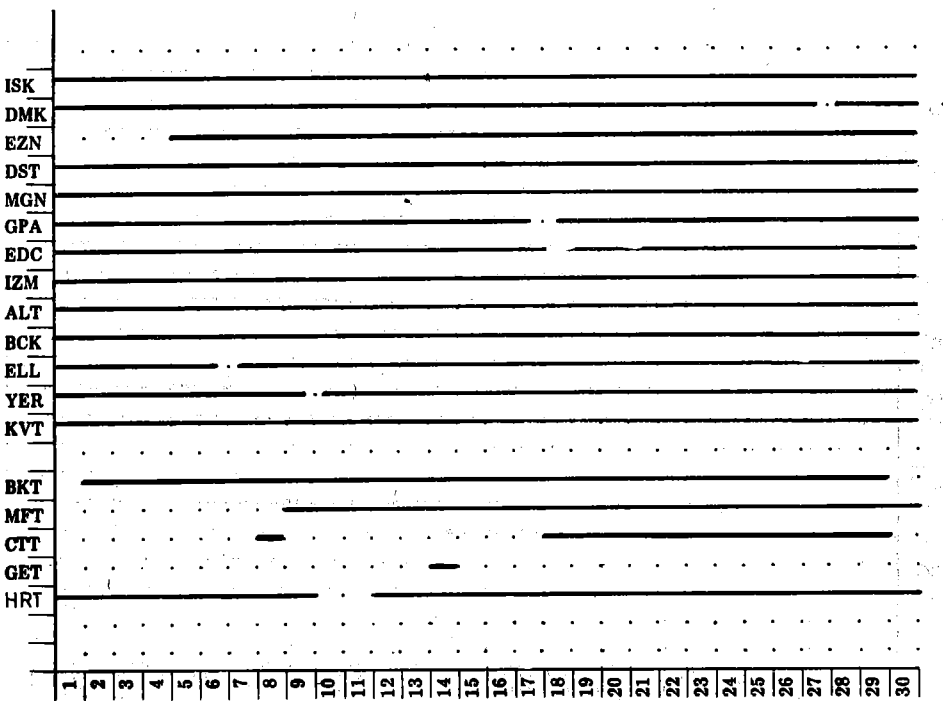


Şekil 2 a : İstasyonların çalışma durumları

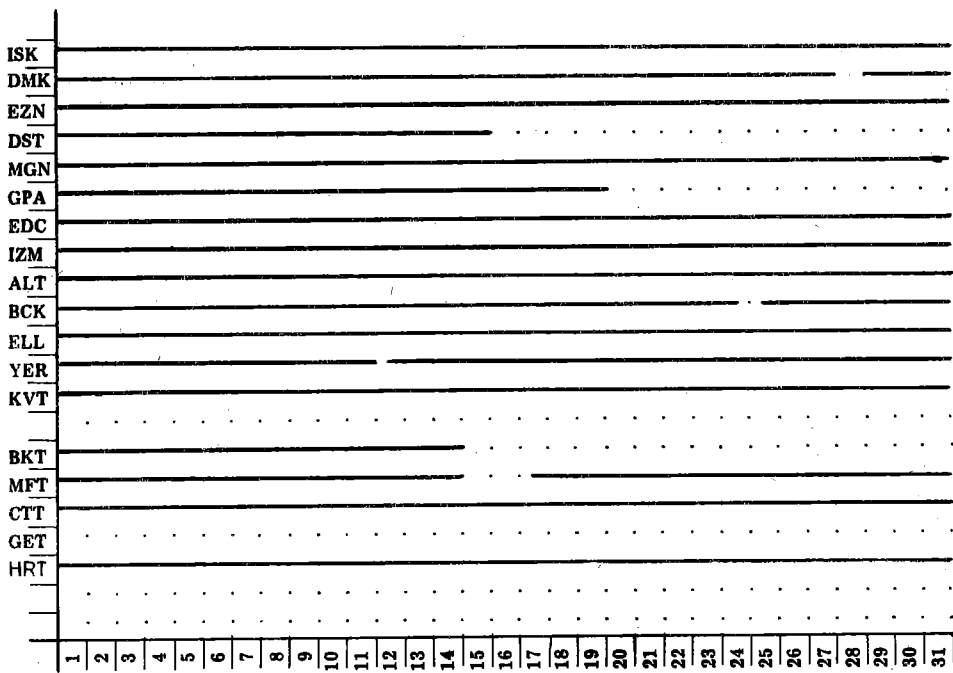
ŞUBAT 1982



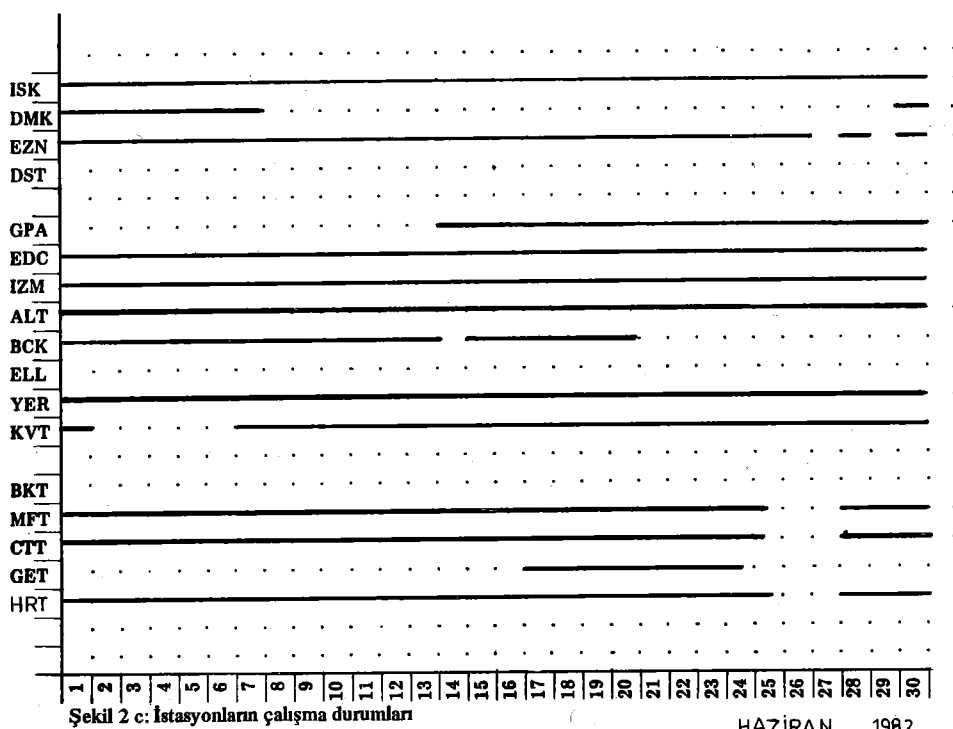
MART 1982



Şekil 2 b: İstasyonların çalışma durumları NİSAN 1982

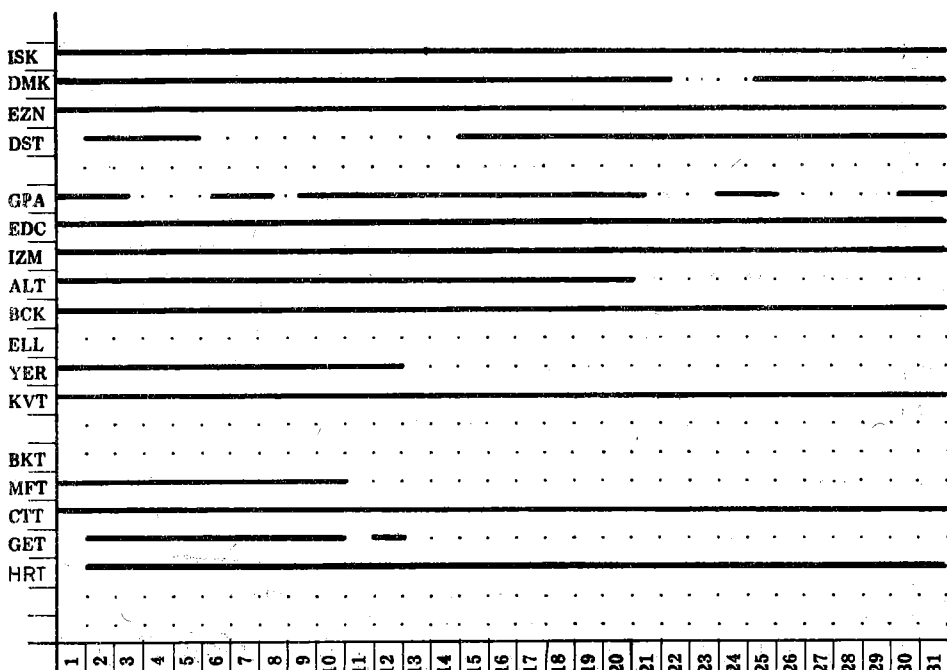


MAYIS 1982

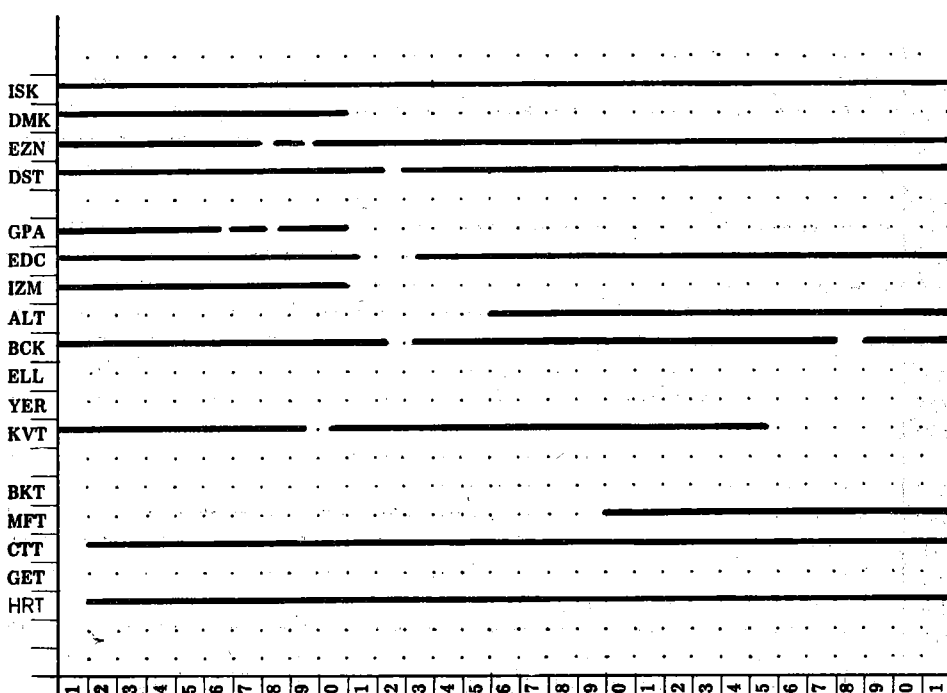


Şekil 2 c: İstasyonların çalışma durumları

HAZİRAN 1982

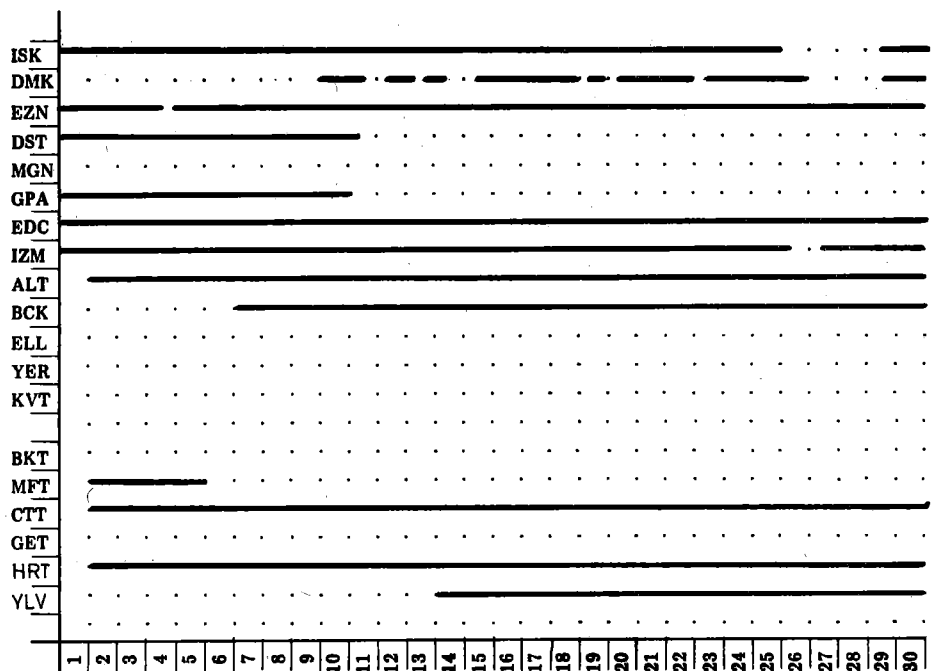


TEMMUZ 1982

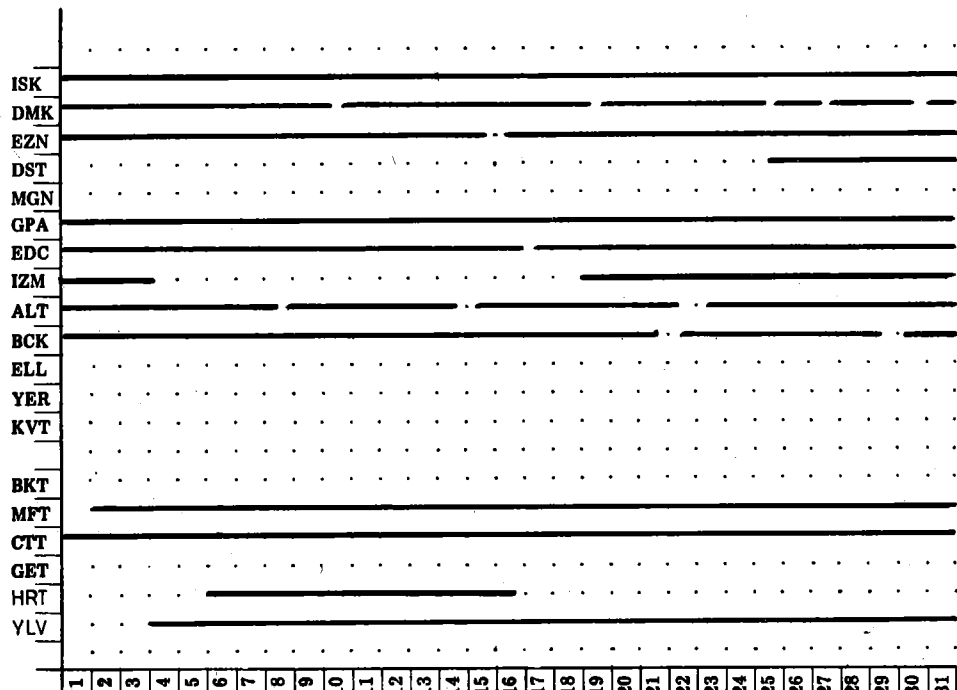


Şekil 2 d: İstasyonların çalışma durumları

AĞUSTOS 1982

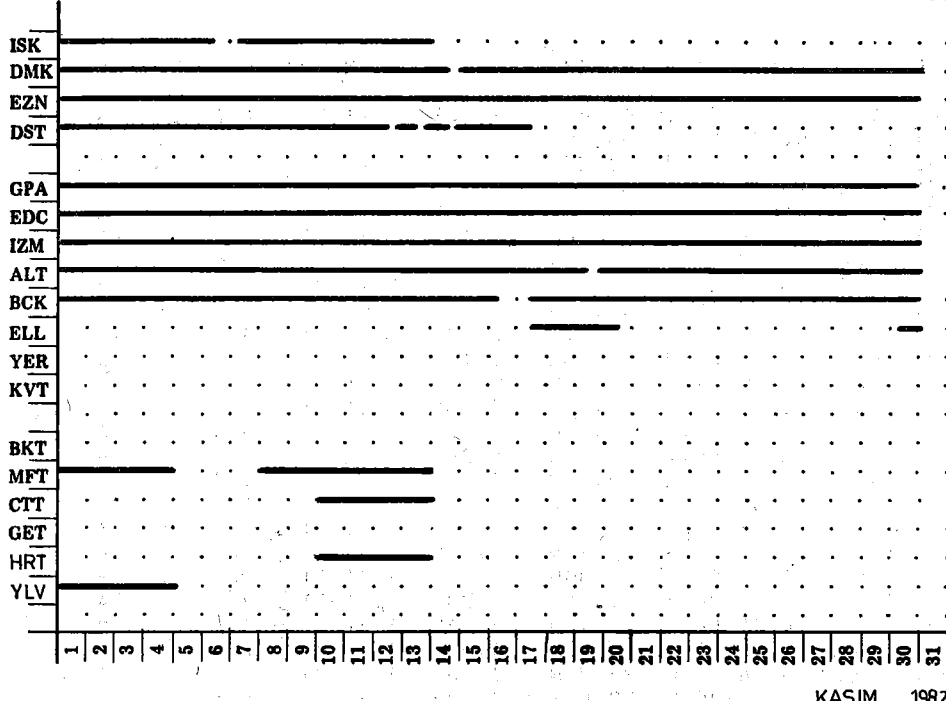


EYLÜL 1982



Şekil 2 e: İstasyonların çalışma durumları

EKİM 1982



TARIH	OLUS ZAMANI	ENLEM	DOYLAM	MAGNİTUD	RMS	NA	KALİTE
01 01 1982	02 53 53.8	39.41N	29.06E	3.4(5)	1.2	10	A
02 01 1982	00 56 28.6	40.28N	27.63E	2.1(2)	0.9	5	A
03 01 1982	19 24 31.7	39.25N	28.83E	3.1(4)	1.1	8	A
04 01 1982	14 25 27.6	40.10N	29.54E	2.4(2)	0.3	5	A
05 01 1982	08 25 28.0	39.30N	28.60E	2.5(1)			C
05 01 1982	08 59 17.0	39.50N	25.90E	3.4(2)			C
05 01 1982	15 53 17.1	39.66N	28.28E	3.8(6)	2.0	11	A
05 01 1982	23 49 25.8	39.63N	28.54E	3.1(2)	0.9	5	A
06 01 1982	02 07 54.4	40.30N	27.28E	3.5(4)	1.6	11	A
06 01 1982	13 50 40.1	39.27N	28.97E	2.3(2)	3.9	5	C
06 01 1982	18 23 02.0	39.20N	29.10E	2.3(2)			G
06 01 1982	22 50 44.8	39.46N	29.17E	3.0(4)	1.8	9	A
06 01 1982	22 54 39.6	39.12N	29.08E	2.4(3)	2.9	7	B
07 01 1982	21 30 43.9	40.54N	27.92E	2.4(2)	0.9	5	A
08 01 1982	12 43 45.2	39.70N	28.34E	3.2(3)	1.6	9	A
09 01 1982	04 40 40.2	38.94N	27.40E	3.2(3)	1.2	6	A
09 01 1982	09 57 18.1	41.13N	29.77E		1.5	6	B
09 01 1982	10 26 35.2	39.35N	27.67E	3.2(3)	1.0	9	A
09 01 1982	10 48 21.3	39.43N	28.88E	3.2(4)	1.8	10	A
09 01 1982	18 46 56.6	37.80N	28.58E	4.2(7)	1.3	8	A
09 01 1982	19 20 06.5	37.98N	28.80E	3.4(3)	0.5	5	A
09 01 1982	19 24 08.7	37.77N	28.64E	3.8(6)	3.3	10	A
10 01 1982	14 15 47.7	39.24N	29.15E	2.7(2)	1.1	7	A
10 01 1982	18 10 25.0	36.70N	28.40E	3.6(3)			G
10 01 1982	18 46 05.9	39.08N	28.87E	2.6(3)	1.5	6	A
12 01 1982	03 08 38.8	39.38N	25.44E	4.0(4)	0.7	9	A
12 01 1982	03 41 45.2	39.46N	29.27E	3.1(3)	2.0	8	B
12 01 1982	18 35 52.4	39.50N	25.14E	3.7(1)	0.3	5	A
12 01 1982	22 17 41.3	39.45N	25.89E	3.5(2)	0.1	5	A
13 01 1982	05 50 03.0	41.00N	27.60E	3.0(2)			G
13 01 1982	12 33 35.9	38.99N	28.79E	2.6(3)	1.4	6	A
13 01 1982	14 36 08.1	37.44N	29.96E	3.6(3)	1.8	5	B
13 01 1982	21 23 48.7	39.09N	25.47E	3.7(3)	1.3	6	A
14 01 1982	14 49 46.9	38.89N	27.84E	2.4(1)	0.3	5	A
14 01 1982	16 12 07.4	40.24N	28.73E	2.2(1)	0.5	5	A
14 01 1982	19 25 39.5	39.62N	29.37E	2.6(2)	3.2	5	C
14 01 1982	21 17 51.4	39.45N	29.12E	3.4(5)	1.8	12	A
14 01 1982	22 36 22.0	39.44N	29.10E	3.3(3)	1.7	11	A
14 01 1982	22 39 30.2	39.08N	29.04E	2.5(2)	2.1	5	B
15 01 1982	00 31 39.0	39.80N	29.30E	2.5(1)			G
15 01 1982	10 57 38.9	39.54N	26.40E	2.9(1)	1.6	6	B
15 01 1982	15 46 12.8	39.73N	28.62E	2.3(1)	1.3	6	A
15 01 1982	19 11 14.3	39.44N	25.66E	4.1(6)	0.9	12	A
15 01 1982	19 26 40.0	39.40N	25.10E				G
15 01 1982	20 58 16.6	39.20N	29.08E	2.3(2)	2.7	7	B
16 01 1982	01 56 30.3	38.78N	27.23E	3.3(3)	1.0	7	A
16 01 1982	05 42 39.0	39.20N	25.20E	3.3(1)			G
16 01 1982	06 39 00.3	36.61N	30.42E	3.2(2)	2.4	5	B
16 01 1982	08 06 48.9	39.40N	29.03E	3.5(5)	2.1	12	A
16 01 1982	11 18 57.4	39.44N	28.85E	3.1(4)	3.6	10	B
16 01 1982	19 26 59.3	38.14N	26.79E		2.0	7	B
17 01 1982	01 33 45.7	39.39N	28.03E	2.4(2)	1.5	9	A
17 01 1982	04 36 47.2	38.33N	26.74E	3.5(3)	1.5	7	A

TARİH	OLUS ZAMANI	ENLEM	BOYHAM	MAGNİTUD	RMS	NA KALİTE
17.01.1982	08 05 07.9	39.19N	25.19E	4.0(4)	0.7	9 A
17.01.1982	17 18 03.0	38.93N	24.90E	3.8(2)	0.9	7 A
17.01.1982	20 34 50.0	39.24N	29.27E	2.4(2)	4.5	5 C
18.01.1982	09 55 59.0	39.00N	29.00E	2.6(1)		C G
18.01.1982	11 09 34.0	39.40N	29.20E	2.2(2)		C G
18.01.1982	15 06 10.7	39.14N	27.67E	2.5(1)	0.6	6 A
19.01.1982	04 54 40.1	39.33N	29.02E	2.6(3)	1.0	8 A
19.01.1982	10 58 45.3	39.11N	27.55E		0.4	5 A
19.01.1982	11 54 22.7	38.38N	26.90E		0.6	5 A
19.01.1982	12 29 02.5	39.47N	25.27E		2.3	7 B
19.01.1982	19 26 59.4	39.35N	25.73E		2.1	5 B
19.01.1982	22 26 35.5	39.17N	25.50E		1.0	5 A
20.01.1982	01 04 37.7	39.23N	25.48E	3.9(4)	1.6	13 A
20.01.1982	18 54 35.5	40.71N	28.37E	2.4(2)	0.6	7 A
20.01.1982	20 46 52.9	39.35N	29.48E	3.2(6)	1.8	10 A
20.01.1982	21 46 46.1	39.39N	29.30E	3.1(5)	1.9	10 A
20.01.1982	21 46 47.7	39.34N	29.15E	3.1(5)	2.4	14 A
21.01.1982	05 38 11.5	39.14N	29.30E		0.2	5 A
21.01.1982	07 38 18.8	36.13N	30.06E	3.4(3)	0.8	5 A
21.01.1982	08 05 31.2	39.20N	25.15E		0.7	6 A
21.01.1982	12 47 13.4	39.92N	24.92E	3.6(2)	2.2	7 B
21.01.1982	20 09 33.5	39.36N	29.00E	2.0(1)	0.2	5 A
21.01.1982	23 38 09.4	40.65N	30.74E	2.1(1)	1.7	9 A
22.01.1982	09 20 06.0	40.89N	28.96E	2.6(1)	0.5	8 A
22.01.1982	20 09 38.0	39.34N	28.93E	2.0(1)	0.3	6 A
22.01.1982	22 01 16.1	39.38N	28.74E		2.6	5 B
22.01.1982	23 36 30.3	41.05N	28.78E		0.9	5 A
23.01.1982	06 05 52.6	39.33N	28.97E	2.1(2)	0.1	5 A
23.01.1982	06 29 44.9	39.94N	29.20E	2.0(1)	2.1	6 B
23.01.1982	09 40 34.8	39.21N	27.76E		0.6	6 A
23.01.1982	16 59 40.7	38.97N	29.92E	3.0(3)	2.5	11 A
23.01.1982	19 26 03.0	39.60N	25.00E		C G	
23.01.1982	23 18 07.3	39.43N	29.07E	2.8(3)	1.4	7 A
24.01.1982	02 16 59.1	39.19N	27.74E	2.5(2)	0.5	6 A
24.01.1982	05 37 07.7	36.73N	27.36E	4.0(3)	1.8	8 B
24.01.1982	14 43 18.5	39.14N	27.84E	2.2(1)	0.2	5 A
24.01.1982	18 38 00.7	39.24N	28.89E	3.7(8)	1.1	14 A
24.01.1982	19 42 55.8	39.27N	28.87E	3.2(4)	1.0	13 A
25.01.1982	09 35 59.0	39.38N	29.56E	2.9(3)	3.0	10 A
25.01.1982	17 16 55.1	39.14N	29.30E	2.1(3)	0.8	6 A
25.01.1982	21 13 14.0	39.26N	28.64E	3.0(4)	2.5	9 A
25.01.1982	22 41 27.6	39.07N	29.23E	2.2(3)	0.8	6 A
26.01.1982	09 03 35.6	39.28N	28.98E	2.2(3)	1.1	6 A
26.01.1982	11 45 58.0	39.10N	25.80E		C G	
26.01.1982	14 17 31.9	39.14N	27.13E	2.6(2)	1.0	5 A
27.01.1982	00 21 24.3	39.27N	27.61E	3.0(3)	1.2	8 A
27.01.1982	05 41 27.2	39.18N	27.80E	2.4(1)	0.2	5 A
27.01.1982	06 00 21.5	39.39N	29.16E	2.9(4)	1.5	9 A
27.01.1982	09 04 46.5	39.38N	29.07E		1.1	6 A
27.01.1982	12 15 29.3	39.00N	28.87E	2.7(3)	1.3	7 A
27.01.1982	12 26 04.5	37.98N	28.70E	3.4(1)	2.8	7 B
27.01.1982	20 53 39.5	37.84N	28.96E	3.2(1)	1.1	5 A
27.01.1982	22 50 16.7	37.87N	28.94E	3.2(1)	1.3	5 A

TARİH	OLUS	ZAMANI	ENLEM	BOYHAM	MAGNİTUĐ	RMS	NA	KALİTE
28 01 1982	00	04 14.3	40.85N	27.64E	2.1(1)	0.4	5	A
28 01 1982	01	11 24.9	36.70N	31.30E	3.3(3)	2.4	5	B
28 01 1982	01	23 32.7	39.22N	29.08E	2.8(4)	1.3	9	A
28 01 1982	07	04 54.6	39.62N	28.81E		0.9	6	A
29 01 1982	02	44 16.7	39.03N	25.71E	3.8(3)	2.3	7	B
29 01 1982	08	18 47.5	39.74N	26.13E	3.2(2)	0.4	5	A
29 01 1982	21	12 43.8	39.36N	25.65E	3.7(3)	1.3	12	A
29 01 1982	22	54 43.6	39.30N	25.26E	3.6(3)	1.4	11	A
30 01 1982	10	25 18.2	40.52N	27.98E		3.3	5	C
30 01 1982	16	59 33.4	37.08N	27.38E	3.8(1)	1.9	5	B
31 01 1972	04	23 52.8	39.37N	29.06E	2.1(2)	0.1	5	A
31 01 1982	07	59 01.1	38.93N	29.81E	2.5(3)	1.3	5	A
31 01 1982	08	15 21.1	39.19N	29.78E	2.2(2)	2.5	6	B
31 01 1982	08	16 01.6	38.86N	29.77E	2.1(2)	0.8	6	A
31 01 1982	12	15 12.3	39.06N	29.80E	2.1(1)	1.1	5	A
31 01 1982	16	01 25.3	39.24N	29.21E	2.8(4)	2.0	12	A
31 01 1982	16	43 22.4	39.34N	29.03E	2.5(4)	1.0	9	A

TARIH	OLUS ZAMANI	ENLEM	BOYLAM	MAGNITUD	RMS	NA	KALITE
02 02 1982	00 42 47.0	39.40N	25.80E	3.4(3)		C	G
02 02 1982	01 36 45.6	39.33N	29.06E		0.7	5	A
02 02 1982	08 34 33.3	39.41N	25.67E		1.7	5	B
02 02 1982	08 54 07.0	38.96N	27.76E	2.6(2)	0.3	7	A
02 02 1982	11 36 05.1	39.22N	25.30E	3.6(3)	1.1	8	A
03 02 1982	08 22 56.9	36.44N	27.58E	3.8(3)	0.4	8	A
03 02 1982	15 50 55.9	39.31N	25.08E		0.8	5	A
03 02 1982	20 24 35.5	39.18N	29.05E	2.8(2)	1.4	5	A
04 02 1982	03 10 34.5	38.73N	27.90E	2.4(1)	1.5	5	A
04 02 1982	05 45 42.1	37.73N	27.33E	3.3(1)	1.8	5	B
05 02 1982	06 37 25.8	38.28N	27.18E	3.7(4)	2.6	11	A
05 02 1982	10 49 21.9	39.50N	27.58E	3.1(4)	1.7	9	A
05 02 1982	16 07 25.0	39.30N	25.90E	3.3(1)		C	G
05 02 1982	20 53 18.9	39.41N	25.34E	4.0(5)	1.3	14	A
06 02 1982	12 24 59.0	39.54N	26.72E		2.7	5	B
06 02 1982	17 16 20.6	39.09N	30.34E	2.8(2)	1.5	8	A
07 02 1982	11 55 33.2	39.27N	29.56E	2.6(3)	1.5	10	A
07 02 1982	16 32 36.1	40.97N	27.59E	2.6(2)	1.0	6	A
08 02 1982	09 18 44.8	39.34N	28.99E	2.4(2)	0.3	7	A
08 02 1982	11 20 09.4	39.33N	28.89E	3.9(7)	1.4	14	A
08 02 1982	15 22 33.7	40.70N	27.29E	2.5(1)	2.3	5	B
09 02 1982	02 19 10.9	39.30N	28.44E	2.5(2)	0.6	5	A
09 02 1982	05 11 48.3	36.69N	29.46E	3.5(3)	0.8	7	A
09 02 1982	20 40 05.8	40.41N	27.04E	3.5(3)	1.8	8	B
10 02 1982	09 23 48.7	39.46N	25.25E		1.7	6	B
10 02 1982	19 57 04.1	39.25N	28.79E	3.3(4)	2.0	11	A
10 02 1982	21 53 36.4	39.15N	28.91E	2.2(2)	1.0	6	A
11 02 1982	06 07 39.0	38.60N	29.10E	2.5(2)		C	G
13 02 1982	16 01 10.0	38.30N	26.10E	3.3(1)		C	G
14 02 1982	02 42 53.9	39.20N	27.79E	3.1(5)	0.9	11	A
14 02 1982	11 19 22.1	39.02N	28.80E	2.5(3)	1.6	5	B
14 02 1982	16 09 15.6	39.56N	25.22E	3.3(1)	1.2	6	A
15 02 1982	23 50 44.6	40.21N	28.02E	3.1(2)	2.9	6	B
15 02 1982	23 53 49.3	40.00N	28.24E	2.4(2)	0.7	5	A
16 02 1982	18 43 22.4	38.78N	25.80E	4.0(4)	1.1	9	A
18 02 1982	19 12 25.6	39.14N	29.45E	2.1(2)	0.8	5	A
18 02 1982	19 14 30.3	40.36N	28.25E	2.3(1)	0.7	6	A
18 02 1982	19 33 59.3	40.44N	28.12E	3.3(3)	1.6	6	B
19 02 1982	14 11 48.5	39.36N	29.05E	2.2(1)	0.8	5	A
20 02 1982	02 30 16.5	36.93N	28.40E	3.6(1)	0.4	6	A
20 02 1982	09 41 13.1	39.38N	29.12E	2.5(1)	1.2	6	A
20 02 1982	10 46 26.5	38.72N	26.51E		0.8	5	A
20 02 1982	16 46 57.6	39.40N	28.22E	2.6(1)	0.6	7	A
20 02 1982	23 14 44.3	39.43N	25.41E	3.3(2)	1.4	6	A
21 02 1982	04 16 22.3	39.32N	28.97E	2.0(1)	0.2	6	A
21 02 1982	11 33 40.9	39.35N	28.84E	3.4(6)	2.2	13	A
22 02 1982	08 34 57.4	39.29N	28.87E	2.2(2)	0.7	6	A
22 02 1982	08 40 05.6	39.31N	28.92E	2.3(2)	0.6	6	A
22 02 1982	08 56 20.2	39.25N	29.63E	2.8(2)	1.0	5	A
23 02 1982	05 03 37.5	39.74N	28.83E	1.9(1)	0.5	5	A
23 02 1982	09 12 09.9	39.75N	28.93E	2.6(4)	1.0	7	A
24 02 1982	00 10 46.2	39.78N	28.82E	1.9(1)	1.0	6	A
24 02 1982	00 22 29.0	39.34N	29.08E	2.4(4)	0.8	8	A

TARIH	OLUS ZAMANI	ENLEM	BOYLAM	MAGNITUD	RMS	NA	KALITE
24 02 1982	00 23 13.5	39.21N	28.78E	2.8(4)	3.2	10	B
24 02 1982	07 18 21.6	39.34N	29.08E	2.4(1)	1.8	5	B
25 02 1982	17 14 28.5	39.23N	28.94E	3.1(3)	0.8	5	A
26 02 1982	04 48 04.6	40.71N	27.59E	2.9(3)	0.4	5	A
27 02 1982	00 49 24.7	36.52N	27.28E	3.4(1)	1.3	5	A
27 02 1982	07 09 28.7	39.43N	29.04E	2.3(3)	1.2	8	A
27 02 1982	11 57 00.6	39.23N	29.56E	2.9(3)	0.8	6	A
27 02 1982	15 05 26.9	39.24N	29.56E	2.4(2)	0.8	6	A
28 02 1982	04 41 35.0	38.70N	28.20E	2.3(1)			C
28 02 1982	08 15 35.8	39.26N	25.43E	3.9(2)	0.5	5	A
28 02 1982	10 46 40.5	38.90N	29.69E	1.8(1)	0.4	5	A

G

TARİH	OLUŞ ZAMANI	ENLEM	BOYHAM	MAGNİTUD	RMS	NA KALİTE
01 03 1982	16 08 35.7	39.34N	27.76E	2.5(2)	0.9	8 A
02 03 1982	00 43 03.7	39.55N	25.26E	3.2(1)	1.5	6 B
02 03 1982	02 45 14.0	39.50N	25.30E	3.4(2)		C G
02 03 1982	11 10 41.0	39.41N	26.25E	3.2(1)	0.8	6 A
03 03 1982	13 17 24.1	40.74N	29.11E	2.7(2)	0.9	7 A
03 03 1982	23 39 41.0	40.30N	27.10E	2.5(1)		C G
04 03 1982	02 29 28.0	39.09N	27.60E	3.1(3)	2.1	8 B
04 03 1982	15 10 58.3	40.38N	27.84E	2.5(3)	0.9	5 A
05 03 1982	04 12 46.0	40.01N	26.98E	2.7(1)	0.2	6 A
05 03 1982	22 49 43.5	39.26N	28.83E	3.3(4)	1.3	11 A
06 03 1982	08 14 41.8	35.24N	30.22E	4.0(3)	0.6	8 A
06 03 1982	12 19 42.6	39.61N	25.85E	3.6(2)	0.7	5 A
06 03 1982	14 39 50.7	39.46N	28.22E	2.3(1)	0.4	5 A
06 03 1982	17 20 35.5	39.32N	29.09E	2.6(2)	0.9	5 A
07 03 1982	03 58 34.3	38.99N	30.15E	2.5(2)	0.8	5 A
08 03 1982	01 03 46.2	39.35N	26.56E	3.1(2)	3.3	5 C
08 03 1982	16 45 41.1	40.43N	30.02E	2.4(1)	1.1	5 A
09 03 1982	10 17 15.2	39.38N	29.03E	2.5(3)	0.8	6 A
09 03 1982	16 41 10.0	38.70N	27.00E	3.1(2)		C G
09 03 1982	19 13 00.3	40.90N	28.12E	3.0(3)	1.0	9 A
09 03 1982	21 55 26.5	38.84N	27.92E	2.5(4)	1.2	12 A
10 03 1982	05 33 36.0	39.20N	29.10E	3.0(3)		C G
10 03 1982	14 01 50.3	35.55N	25.98E	4.4(6)	0.4	11 A
10 03 1982	15 29 26.1	39.04N	26.89E	3.3(2)	1.8	7 B
11 03 1982	01 54 19.0	39.39N	29.08E	2.3(1)	1.5	7 B
12 03 1982	09 40 30.1	38.96N	26.93E	3.7(4)	0.6	8 A
11 03 1982	10 48 53.6	40.72N	27.61E	2.7(3)	0.7	5 A
12 03 1982	21 57 01.9	39.39N	26.59E	3.0(2)	2.0	5 B
13 03 1982	01 00 01.9	40.68N	28.87E	2.4(3)	0.6	6 A
13 03 1982	09 06 08.3	39.99N	29.56E	2.5(4)	0.8	6 A
13 03 1982	17 14 35.0	39.10N	29.00E	2.4(2)		C G
14 03 1982	02 08 30.3	37.87N	30.79E	2.9(2)	0.4	7 A
14 03 1982	10 53 33.5	39.66N	28.80E	2.6(3)	1.1	5 A
14 03 1982	14 14 16.4	39.22N	29.00E	2.7(3)	0.8	5 A
14 03 1982	15 09 09.8	38.63N	31.07E	4.0(6)	0.9	14 A
14 03 1982	18 43 41.3	39.00N	25.29E	4.0(4)	1.6	11 A
16 03 1982	11 06 08.9	39.34N	28.92E	2.2(2)	0.3	6 A
16 03 1982	14 31 03.3	38.52N	26.19E	3.1(1)	2.9	5 B
16 03 1982	16 50 17.6	36.55N	29.42E	3.5(2)	1.0	5 A
18 03 1982	00 15 27.1	39.40N	27.90E	3.1(4)	0.7	11 A
18 03 1982	05 06 27.1	39.95N	27.00E	2.5(1)	0.8	5 A
18 03 1982	17 18 20.5	39.14N	24.93E	4.1(5)	0.4	10 A
18 03 1982	22 48 40.6	39.41N	29.09E	2.5(2)	1.2	7 A
19 03 1982	04 45 01.9	38.14N	28.01E	3.2(1)	1.0	5 A
19 03 1982	07 48 26.4	39.31N	28.91E	2.9(4)	0.1	5 A
19 03 1982	15 35 53.0	39.30N	26.30E	3.3(1)		C G
19 03 1982	21 19 22.1	39.96N	28.64E	2.8(2)	1.6	7 B
20 03 1982	01 33 20.2	37.98N	32.05E	3.5(1)	0.2	6 A
20 03 1982	10 38 15.0	39.46N	26.52E	3.2(3)	2.3	7 B
20 03 1982	15 15 59.7	39.37N	28.98E	2.3(1)	0.1	5 A
20 03 1982	20 07 37.3	38.45N	25.02E	4.1(3)	0.5	8 A
21 03 1982	19 31 55.0	37.00N	28.10E	3.9(3)		C G
22 03 1982	12 13 42.4	39.26N	29.05E	2.5(3)	0.8	5 A

TARIH	OLUS ZAMANI	ENLEM	BOYLAM	MAGNITUD	RMS	NA	KALITE
22 03 1982	13 33 54.1	39.61N	28.82E	2.4(1)	0.6	5	A
22 03 1982	20 12 30.8	39.73N	28.94E	2.7(2)	0.9	7	A
22 03 1982	22 21 58.4	39.72N	28.89E	2.8(3)	1.5	5	A
23 03 1982	06 37 19.5	39.04N	28.47E	3.0(3)	2.8	7	B
24 03 1982	03 38 17.0	39.40N	29.00E	3.0(3)		C	G
24 03 1982	23 00 30.4	39.06N	27.84E	2.3(1)	0.7	5	A
25 03 1982	06 55 22.4	39.49N	28.92E	3.0(4)	2.2	8	B
25 03 1982	11 35 34.7	39.62N	28.82E	2.7(2)	0.7	6	A
25 03 1982	15 09 47.2	40.25N	29.31E	2.3(1)	1.8	5	B
26 03 1982	06 16 57.6	39.93N	25.09E	4.1(3)	2.5	10	A
26 03 1982	13 44 08.7	39.60N	28.80E	2.3(1)	0.5	5	A
26 03 1982	16 08 57.3	39.36N	29.22E	3.0(3)	1.6	8	B
26 03 1982	16 32 36.2	39.33N	28.98E	2.4(2)	0.6	6	A
26 03 1982	18 04 49.4	39.59N	28.81E	2.4(1)	0.5	5	A
27 03 1982	00 51 58.6	40.27N	29.03E	2.3(1)	1.4	5	A
27 03 1982	10 40 16.5	39.61N	28.80E	2.3(1)	0.8	5	A
27 03 1982	12 30 06.1	40.87N	29.34E	2.5(1)	1.0	6	A
27 03 1982	16 43 19.9	40.77N	27.40E	3.4(2)	0.7	6	A
28 03 1982	09 00 47.0	38.30N	27.50E			C	G
30 03 1982	21 49 58.0	36.90N	30.30E	3.5(3)		C	G
31 03 1982	01 12 07.5	38.43N	28.08E	3.2(4)	1.4	10	A
31 03 1982	01 15 59.2	38.63N	27.96E	3.9(5)	0.4	7	A
31 03 1982	01 44 17.6	36.78N	30.43E	3.6(3)	2.4	7	B
31 03 1982	12 28 17.3	39.46N	29.09E	3.0(3)	2.0	7	B

TARIH	OLUS ZAMANI	ENLEM	BOYHAM	MAGNITUD	RMS	NA	KALITE
01 04 1982	00 54 53.4	39.89N	28.73E	2.3(2)	0.5	5	A
01 04 1982	23 02 23.7	37.94N	28.88E	3.2(1)	0.9	5	A
02 04 1982	02 21 29.4	37.68N	29.38E	3.3(4)	0.5	6	A
02 04 1982	08 25 02.5	39.70N	29.43E		1.2	5	A
02 04 1982	12 38 22.9	39.24N	29.52E	3.8(7)	1.2	12	A
03 04 1982	07 52 58.3	39.69N	29.38E		0.2	5	A
04 04 1982	00 32 15.4	39.13N	29.59E	2.5(3)	1.6	8	B
04 04 1982	08 02 01.5	39.29N	28.95E	2.3(1)	0.9	7	A
04 04 1982	09 09 34.2	39.13N	28.12E	2.6(2)	2.4	6	B
04 04 1982	11 10 55.4	38.94N	28.39E	2.6(2)	1.8	6	B
04 04 1982	11 21 04.7	39.01N	28.25E	2.5(2)	1.9	6	B
04 04 1982	12 49 15.7	39.09N	28.16E	3.1(4)	1.6	10	A
04 04 1982	22 37 50.2	39.06N	29.40E	2.0(2)	0.7	6	A
05 04 1982	01 46 04.6	38.68N	29.78E	1.8(1)	0.3	5	A
05 04 1982	03 36 50.4	37.32N	26.69E	4.1(5)	2.7	11	A
05 04 1982	15 06 48.0	36.60N	31.00E	3.0(2)		C	G
06 04 1982	01 54 06.0	36.70N	30.50E	3.7(3)		C	G
06 04 1982	03 09 25.4	39.09N	28.13E	2.8(4)	1.5	8	B
07 04 1982	01 20 41.3	39.41N	27.93E	2.7(2)	0.2	5	A
07 04 1982	01 54 14.7	39.14N	29.17E	2.2(1)	0.8	6	A
07 04 1982	02 46 36.3	38.97N	28.00E	2.6(2)	0.5	6	A
07 04 1982	05 05 04.2	39.39N	25.62E	3.3(1)	1.6	5	B
07 04 1982	19 57 06.6	40.35N	27.16E	2.5(3)	0.9	5	A
07 04 1982	21 02 56.2	38.98N	27.00E	2.8(1)	0.3	6	A
07 04 1982	22 08 26.6	38.99N	27.00E	2.6(2)	0.5	6	A
08 04 1982	02 14 20.4	36.87N	28.53E	3.3(1)	0.9	5	A
08 04 1982	02 59 04.3	39.32N	25.45E	3.2(2)	1.4	7	A
08 04 1982	03 32 32.0	39.40N	25.40E	3.2(1)		C	G
08 04 1982	04 43 15.6	40.20N	28.67E	3.0(5)	2.3	13	A
08 04 1982	07 50 47.0	36.51N	28.61E	3.6(3)	1.4	8	A
08 04 1982	15 06 57.7	39.48N	28.90E	2.3(1)	1.3	5	A
08 04 1982	19 49 40.9	38.44N	27.17E	3.8(7)	0.9	14	A
08 04 1982	19 59 39.3	38.34N	27.33E	2.9(1)	1.3	5	A
08 04 1982	20 27 47.0	38.70N	29.30E	2.3(3)		C	G
09 04 1982	03 02 28.9	40.88N	27.92E	2.6(2)	0.8	7	A
09 04 1982	03 23 22.1	40.59N	27.18E	2.7(3)	0.6	5	A
09 04 1982	13 10 19.0	38.40N	26.00E	3.5(1)		C	G
09 04 1982	14 40 51.8	40.52N	27.82E	2.5(2)	2.2	6	B
09 04 1982	21 02 31.1	39.18N	28.91E	2.4(1)	1.4	5	A
10 04 1982	11 38 09.4	39.47N	25.67E	4.6(6)	1.3	16	A
10 04 1982	18 38 44.8	39.64N	29.05E	2.7(5)	2.0	10	A
11 04 1982	04 47 26.9	36.48N	27.72E	4.1(3)	2.8	9	A
11 04 1982	08 29 41.4	39.46N	26.20E	3.1(1)	0.3	5	A
11 04 1982	11 33 09.2	39.38N	29.11E	2.4(4)	1.1	8	A
11 04 1982	13 22 10.5	39.50N	26.13E	3.4(3)	0.8	8	A
12 04 1982	11 26 24.0	40.35N	29.25E	2.1(2)	1.1	6	A
12 04 1982	11 58 30.1	39.69N	29.46E		1.0	6	A
12 04 1982	17 13 48.7	39.07N	29.39E	2.2(3)	0.4	6	A
12 04 1982	19 21 49.8	39.14N	25.10E	3.6(3)	0.6	6	A
12 04 1982	20 19 20.9	39.05N	29.46E	1.9(1)	0.4	5	A
13 04 1982	03 30 33.5	37.78N	29.00E	3.2(1)	0.6	6	A
13 04 1982	04 01 37.8	39.37N	25.69E	3.5(4)	1.5	11	A
13 04 1982	15 22 32.0	40.33N	29.38E	1.6(1)	2.0	6	B

TARIH	OLUS	ZAMANI	ENLEM	BOYLAM	MAGNİTUD	RMS	NA	KALİTE
14 04 1982	04	28 06.7	39.64N	29.24E	2.7(4)	2.1	9	A
14 04 1982	08	29 57.8	36.37N	28.54E	3.4(3)	1.3	5	A
14 04 1982	14	04 56.9	39.09N	27.65E	2.3(1)	0.1	5	A
14 04 1982	18	27 31.3	40.44N	29.19E	2.3(2)	0.8	6	A
15 04 1982	10	25 00.8	39.72N	30.85E	2.5(3)	0.8	5	A
15 04 1982	11	20 32.8	39.10N	29.42E	2.0(2)	0.4	5	A
15 04 1982	12	05 21.0	39.50N	29.10E	2.3(1)		C	G
15 04 1982	15	46 10.2	39.52N	29.02E		1.1	6	A
15 04 1982	16	13 50.0	39.66N	25.72E	3.3(3)	1.8	8	B
15 04 1982	23	57 39.0	39.43N	26.04E	3.6(3)	1.7	9	A
16 04 1982	03	03 53.9	39.44N	26.13E	2.3(3)	1.4	6	A
16 04 1982	04	48 25.0	39.47N	26.18E	3.7(4)	1.3	12	A
16 04 1982	08	01 31.1	40.81N	29.84E	3.6(5)	1.7	12	A
16 04 1982	12	49 39.2	39.46N	26.26E	3.2(2)	0.3	5	A
16 04 1982	18	53 00.6	39.53N	26.29E	3.4(3)	1.6	7	B
17 04 1982	01	58 49.3	40.84N	29.70E	3.4(5)	3.3	16	B
17 04 1982	10	23 09.9	39.46N	26.00E	4.2(3)	1.2	6	A
17 04 1982	15	12 37.6	40.67N	27.18E	3.0(3)	0.5	6	A
17 04 1982	17	31 46.2	38.18N	32.17E	4.1(7)	1.1	15	A
17 04 1982	20	50 00.6	39.50N	25.90E	3.4(3)	1.2	5	A
17 04 1982	23	50 53.4	38.71N	26.84E	3.8(4)	0.5	9	A
18 04 1982	02	52 00.3	38.72N	27.10E	3.0(2)	1.6	7	B
18 04 1982	11	55 37.7	40.63N	27.36E	2.3(2)	0.9	8	A
18 04 1982	17	10 36.2	39.39N	28.94E		0.7	6	A
18 04 1982	19	02 11.6	38.83N	27.51E	3.1(2)	3.4	5	C
18 04 1982	20	13 39.4	40.77N	27.43E	2.4(2)	1.3	7	A
18 04 1982	23	18 10.2	37.14N	27.64E	4.3(6)	1.8	17	A
18 04 1982	23	56 06.4	38.92N	28.14E	3.7(7)	1.5	18	A
19 04 1982	00	29 02.0	40.10N	25.60E			C	G
19 04 1982	04	32 54.5	38.88N	27.01E	4.4(5)	2.9	16	A
19 04 1982	05	02 02.2	38.67N	26.70E	3.6(4)	1.0	8	A
19 04 1982	05	06 58.4	38.80N	26.98E	3.6(4)	0.8	11	A
19 04 1982	05	48 20.0	38.70N	26.70E	3.4(2)		C	G
19 04 1982	06	11 19.4	38.70N	26.86E	3.9(6)	0.5	11	A
19 04 1982	06	48 36.0	38.66N	26.84E	3.9(5)	0.5	7	A
19 04 1982	07	56 10.3	42.45N	26.89E	3.3(1)	2.0	5	B
19 04 1982	10	06 45.8	38.75N	26.89E	3.5(1)	1.8	9	A
19 04 1982	14	47 33.1	39.46N	25.54E	3.2(1)	2.2	5	B
19 04 1982	22	53 09.0	39.33N	28.98E	2.2(2)	0.5	5	A
19 04 1982	22	59 00.7	38.87N	26.80E	3.0(2)	3.4	6	C
20 04 1982	00	45 56.3	39.36N	29.03E	2.2(1)	0.5	7	A
20 04 1982	01	05 55.0	38.80N	27.00E			C	G
20 04 1982	02	41 34.3	39.34N	28.92E	2.0(1)	1.1	7	A
20 04 1982	06	14 02.1	39.49N	26.18E	3.4(3)	0.9	6	A
20 04 1982	15	45 52.0	39.10N	26.20E	3.6(2)		C	G
20 04 1982	18	32 20.7	38.77N	26.87E	4.3(8)	2.1	14	A
20 04 1982	19	07 34.1	38.70N	27.01E	3.4(4)	1.0	9	A
20 04 1982	22	08 02.4	39.39N	29.09E	2.6(2)	0.8	6	A
21 04 1982	01	35 11.5	40.05N	25.16E	3.7(2)	1.4	6	A
21 04 1982	03	39 37.8	38.76N	26.92E	2.9(1)	0.6	5	A
21 04 1982	04	57 10.9	37.76N	27.48E	4.0(3)	2.7	8	B
21 04 1982	05	00 07.4	40.89N	28.00E	2.5(3)	1.5	10	A
21 04 1982	06	00 40.4	38.60N	27.02E	3.4(2)	0.9	5	A

TARIH	OLUS ZAMANI	ENLEM	BOYLAM	MAGNITUD	RMS	NA KALITE
21 04 1982	09 36 30.6	37.70N	27.82E	3.3(2)	1.4	5 A
22 04 1982	09 41 03.8	40.36N	29.66E	2.8(5)	3.0	11 A
22 04 1982	19 43 52.5	38.90N	28.12E	2.9(2)	1.0	9 A
22 04 1982	22 29 21.8	39.47N	29.13E	2.6(4)	2.6	9 A
23 04 1982	04 19 34.8	39.54N	27.46E	3.3(5)	1.3	14 A
24 04 1982	16 09 34.2	38.41N	26.04E	3.8(2)	0.8	7 A
24 04 1982	22 38 30.9	39.54N	25.42E	3.9(3)	1.4	11 A
25 04 1982	01 43 57.5	39.30N	25.55E	3.3(2)	1.5	5 A
25 04 1982	06 39 27.0	39.30N	28.88E	2.2(2)	0.3	5 A
25 04 1982	07 54 23.7	39.67N	29.40E	3.9(1)	0.4	5 A
25 04 1982	14 39 59.3	38.63N	30.17E	2.1(1)	1.1	6 A
25 04 1982	19 23 28.3	39.27N	25.30E	3.9(3)	0.7	7 A
25 04 1982	21 11 47.0	39.90N	26.60E			C G
26 04 1982	08 40 57.0	38.00N	26.50E	3.1(2)		C G
26 04 1982	15 58 03.4	36.66N	28.20E	3.7(3)	1.9	6 B
26 04 1982	18 18 16.5	39.72N	25.53E	3.2(2)	0.8	5 A
26 04 1982	20 37 38.7	39.15N	27.77E	2.7(2)	1.7	8 B
26 04 1982	22 35 00.9	38.72N	26.86E	3.6(5)	0.7	9 A
27 04 1982	08 33 34.9	40.91N	28.92E	1.9(1)	0.8	7 A
27 04 1982	15 26 49.6	39.54N	29.20E	2.2(1)	1.5	5 B
27 04 1982	15 51 59.1	39.31N	28.25E	3.6(5)	2.7	14 A
28 04 1982	00 33 36.6	39.41N	28.91E	2.2(1)	1.0	5 A
28 04 1982	08 43 38.8	39.76N	25.11E	3.8(3)	0.9	7 A
28 04 1982	13 51 36.8	38.84N	29.50E	2.1(2)	1.2	6 A
28 04 1982	14 50 55.8	38.70N	29.49E	2.3(2)	1.3	6 A
28 04 1982	14 54 06.1	39.13N	29.68E	3.0(3)	0.8	8 A
28 04 1982	15 16 20.8	39.05N	29.53E	2.7(4)	1.8	8 B
28 04 1982	15 48 26.1	39.05N	29.58E	2.5(3)	1.6	7 B
28 04 1982	17 23 05.4	39.50N	27.86E	3.3(5)	1.3	14 A
28 04 1982	17 37 39.4	39.40N	27.85E	2.4(2)	0.3	7 A
28 04 1982	19 07 21.0	39.00N	29.30E	2.2(2)		C G
29 04 1982	07 14 24.2	40.66N	29.03E	2.9(5)	1.9	11 A
29 04 1982	19 15 21.5	40.86N	27.67E	3.0(3)	1.2	10 A
29 04 1982	23 57 04.9	39.09N	28.60E	2.8(4)	1.1	8 A
30 04 1982	03 17 44.0	40.50N	25.80E	3.3(2)		C G
30 04 1982	16 29 04.1	38.84N	28.31E	2.9(2)	1.5	5 A
30 04 1982	18 51 16.0	38.00N	26.50E	3.2(2)		C G

TARIH	OLUS	ZAMANI	ENLEM	BOYHAM	MAGNITUD	RMS	NA	KALITE
01 05 1982	00	15 10.7	39.50N	29.35E	3.0(5)	2.3	12	A
01 05 1982	02	33 42.2	39.65N	29.15E	2.5(4)	1.1	7	A
01 05 1982	18	01 07.5	37.53N	26.59E	3.9(4)	1.1	6	A
01 05 1982	18	53 05.3	38.18N	30.19E	3.1(1)	2.1	6	B
02 05 1982	01	32 32.3	39.49N	25.91E	3.4(4)	1.4	8	A
02 05 1982	04	29 34.9	40.91N	28.03E	2.3(3)	1.8	6	B
02 05 1982	15	11 09.3	39.48N	26.29E	3.1(1)	0.6	5	A
03 05 1982	18	39 58.9	40.02N	27.12E	2.4(2)	2.6	5	B
04 05 1982	15	42 17.8	39.43N	29.10E	3.1(4)	1.0	9	A
04 05 1982	17	02 27.3	37.53N	27.81E	4.0(3)	0.8	5	A
04 05 1982	20	44 41.1	39.37N	25.30E	3.7(3)	0.9	7	A
04 05 1982	21	46 35.0	38.71N	27.14E	3.1(2)	1.1	5	A
05 05 1982	00	42 59.7	40.58N	28.32E	2.4(3)	1.6	6	B
05 05 1982	04	48 29.7	39.29N	29.46E	2.8(4)	2.3	9	A
05 05 1982	06	09 33.6	39.27N	28.99E	2.3(2)	0.9	5	A
05 05 1982	09	09 31.4	36.86N	28.56E	3.7(3)	1.0	8	A
05 05 1982	18	58 53.6	37.47N	27.76E	4.0(3)	1.5	6	A
06 05 1982	08	26 10.7	36.54N	28.14E	3.6(2)	3.1	5	C
06 05 1982	18	13 30.5	38.87N	27.07E	3.0(1)	0.5	5	A
06 05 1982	20	43 30.4	39.31N	25.31E	3.7(4)	0.3	7	A
07 05 1982	07	26 07.9	40.65N	27.46E	2.7(2)	0.6	7	A
07 05 1982	16	02 22.9	39.08N	27.66E	2.2(1)	0.7	6	A
07 05 1982	19	41 10.6	37.46N	26.73E	3.7(1)	3.2	6	C
07 05 1982	22	52 42.0	38.30N	26.50E	3.0(2)	3.0	5	C
07 05 1982	22	58 21.3	38.69N	27.02E	3.0(2)	1.0	5	A
08 05 1982	07	35 47.4	38.85N	28.24E		1.0	7	A
08 05 1982	11	14 57.6	40.51N	30.17E	1.8(1)	1.2	5	A
08 05 1982	12	11 21.0	40.70N	29.16E	2.5(1)	2.2	8	B
09 05 1982	00	15 10.5	37.63N	29.16E	3.1(5)	2.6	9	A
09 05 1982	00	47 21.3	40.11N	28.16E	2.5(3)	0.9	6	A
09 05 1982	06	40 39.2	37.85N	26.70E	3.9(4)	4.6	7	B
09 05 1982	10	44 44.6	39.77N	28.03E	2.2(1)	1.1	5	A
09 05 1982	13	40 53.1	39.31N	27.64E	2.1(1)	0.6	5	A
09 05 1982	16	05 38.7	39.07N	27.67E	2.6(1)	0.9	5	A
09 05 1982	16	58 52.6	38.91N	27.91E	3.3(5)	1.2	1	A
09 05 1982	19	18 05.4	38.79N	27.70E	2.4(1)	0.6	5	A
09 05 1982	21	03 03.0	38.70N	26.50E	2.9(1)	3.0	5	C
09 05 1982	22	48 31.0	36.34N	26.76E	4.0(3)	0.7	8	A
09 05 1982	23	51 49.2	40.27N	27.12E	2.5(2)	0.6	5	A
10 05 1982	01	49 04.6	38.82N	28.11E	2.8(2)	0.6	5	A
10 05 1982	04	20 56.0	40.33N	29.82E	2.5(3)	3.2	7	B
10 05 1982	08	54 07.3	39.61N	28.43E	2.3(1)	0.9	7	A
10 05 1982	10	14 22.9	39.32N	29.08E	2.3(4)	1.0	6	A
10 05 1982	22	51 20.3	38.42N	27.13E	3.3(3)	0.7	8	A
11 05 1982	00	46 25.9	38.25N	26.84E	3.4(3)	1.5	8	A
11 05 1982	10	25 58.4	36.89N	28.77E	3.9(7)	2.3	12	A
11 05 1982	13	15 46.2	39.79N	26.51E	3.0(1)	1.3	5	A
12 05 1982	04	16 52.9	40.08N	28.78E	2.5(3)	2.3	8	B
12 05 1982	19	16 35.3	36.85N	28.49E	3.2(2)	1.2	5	A
13 05 1982	16	30 51.2	36.89N	28.61E	3.4(3)	1.4	5	A
13 05 1982	23	40 01.4	38.19N	31.30E	3.3(5)	3.1	11	B
14 05 1982	06	24 02.7	38.97N	27.87E	3.0(2)	2.0	10	A
14 05 1982	15	55 01.7	36.48N	28.29E	3.6(4)	2.3	8	B

TARİH	GLÜS	ZAMANI	ENLEM	BOYHAM	MAGNİTUD	RMS	NA	KALİTE
14 05 1982	16	14 21.3	40.20N	27.06E	3.0(4)	1.7	14	A
14 05 1982	17	24 35.3	40.25N	27.01E	2.4(1)	0.8	7	A
14 05 1982	17	30 17.8	40.18N	27.08E	2.5(1)	0.3	5	A
14 05 1982	22	31 51.0	39.03N	29.77E	2.3(2)	0.5	6	A
14 05 1982	23	12 41.5	39.56N	25.26E	3.3(2)	4.4	7	B
15 05 1982	00	05 44.1	40.21N	26.99E	2.7(3)	0.7	6	A
15 05 1982	05	41 14.8	40.32N	26.98E	2.5(2)	0.8	6	A
15 05 1982	14	09 33.3	40.19N	27.06E	2.6(1)	0.5	5	A
15 05 1982	14	14 47.3	39.80N	30.51E	2.6(3)	1.3	6	A
16 05 1982	11	21 42.8	38.84N	28.02E	3.4(2)	0.8	5	B
16 05 1982	14	44 29.0	40.44N	26.98E	2.8(1)	2.0	5	B
16 05 1982	18	35 17.0	40.45N	27.13E	3.6(3)	1.9	8	B
17 05 1982	01	20 50.0	40.18N	27.13E	3.4(3)	1.7	8	B
17 05 1982	04	42 23.2	40.18N	27.07E	2.8(2)	0.9	5	A
17 05 1982	04	47 59.6	40.24N	27.05E	3.2(2)	0.5	7	A
17 05 1982	12	30 06.1	40.44N	27.08E	3.0(2)	2.1	5	B
17 05 1982	15	52 16.0	41.06N	29.88E	2.9(3)	2.4	7	B
17 05 1982	20	37 37.9	40.16N	27.18E	3.4(4)	1.9	11	A
17 05 1982	20	54 39.6	40.55N	26.74E	3.0(2)	2.1	8	B
18 05 1982	00	52 40.0	40.10N	27.10E	2.8(2)	1.0	6	A
18 05 1982	02	55 24.8	39.25N	28.79E	3.0(4)	1.0	11	A
18 05 1982	03	25 47.7	40.23N	27.03E	3.0(2)	0.3	6	A
18 05 1982	05	03 27.4	40.33N	27.36E	3.0(2)	0.5	6	A
18 05 1982	06	02 17.3	40.10N	27.20E	3.5(4)	1.7	10	A
18 05 1982	06	52 12.1	40.10N	27.10E	3.1(2)	0.9	5	A
18 05 1982	12	26 15.9	41.63N	28.03E	3.0(1)	3.4	5	C
18 05 1982	14	43 38.9	40.25N	27.05E	3.0(2)	2.0	7	B
18 05 1982	21	22 08.6	40.16N	27.10E		1.2	5	A
19 05 1982	02	09 57.5	40.14N	27.06E	2.5(1)	0.5	.6	A
19 05 1982	06	15 20.9	40.10N	27.11E	2.8(2)	0.8	6	A
19 05 1982	06	19 32.3	40.25N	27.05E	3.0(2)	2.1	7	B
19 05 1982	06	37 03.4	40.19N	27.04E	2.5(1)	0.2	5	A
19 05 1982	09	09 44.6	40.20N	27.07E	2.6(1)	0.1	5	A
19 05 1982	14	00 13.4	40.19N	27.05E	2.5(1)	0.1	5	A
20 05 1982	00	25 21.4	40.19N	27.04E		0.1	5	A
20 05 1982	02	42 50.8	40.48N	28.87E	4.2(7)	1.8	13	A
20 05 1982	02	47 51.8	40.36N	28.88E	2.6(3)	0.5	7	A
20 05 1982	03	34 35.8	40.52N	29.01E	2.8(3)	1.4	9	A
20 05 1982	03	39 24.8	40.34N	28.86E	2.3(2)	0.4	5	A
20 05 1982	03	41 11.4	40.54N	29.04E	2.8(3)	1.4	9	A
20 05 1982	03	42 21.2	40.32N	28.91E	2.2(2)	0.4	5	A
20 05 1982	03	48 02.5	40.52N	29.04E	2.9(3)	1.6	6	B
20 05 1982	05	28 18.1	40.25N	25.92E	3.1(2)	1.2	5	A
20 05 1982	08	20 01.3	40.17N	27.04E	2.8(2)	0.8	7	A
20 05 1982	17	10 50.5	40.19N	27.05E	2.5(1)	0.1	5	A
20 05 1982	22	45 16.5	40.48N	28.90E	3.1(3)	1.6	11	A
21 05 1982	06	25 57.0	40.16N	27.08E	2.5(1)	0.2	5	A
21 05 1982	07	03 09.2	40.43N	28.87E	2.5(1)	0.4	5	A
21 05 1982	11	26 35.4	40.54N	28.96E	2.8(3)	1.3	8	A
21 05 1982	16	10 06.3	40.20N	27.05E	2.6(1)	0.1	5	A
21 05 1982	23	33 25.0	40.11N	27.11E	2.7(2)	0.8	6	A
22 05 1982	00	22 51.0	40.11N	27.09E	2.7(2)	0.8	7	A
22 05 1982	02	29 30.5	40.18N	27.03E	3.0(2)	0.8	7	A

TARIH	OLUS ZAMANI	ENLEM	BOYLAM	MAGNİTÜD	RMS	NA	KALİTE
22 05 1982	03 30 56.1	40.10N	27.10E	2.7(2)	1.0	8	A
22 05 1982	05 58 26.0	40.15N	27.08E	2.3(1)	0.1	5	A
22 05 1982	07 18 04.4	40.18N	27.04E		0.6	5	A
22 05 1982	10 48 17.	40.20N	27.07E	2.5(1)	0.4	5	A
22 05 1982	11 24 32.9	40.28N	29.40E	2.6(1)	0.5	5	A
22 05 1982	12 04 48.1	40.23N	29.37E	2.7(2)	0.8	5	A
22 05 1982	13 02 06.8	40.20N	29.41E	2.7(3)	1.0	7	A
22 05 1982	17 06 06.9	38.60N	25.56E	3.5(1)	1.7	5	B
23 05 1982	08 49 01.1	37.07N	26.45E	3.9(2)	1.3	5	A
23 05 1982	16 23 07.6	40.58N	29.04E	4.0(5)	1.9	12	A
23 05 1982	19 41 06.4	40.28N	28.92E	2.4(2)	0.6	5	A
23 05 1982	22 17 51.1	40.79N	30.73E	3.8(4)	1.3	11	A
23 05 1982	22 31 53.3	40.83N	30.91E	3.1(2)	0.9	6	A
23 05 1982	22 38 25.2	40.58N	28.94E	2.8(2)	1.5	8	A
23 05 1982	23 02 07.4	40.90N	30.84E	3.0(2)	0.7	7	A
23 05 1982	23 05 47.6	40.90N	30.85E	3.0(1)	0.5	7	A
24 05 1982	17 10 46.4	40.20N	28.73E		0.9	5	A
25 05 1982	03 21 20.6	40.39N	29.64E		1.1	5	A
25 05 1982	09 13 10.9	37.22N	30.73E	3.3(2)	2.0	5	B
25 05 1982	14 45 36.5	37.54N	28.25E	4.0(6)	2.5	10	A
25 05 1982	15 50 01.8	40.53N	28.90E	2.9(2)	1.6	11	A
25 05 1982	15 52 29.1	40.48N	28.89E	2.7(2)	0.9	7	A
26 05 1982	00 53 46.8	39.21N	28.74E	3.1(2)	0.8	5	A
26 05 1982	15 26 00.0	39.02N	28.05E	3.1(1)	0.9	9	A
27 05 1982	15 07 45.1	40.24N	27.02E	2.8(1)	0.3	5	A
27 05 1982	15 24 06.7	40.51N	26.72E	2.9(2)	2.2	7	B
27 05 1982	15 45 27.7	40.17N	27.07E	2.6(1)	0.4	5	A
27 05 1982	15 59 06.3	39.10N	27.64E		1.0	5	A
27 05 1982	18 39 01.8	40.14N	27.06E	2.6(1)	0.2	5	A
27 05 1982	19 13 35.7	40.14N	27.09E	2.6(1)	1.0	5	A
28 05 1982	03 32 01.5	40.46N	28.90E	2.7(2)	0.9	10	A
28 05 1982	06 51 53.5	39.36N	25.53E	4.0(1)	1.8	5	B
28 05 1982	08 13 37.9	40.21N	27.11E	2.3(1)	0.9	5	A
28 05 1982	11 32 19.7	38.99N	27.82E	2.8(1)	1.5	5	B
28 05 1982	11 55 37.8	39.19N	27.82E	2.7(1)	0.5	6	A
28 05 1982	15 20 05.7	39.09N	27.88E		1.8	5	B
28 05 1982	15 25 44.0	39.30N	25.60E	3.2(1)		C	G
29 05 1982	02 36 23.0	40.42N	28.87E	2.5(1)	0.5	5	A
29 05 1982	05 45 55.3	38.37N	25.62E	3.5(1)	0.7	6	A
29 05 1982	10 46 13.6	39.54N	26.97E	3.3(1)	1.8	5	B
29 05 1982	14 38 01.1	40.82N	27.90E	2.7(2)	0.4	5	A
29 05 1982	23 26 34.0	39.42N	25.16E	3.2(1)	1.5	6	B
30 05 1982	08 33 11.8	39.04N	30.41E	3.3(4)	1.0	10	A
30 05 1982	11 09 55.6	37.85N	26.58E	3.6(2)	2.5	8	B
31 05 1982	02 00 03.5	40.27N	28.97E	2.5(2)	0.5	7	A
31 05 1982	02 46 39.6	38.28N	25.76E	3.4(1)	2.8	6	B

TARIH	OLUS ZAMANI	ENLEM	BOYLAM	MAGNITUD	RMS	NA	KALITE
01 06 1982	10 27 09.6	41.35N	29.55E	2.6(1)	0.6	5	A
01 06 1982	11 32 04.7	39.13N	27.77E	3.6(4)	0.7	11	A
02 06 1982	17 43 44.5	38.58N	27.82E	3.1(1)	1.5	5	B
02 06 1982	18 04 29.7	39.38N	29.09E	3.5(3)	1.5	11	A
02 06 1982	18 18 38.9	39.54N	29.30E	2.7(2)	1.7	6	C
03 06 1982	02 32 43.2	37.06N	28.42E	3.7(2)	0.6	6	A
03 06 1982	14 22 32.6	39.38N	29.18E	3.5(2)	1.8	12	A
03 06 1982	18 43 09.3	40.77N	28.00E	2.9(2)	0.6	7	A
04 06 1982	19 32 38.3	37.40N	28.36E	3.6(2)	2.3	5	B
04 06 1982	21 38 11.7	39.05N	27.58E	3.2(2)	1.3	11	A
04 06 1982	21 40 44.2	38.97N	28.05E	2.9(1)	1.0	5	A
06 06 1982	01 32 43.0	38.90N	26.10E				G
06 06 1982	05 33 01.7	39.37N	25.51E	3.9(2)	1.0	9	A
07 06 1982	00 31 27.7	37.19N	27.76E	4.4(5)	1.0	11	A
07 06 1982	01 36 43.8	36.93N	27.70E	3.6(2)	1.7	5	B
07 06 1982	07 06 26.1	39.24N	29.23E	2.4(2)	1.4	5	A
07 06 1982	10 11 03.9	37.17N	27.62E	3.7(2)	3.0	7	B
07 06 1982	16 48 50.3	37.13N	27.76E	4.1(3)	1.0	6	A
09 06 1982	04 13 39.2	40.43N	28.81E	4.3(4)	1.3	11	A
09 06 1982	12 19 28.0	40.30N	25.20E	3.8(1)			G
10 06 1982	02 25 33.9	37.08N	27.68E	3.7(1)	2.6	5	B
09 06 1982	12 57 18.3	40.20N	25.81E	3.8(1)	1.6	5	B
10 06 1982	02 27 25.9	37.50N	27.95E	3.7(1)	3.8	5	C
10 06 1982	06 27 15.6	36.29N	30.80E	3.9(4)	0.4	5	A
10 06 1982	22 04 43.0	39.46N	29.15E	2.8(2)	1.5	9	A
11 06 1982	08 26 55.8	39.15N	27.50E	3.1(1)	1.6	6	B
11 06 1982	09 57 50.0	40.30N	25.70E	2.9(1)			G
11 06 1982	10 44 26.4	37.31N	27.94E	4.1(3)	1.2	6	A
11 06 1982	18 17 44.8	39.39N	25.96E	3.8(1)	1.9	8	B
12 06 1982	03 16 11.7	37.41N	28.36E	4.0(1)	2.5	5	B
12 06 1982	03 44 24.0	37.10N	27.80E	3.7(1)			G
12 06 1982	06 48 46.0	37.14N	27.75E	3.9(3)	1.4	6	A
12 06 1982	07 19 41.3	37.07N	27.78E	4.2(4)	0.8	9	A
12 06 1982	08 24 24.8	40.26N	29.39E	2.7(2)	0.3	6	A
12 06 1982	09 04 34.8	36.98N	27.96E	3.5(2)	3.6	5	C
12 06 1982	10 23 53.6	40.38N	28.88E	2.7(1)	0.9	6	A
12 06 1982	10 37 59.6	37.12N	27.78E	4.3(4)	1.0	7	A
12 06 1982	16 43 19.9	37.43N	27.93E	3.9(1)	2.7	5	B
12 06 1982	22 37 12.8	37.36N	28.00E	3.7(1)	2.2	5	B
12 06 1982	22 40 06.5	37.11N	27.77E	3.6(2)	1.1	6	A
13 06 1982	02 10 11.9	37.43N	27.97E	3.6(1)	2.8	5	B
13 06 1982	04 17 18.9	37.12N	27.67E	3.7(1)	2.8	5	B
13 06 1982	04 57 07.2	37.48N	28.31E	3.6(1)	3.0	5	B
13 06 1982	06 05 53.1	39.46N	29.42E	2.5(2)	0.8	6	A
13 06 1982	14 34 40.4	40.39N	28.82E				
14 06 1982	16 05 12.8	39.42N	28.02E	2.7(1)	0.6	5	A
15 06 1982	15 08 41.3	40.40N	28.89E	2.4(2)	0.3	8	A
15 06 1982	17 11 41.6	39.30N	27.82E	3.3(4)	1.0	11	A
15 06 1982	20 01 52.2	40.38N	28.79E	2.5(1)	0.6	5	A
15 06 1982	21 32 31.5	40.41N	28.87E	2.5(2)	0.4	8	A
16 06 1982	21 04 25.6	40.43N	26.35E	3.1(1)	3.6	5	C
18 06 1982	05 28 35.5	40.21N	25.32E	3.6(1)	1.5	7	B
19 06 1982	09 06 27.3	40.39N	26.99E	2.5(1)	0.3	5	A

TARIH	OLUS	ZAMANI	ENLEM	BOYHAM	MAGNİTUD	RMS	NA	KALİTE
19 06 1982	09 07	31.3	40.25N	27.01E	3.3(1)	0.2	7	A
19 06 1982	11 15	06.0	37.40N	28.30E	3.5(2)		C	G
19 06 1982	17 22	38.0	39.20N	25.70E			C	G
19 06 1982	22 12	42.7	37.03N	27.86E	3.6(1)	1.1	5	A
20 06 1982	10 51	58.2	37.24N	27.79E	3.8(2)	2.0	5	B
20 06 1982	13 57	15.3	40.13N	25.46E	4.1(3)	1.8	11	A
20 06 1982	14 02	38.0	40.30N	25.80E	3.1(1)		C	G
20 06 1982	14 29	02.2	40.10N	25.40E			C	G
20 06 1982	14 34	17.0	40.30N	25.40E			C	G
20 06 1982	17 26	25.0	40.20N	25.50E			C	G
20 06 1982	23 04	35.0	39.70N	25.60E	3.2(1)		C	G
22 06 1982	00 57	46.6	37.31N	27.88E	3.8(2)	1.8	5	B
22 06 1982	05 54	51.2	40.09N	25.56E		1.3	6	A
22 06 1982	10 58	03.8	40.02N	25.90E		0.8	6	A
22 06 1982	22 23	41.3	38.52N	25.48E	3.5(1)	0.7	7	A
22 06 1982	22 31	11.5	39.36N	29.16E	2.8(1)	0.7	6	A
22 06 1982	23 38	14.8	40.27N	25.70E	4.3(2)	0.7	12	A
22 06 1982	23 45	12.5	40.45N	25.35E	3.8(1)	1.0	9	A
23 06 1982	03 45	42.0	40.30N	26.00E	3.1(1)		C	G
23 06 1982	18 55	57.1	40.40N	28.87E	2.5(1)	1.0	8	A
24 06 1982	02 12	44.9	40.73N	27.38E		0.4	5	A
24 06 1982	05 33	59.6	37.73N	27.65E	3.4(1)	2.4	6	B
24 06 1982	17 49	17.8	40.20N	25.50E			C	G
25 06 1982	16 52	34.2	38.82N	25.62E	4.0(2)	0.6	8	A
26 06 1982	22 04	08.9	40.46N	28.86E	3.1(3)	1.3	8	A
27 06 1982	00 25	14.7	39.33N	29.02E	2.8(1)	0.3	5	A
27 06 1982	07 07	23.6	39.05N	28.58E	2.8(2)	1.3	6	A
27 06 1982	13 03	18.3	40.34N	28.84E	2.7(2)	0.3	5	A
28 06 1982	09 29	49.2	37.10N	27.70E	4.5(3)	1.5	8	A
28 06 1982	13 50	22.8	37.34N	27.67E	3.8(2)	4.4	5	C
28 06 1982	20 17	03.8	37.16N	27.45E	3.4(2)	5.1	5	C
28 06 1982	23 31	46.4	40.38N	27.41E	2.5(1)	1.3	6	A
29 06 1982	03 13	08.0	37.40N	28.00E	3.7(2)		C	G
29 06 1982	06 57	41.9	37.13N	27.85E	4.6(3)	1.9	8	B
29 06 1982	09 02	03.0	37.20N	27.60E	3.7(2)		C	G
29 06 1982	09 33	57.0	37.30N	27.90E	3.9(2)		C	G
29 06 1982	10 37	34.6	36.97N	27.79E	3.9(3)	2.0	5	B
29 06 1982	19 24	30.3	39.18N	27.73E	3.0(1)	1.3	6	A
30 06 1982	04 41	44.4	40.26N	25.88E	3.4(2)	2.3	7	B

TARIH	OLUS ZAMANI	ENLEM	BOYHAM	MAGNITUD	RMS	NA	KALITE
01 07 1982	18 52 45.0	38.53N	26.56E	3.2(1)	2.3	5	B
02 07 1982	01 11 36.2	40.53N	30.19E	2.5(2)	1.1	5	A
02 07 1982	02 01 48.4	39.34N	27.84E	2.1(1)	1.0	6	A
02 07 1982	23 49 48.8	39.10N	27.67E	2.1(1)	0.5	5	A
03 07 1982	17 59 31.5	37.08N	28.79E	3.8(5)	1.5	10	A
04 07 1982	11 20 08.1	39.44N	29.54E	3.0(3)	2.6	13	A
04 07 1982	22 49 04.7	38.60N	26.91E	3.3(2)	1.3	6	A
05 07 1982	08 50 15.9	41.07N	28.52E	2.6(1)	1.0	6	A
05 07 1982	19 52 59.0	39.84N	28.75E	2.6(2)	2.0	5	B
06 07 1982	00 16 21.8	39.33N	25.43E		2.8	5	B
06 07 1982	01 11 24.0	39.30N	25.60E			C	G
06 07 1982	18 41 32.6	39.50N	25.20E			C	G
06 07 1982	22 27 42.3	36.76N	27.64E	3.8(2)	0.6	5	A
07 07 1982	03 05 11.3	40.47N	28.84E	2.9(4)	2.7	12	A
07 07 1982	06 48 19.0	40.74N	27.46E		1.6	6	B
07 07 1982	06 50 09.2	40.83N	27.60E	2.1(2)	0.5	6	A
07 07 1982	08 02 18.6	39.09N	27.76E	2.6(1)	0.3	5	A
07 07 1982	08 29 30.4	39.02N	27.91E	2.7(1)	0.3	5	A
07 07 1982	14 39 27.0	38.30N	26.50E	3.2(1)		C	G
08 07 1982	02 28 05.6	38.87N	26.76E		0.9	6	A
08 07 1982	04 01 06.8	38.25N	26.90E	3.3(1)	1.0	5	A
08 07 1982	07 51 42.3	40.15N	25.51E	3.5(1)	1.8	5	B
08 07 1982	10 35 23.9	39.12N	25.18E	4.6(3)	0.6	11	A
08 07 1982	11 29 37.6	39.11N	25.19E	4.1(2)	1.0	11	A
08 07 1982	14 38 12.2	36.74N	28.30E	3.5(2)	0.7	5	A
10 07 1982	07 15 17.0	39.45N	26.07E	2.9(1)	0.2	5	A
11 07 1982	03 35 31.0	40.78N	27.52E	2.7(2)	0.2	7	A
11 07 1982	14 02 28.0	39.42N	26.37E	3.2(1)	3.2	5	C
11 07 1982	15 46 39.4	38.83N	31.45E	3.2(4)	0.9	7	A
11 07 1982	17 49 09.9	39.25N	25.96E	3.0(1)	1.6	5	B
11 07 1982	21 41 57.9	39.29N	29.14E	2.5(3)	0.9	6	A
12 07 1982	00 05 36.0	39.28N	25.15E	3.9(4)	0.6	13	A
12 07 1982	03 34 41.2	40.50N	28.07E	2.6(2)	0.5	7	A
12 07 1982	14 46 10.9	41.05N	27.67E	4.1(4)	1.2	11	A
12 07 1982	18 42 01.4	40.95N	27.80E	2.3(2)	1.3	7	A
12 07 1982	19 09 13.4	40.95N	27.79E	2.7(2)	1.2	7	A
12 07 1982	22 51 28.4	39.25N	25.40E	3.8(3)	0.5	11	A
12 07 1982	23 51 42.1	41.03N	27.80E	2.5(2)	0.2	6	A
13 07 1982	00 24 17.6	41.02N	27.94E	2.4(1)	1.0	6	A
13 07 1982	01 30 14.5	41.01N	27.81E	2.9(2)	0.2	6	A
13 07 1982	11 22 04.3	40.47N	28.87E	2.9(4)	1.6	9	A
13 07 1982	17 53 28.9	39.87N	25.65E	3.8(2)	4.2	5	C
13 07 1982	21 25 21.9	38.10N	27.60E	3.4(2)	0.9	5	A
13 07 1982	22 01 48.0	38.10N	27.60E			C	G
14 07 1982	04 41 12.5	38.82N	28.02E	2.9(1)	1.9	5	B
14 07 1982	21 12 19.5	39.88N	25.03E	3.9(3)	2.9	6	B
15 07 1982	17 25 42.0	40.66N	29.87E	3.2(4)	1.0	11	A
16 07 1982	06 17 09.3	39.42N	28.03E	2.8(2)	1.0	6	A
17 07 1982	01 29 32.0	39.20N	26.00E	3.2(1)		C	G
17 07 1982	07 33 48.3	40.08N	27.65E	2.3(1)	0.2	6	A
17 07 1982	09 08 43.9	41.01N	27.74E	2.3(1)	0.3	7	A
18 07 1982	09 24 49.2	40.16N	29.19E	2.4(1)	2.8	7	B
18 07 1982	12 37 50.7	40.56N	27.37E	2.2(2)	0.4	5	A

TARIH	OLUS ZAMANI	ENLEM	BOY LAM	MAGNİTUD	RMS	NA	KALİTE
18 07 1982	13 41 55.8	39.27N	25.35E	4.5(2)	0.5	12	A
18 07 1982	18 34 22.3	40.42N	28.86E	2.6(2)	0.8	12	A
18 07 1982	19 48 16.1	39.09N	27.01E		0.6	5	A
19 07 1982	02 24 29.2	38.95N	27.09E	3.3(3)	0.7	8	A
19 07 1982	02 24 57.9	42.02N	29.30E	3.0(1)	1.8	5	B
19 07 1982	03 36 17.6	39.21N	25.79E	3.4(1)	2.4	6	B
19 07 1982	16 36 59.6	39.09N	27.65E		0.6	5	A
20 07 1982	01 16 56.4	40.36N	28.84E	2.1(2)	0.4	5	A
21 07 1982	04 55 18.8	40.76N	27.41E	2.1(1)	0.4	5	A
21 07 1982	09 48 21.0	41.60N	28.09E	2.4(2)	0.6	6	A
21 07 1982	12 54 50.8	39.88N	27.21E	3.0(2)	1.4	6	A
22 07 1982	02 38 55.7	39.51N	29.34E	2.7(2)	0.2	5	A
22 07 1982	12 38 32.3	39.15N	24.78E	4.6(2)	0.5	8	A
22 07 1982	13 52 37.0	39.90N	25.50E	3.9(1)		C	
22 07 1982	18 56 29.2	39.96N	29.35E	3.1(2)	3.4	5	C
22 07 1982	19 48 07.0	40.92N	28.05E		1.0	5	A
22 07 1982	19 57 30.8	39.29N	25.74E	4.2(2)	1.3	7	A
23 07 1982	00 38 47.9	39.20N	25.11E	4.6(2)	0.7	8	A
24 07 1982	03 28 23.1	38.84N	26.93E	2.8(2)	0.2	5	A
24 07 1982	08 19 52.7	38.52N	27.33E	3.5(2)	1.0	5	A
25 07 1982	20 34 13.8	40.33N	29.42E	2.4(3)	0.6	6	A
26 07 1982	02 55 03.2	39.10N	25.55E	3.5(2)	0.9	6	A
26 07 1982	08 23 33.7	38.91N	27.93E	2.6(2)	0.9	5	A
26 07 1982	10 21 39.0	39.20N	25.30E			C	
26 07 1982	14 29 58.0	38.98N	25.35E	3.8(2)	1.4	5	A
26 07 1982	20 47 26.0	38.84N	26.92E	3.0(2)	0.6	6	A
26 07 1982	22 53 19.8	39.20N	25.67E	3.5(1)	1.0	5	A
27 07 1982	08 38 47.0	40.33N	28.92E	2.7(2)	0.6	8	A
27 07 1982	10 23 16.2	40.44N	28.82E	4.2(4)	1.4	10	A
27 07 1982	12 05 17.0	40.41N	28.89E	2.3(1)	1.0	6	A
27 07 1982	21 45 02.3	40.39N	28.91E	2.5(2)	0.9	9	A
28 07 1982	07 25 55.5	38.88N	27.77E	2.8(2)	0.9	6	A
28 07 1982	15 46 27.3	39.20N	28.04E	2.6(2)	0.9	5	A
28 07 1982	18 56 04.6	39.19N	28.08E	2.8(1)	0.8	5	A
28 07 1982	20 57 42.0	40.40N	28.88E		0.3	7	A
28 07 1982	23 01 08.3	39.16N	27.71E	3.0(2)	1.4	8	A
28 07 1982	23 30 35.2	39.51N	25.54E	3.3(2)	0.9	5	A
29 07 1982	08 -05 33.4	40.28N	29.20E	2.4(1)	0.9	5	A
29 07 1982	13 55 13.3	38.92N	27.33E	2.7(2)	0.8	5	A
29 07 1982	16 00 27.7	39.14N	27.61E	2.3(1)	0.4	5	A
29 07 1982	21 03 19.7	38.92N	27.37E	3.0(2)	1.1	5	A
29 07 1982	23 36 26.1	39.41N	26.34E	3.2(2)	0.5	5	A
30 07 1982	21 31 23.4	40.65N	27.28E	3.0(3)	2.7	9	A
31 07 1982	10 09 14.6	38.91N	27.77E	3.3(1)	1.0	6	A
31 07 1982	10 29 53.3	38.77N	28.37E	3.1(1)	0.5	5	A
31 07 1982	11 07 19.0	40.10N	28.96E	3.7(4)	1.1	10	A
31 07 1982	11 23 52.7	40.13N	28.85E	2.5(3)	0.8	5	A
31 07 1982	15 35 08.1	38.77N	28.37E	2.8(1)	0.4	6	A
31 07 1982	17 08 52.9	38.92N	27.84E	2.5(1)	0.7	5	A
31 07 1982	23 34 55.0	39.20N	25.90E			C	G

TARIH	OLUS	ZAMANI	ENLEM	BOYHAM	MAGNİTUD	RMS	NA	KALİTE
01	08	1982	10 02	30.9	40.37N	28.87E	2.3(3)	0.5 5 A
01	08	1982	13 41	17.0	39.37N	25.98E	3.8(3)	0.8 8 A
02	08	1982	02 04	35.7	39.32N	25.89E	3.8(3)	0.9 8 A
02	08	1982	12 04	07.8	40.82N	29.26E		0.4 5 A
02	08	1982	21 54	26.0	38.60N	26.60E	3.2(2)	
03	08	1982	04 59	10.6	39.15N	27.85E	2.3(1)	0.4 6 A
03	08	1982	13 34	58.0	39.23N	27.78E	2.8(2)	0.8 6 A
03	08	1982	15 03	21.2	39.20N	27.99E	3.4(3)	0.3 8 A
04	08	1982	14 05	09.5	39.18N	27.90E	2.7(2)	0.8 6 A
04	08	1982	16 46	50.0	40.33N	27.92E	2.6(1)	0.9 5 A
04	08	1982	17 12	12.2	40.31N	28.89E	2.5(3)	0.8 6 A
05	08	1982	04 03	29.0	39.35N	25.93E	3.5(4)	0.7 10 A
05	08	1982	11 45	10.3	39.40N	25.78E	3.5(1)	2.0 5 B
06	08	1982	02 59	13.0	40.10N	25.60E	3.0(1)	
06	08	1982	03 01	07.0	40.30N	25.30E	3.4(3)	
06	08	1982	13 03	20.8	39.28N	25.43E	4.1(3)	0.7 10 A
06	08	1982	15 01	26.9	40.76N	30.30E		2.2 5 B
06	08	1982	19 12	48.1	40.71N	29.57E		1.4 6 A
06	08	1982	23 42	46.0	38.64N	28.18E	2.6(1)	1.2 6 A
07	08	1982	04 00	56.4	38.95N	27.71E	3.4(3)	1.2 10 A
07	08	1982	06 39	20.8	38.63N	28.18E	3.0(2)	0.9 6 A
07	08	1982	14 25	52.6	38.84N	27.88E	3.0(2)	0.7 6 A
07	08	1982	14 36	06.7	39.10N	27.62E		0.3 5 A
08	08	1982	21 33	22.6	39.03N	27.80E	3.2(2)	1.9 8 B
08	08	1982	22 42	16.3	38.96N	27.00E	2.9(2)	0.6 6 A
09	08	1982	05 59	40.5	40.76N	28.62E	2.8(2)	1.3 9 A
09	08	1982	09 31	59.7	39.07N	27.98E	3.3(1)	1.4 5 A
09	08	1982	13 47	20.8	39.26N	27.97E	3.4(4)	1.9 8 B
09	08	1982	22 58	37.3	38.94N	27.87E	2.9(1)	0.7 6 A
10	08	1982	04 28	35.5	39.15N	27.75E	2.9(2)	2.3 10 A
10	08	1982	11 14	31.8	40.23N	27.34E	3.0(3)	1.9 7 B
10	08	1982	21 35	58.8	40.11N	27.16E		0.9 6 A
11	08	1982	21 34	30.8	39.36N	27.98E	2.5(1)	0.6 5 A
11	08	1982	21 49	12.6	39.28N	29.01E	2.8(2)	1.6 8 B
13	08	1982	09 47	03.8	37.68N	29.03E	3.3(3)	4.7 5 C
14	08	1982	02 12	24.2	40.85N	27.64E	2.6(2)	1.9 6 B
14	08	1982	22 03	00.4	39.34N	28.12E	2.6(1)	1.3 6 A
15	08	1982	03 10	24.0	40.36N	28.85E	2.4(1)	0.3 5 A
15	08	1982	04 56	19.8	39.36N	29.95E	3.1(2)	1.6 7 B
15	08	1982	17 26	06.5	40.67N	27.61E	2.8(2)	0.8 6 A
15	08	1982	17 27	30.8	39.50N	25.99E	3.4(1)	0.8 5 A
16	08	1982	11 58	01.6	40.11N	28.80E	2.2(3)	0.9 5 A
16	08	1982	12 09	01.9	40.12N	28.86E	2.5(2)	0.6 7 A
16	08	1982	19 37	55.2	39.20N	27.88E		1.0 5 A
16	08	1982	21 06	31.2	39.29N	27.99E	2.6(1)	0.5 5 A
16	08	1982	22 40	09.9	39.00N	27.89E	2.4(2)	0.6 6 A
16	08	1982	23 14	06.0	39.28N	28.02E	2.7(2)	0.6 5 A
17	08	1982	16 55	52.5	39.00N	27.82E	3.0(1)	1.2 5 A
17	08	1982	22 01	46.3	39.35N	25.26E	4.0(3)	0.6 10 A
18	08	1982	02 36	52.6	37.05N	30.38E	3.4(2)	1.6 6 B
19	08	1982	14 31	24.7	39.29N	25.03E	4.0(2)	0.8 9 A
20	08	1982	11 19	28.6	39.99N	25.13E	3.6(1)	1.7 5 B
21	08	1982	20 06	56.8	40.18N	28.83E	2.2(1)	0.5 5 A

TARIH	OLUS ZAMANI	ENLEM	BOYHAM	MAGNITUD	RMS	NA	KALITE
22 08 1982	23 33 51.0	38.98N	28.00E	2.7(1)	1.1	5	A
23 08 1982	05 00 50.0	36.98N	30.15E	4.0(2)	3.2	6	C
23 08 1982	06 14 01.9	39.43N	25.90E	2.8(1)	0.7	5	A
23 08 1982	05 47 00.0	38.40N	26.40E			C	G
23 08 1982	07 17 15.9	39.40N	26.21E	3.4(2)	1.5	10	A
23 08 1982	10 54 45.5	40.56N	30.04E	2.4(2)	0.6	7	A
23 08 1982	23 26 10.9	39.22N	27.63E	3.1(3)	2.2	8	B
24 08 1982	17 14 11.1	39.30N	29.05E	2.8(4)	0.7	6	A
24 08 1982	17 51 05.9	38.56N	26.65E		1.6	5	B
25 08 1982	00 20 05.2	40.79N	28.24E		0.4	6	A
25 08 1982	13 37 11.2	40.17N	28.46E	2.4(2)	0.2	6	A
26 08 1982	07 26 31.2	40.38N	28.76E	2.4(3)	0.4	5	A
26 08 1982	19 23 00.4	40.96N	27.86E	3.6(3)	1.7	9	A
27 08 1982	05 48 58.9	38.96N	27.00E	3.0(2)	1.7	5	B
27 08 1982	19 45 48.8	39.33N	29.14E	2.8(4)	1.4	10	A
29 08 1982	03 47 26.8	40.47N	27.19E		0.5	5	A
29 08 1982	20 50 24.0	38.90N	26.20E	3.0(1)		C	G
30 08 1982	02 15 15.8	38.07N	31.55E	3.1(4)	0.6	6	A
30 08 1982	04 16 00.7	38.85N	27.68E	2.7(2)	0.2	5	A
30 08 1982	06 47 24.7	41.18N	29.17E		0.6	5	A
30 08 1982	11 13 42.5	39.98N	27.94E	2.5(2)	0.4	5	A
30 08 1982	17 44 10.9	40.93N	27.62E	2.5(2)	0.9	5	A
30 08 1982	19 05 18.3	36.76N	27.55E	3.9(3)	0.6	7	A
30 08 1982	23 23 01.2	39.56N	28.25E	2.6(3)	1.9	6	B
31 08 1982	03 51 57.3	39.63N	28.16E	2.6(3)	4.2	5	C
31 08 1982	04 34 11.4	39.43N	28.40E	2.7(3)	0.5	7	A
31 08 1982	07 00 46.5	40.70N	28.03E	2.3(2)	0.8	5	A
31 08 1982	09 58 00.8	38.78N	26.34E	3.4(2)	0.4	5	A
31 08 1982	10 12 02.4	38.92N	26.97E	3.1(2)	0.5	5	A
31 08 1982	11 58 36.2	38.85N	27.04E		1.5	5	B
31 08 1982	15 58 55.5	39.24N	25.58E	3.8(2)	1.9	9	A

TARIH	OLUS	ZAMANI	ENLEM	BOYHAM	MAGNİTUD	RMS	NA	KALİTE
02 09 1982	C2	10 11.4	39.37N	27.73E	2.4(2)	0.3	5	A
03 09 1982	19	30 06.8	40.44N	27.32E	3.0(2)	0.8	7	A
04 09 1982	06	52 54.3	39.65N	28.50E	3.6(3)	2.9	9	A
04 09 1982	07	01 54.1	39.62N	28.45E	3.3(4)	3.1	9	B
04 09 1982	12	12 02.2	39.63N	28.75E	2.7(2)	0.8	5	A
04 09 1982	18	26 35.2	39.02N	29.29E	2.6(2)	0.6	5	A
05 09 1982	11	15 10.1	40.70N	29.97E	3.0(3)	1.2	9	A
05 09 1982	15	03 57.3	39.64N	28.77E	2.4(1)	0.7	5	A
06 09 1982	09	11 34.5	41.18N	29.47E		0.3	5	A
07 09 1982	10	52 30.8	39.26N	29.00E	2.7(3)	1.2	6	A
07 09 1982	20	24 09.1	38.65N	25.97E	3.8(2)	0.7	5	A
08 09 1982	17	55 04.6	37.80N	26.72E	4.0(5)	3.6	10	B
08 09 1982	18	42 33.9	37.80N	26.92E	3.5(1)	2.0	5	B
09 09 1982	05	40 22.7	41.06N	27.74E	2.3(1)	0.3	5	A
09 09 1982	05	47 00.9	41.06N	27.63E		0.8	6	A
09 09 1982	05	47 13.4	41.03N	27.67E		1.6	7	B
09 09 1982	08	32 26.1	41.32N	29.29E	2.4(2)	2.1	5	B
09 09 1982	09	12 13.3	39.66N	28.60E		0.8	5	A
09 09 1982	12	31 16.0	38.88N	27.56E	2.9(2)	0.5	5	A
09 09 1982	14	06 05.8	40.96N	28.02E		1.5	6	B
09 09 1982	20	06 03.9	39.57N	28.59E	2.6(3)	1.0	6	A
10 09 1982	11	39 54.3	40.19N	29.53E	2.5(3)	0.5	6	A
11 09 1982	02	39 29.6	40.44N	27.74E	2.2(3)	0.5	6	A
11 09 1982	03	45 44.9	40.47N	27.67E	2.3(3)	0.4	6	A
11 09 1982	10	54 11.5	40.48N	25.88E	4.2(4)	2.0	10	A
11 09 1982	18	48 31.8	39.36N	27.78E	3.3(4)	1.0	11	A
11 09 1982	19	11 06.6	38.97N	26.99E		0.8	5	A
12 09 1982	02	06 34.1	39.38N	27.73E	3.2(3)	0.9	8	A
12 09 1982	03	36 09.0	38.96N	30.31E	2.9(3)	3.2	8	B
12 09 1982	04	15 41.7	40.27N	28.81E	2.6(2)	0.6	7	A
13 09 1982	00	03 01.6	39.16N	29.24E	2.6(3)	0.6	5	A
13 09 1982	07	27 41.0	39.26N	26.69E	3.4(1)	1.9	5	B
14 09 1982	22	42 14.5	39.15N	28.95E	2.8(3)	1.6	8	B
15 09 1982	08	01 38.0	40.49N	29.10E	2.9(3)	0.7	7	A
15 09 1982	22	23 28.1	39.40N	25.91E	3.8(3)	0.9	8	A
17 09 1982	06	03 05.1	38.20N	27.10E			C	G
18 09 1982	11	55 38.4	37.73N	26.88E	3.8(1)	1.9	5	B
19 09 1982	08	39 35.1	37.71N	26.68E	4.0(2)	1.4	6	A
19 09 1982	18	30 20.3	40.10N	25.20E			C	G
19 09 1982	20	23 03.6	39.20N	25.18E	3.3(1)	2.9	5	B
19 09 1982	23	06 53.4	39.11N	26.28E	3.4(1)	2.7	5	B
20 09 1982	08	55 01.2	41.28N	29.61E	2.7(3)	0.5	5	A
20 09 1982	20	04 20.3	38.92N	26.43E	3.8(2)	1.2	7	A
21 09 1982	08	24 07.1	39.29N	27.55E	3.1(2)	2.1	10	A
24 09 1982	22	59 46.2	40.99N	29.45E	2.6(3)	1.7	7	B
25 09 1982	05	02 47.8	40.73N	30.06E	2.8(3)	2.3	9	A
25 09 1982	09	36 25.8	39.25N	29.01E	2.8(1)	0.9	5	A
25 09 1982	12	03 06.5	36.42N	28.56E	3.4(1)	3.7	5	C
25 09 1982	20	18 24.3	40.56N	29.90E	2.7(3)	1.9	8	B
26 09 1982	11	08 31.4	39.45N	25.62E	3.9(2)	0.8	7	A
26 09 1982	21	40 06.1	39.17N	27.91E	3.4(4)	1.0	9	A
28 09 1982	00	44 41.6	40.73N	27.39E	3.1(2)	1.9	9	A
28 09 1982	06	46 11.4	39.35N	28.33E	2.7(2)	1.4	7	A

TARİH	OLUS ZAMANI	ENLEM	BOYLAM	MAGNİTUD	RMS	NA	KALİTE
28 09 1982	15 19 14.6	39.45N	28.39E	2.6(1)	0.6	5	A
28 09 1982	17 08 52.9	39.43N	29.18E	2.5(2)	0.9	6	A
28 09 1982	19 19 13.3	40.57N	27.05E	2.7(1)	1.0	5	A
29 09 1982	19 06 04.2	39.02N	30.77E	2.8(3)	1.2	7	A
30 09 1982	01 40 24.9	40.03N	27.51E	3.1(3)	2.2	9	A

TARIH	OLUS ZAMANI	ENLEM	BOYHAM	MAGNİTUD	RMS	NA	KALITE
02 10 1982	00 12 51.1	40.67N	27.58E	2.7(2)	0.6	5	A
04 10 1982	02 58 16.5	40.58N	29.06E	2.8(3)	1.8	9	A
04 10 1982	09 53 33.7	39.88N	27.28E	2.5(1)	2.7	5	B
06 10 1982	02 46 57.6	38.90N	31.17E		1.5	5	B
06 10 1982	03 59 13.8	39.85N	28.86E	2.8(2)	1.1	6	A
06 10 1982	10 36 27.4	40.83N	29.31E	2.9(1)	1.9	5	B
07 10 1982	05 56 12.2	37.14N	28.81E	3.3(2)	0.9	5	A
08 10 1982	21 36 29.0	40.14N	27.53E	3.2(3)	1.3	9	A
09 10 1982	10 32 49.0	39.40N	26.70E	3.3(1)		C	G
09 10 1982	18 13 58.0	39.30N	25.70E			C	G
10 10 1982	00 59 19.0	39.17N	29.62E	3.0(5)	1.5	11	A
10 10 1982	10 54 03.5	39.70N	26.10E			C	G
11 10 1982	03 19 48.3	35.87N	27.80E	4.6(4)	0.9	11	A
11 10 1982	11 58 08.0	40.83N	30.45E		0.6	5	A
11 10 1982	15 43 47.6	39.46N	25.54E	3.8(1)	2.4	5	B
12 10 1982	13 02 24.1	40.20N	25.50E			C	G
12 10 1982	17 29 56.7	38.72N	29.79E	3.0(1)	0.9	7	A
12 10 1982	17 47 30.3	40.66N	29.96E		1.1	6	A
13 10 1982	18 39 14.7	40.37N	28.85E	2.3(1)	0.8	7	A
14 10 1982	00 40 51.7	39.56N	29.13E	2.9(1)	1.9	5	B
14 10 1982	02 59 16.5	40.20N	26.47E	3.2(2)	4.2	6	C
14 10 1982	03 27 37.8	40.38N	26.24E	2.6(1)	1.4	7	A
14 10 1982	11 24 10.7	39.35N	27.67E	2.8(1)	0.9	5	A
15 10 1982	10 02 07.9	39.07N	29.91E	3.1(2)	2.4	6	B
15 10 1982	13 13 14.9	38.85N	27.62E	3.3(2)	1.8	6	B
15 10 1982	15 43 22.1	38.83N	27.59E	3.2(2)	1.8	6	B
15 10 1982	17 30 33.6	38.63N	27.52E	3.4(2)	1.6	8	B
16 10 1982	16 27 46.6	39.41N	29.39E		2.3	5	B
18 10 1982	14 52 25.5	40.24N	26.53E	3.1(1)	1.0	5	A
19 10 1982	11 51 04.0	39.04N	27.55E	2.9(1)	1.8	6	B
19 10 1982	21 36 44.3	38.45N	28.36E	3.4(1)	0.4	5	A
20 10 1982	03 02 24.6	40.84N	27.82E	2.5(2)	0.7	7	A
20 10 1982	03 25 10.7	39.28N	29.33E	2.4(2)	0.8	5	A
21 10 1982	00 29 50.1	38.09N	29.87E	2.9(2)	2.9	5	B
21 10 1982	01 13 03.9	39.36N	25.36E	3.5(1)	1.7	6	B
21 10 1982	03 16 48.7	40.39N	27.21E	2.7(2)	0.7	7	A
21 10 1982	07 55 43.6	40.96N	28.29E	2.3(2)	2.9	5	B
22 10 1982	02 54 35.9	40.37N	27.08E	3.7(2)	1.6	11	A
23 10 1982	05 33 05.7	40.66N	27.58E	2.3(1)	1.3	6	A
23 10 1982	09 59 33.2	40.23N	26.86E	3.4(2)	1.2	7	A
23 10 1982	15 30 48.2	40.33N	26.28E		1.7	5	B
23 10 1982	15 34 56.3	40.12N	27.01E	2.5(1)	0.2	5	A
24 10 1982	09 47 33.5	40.14N	27.48E	2.7(1)	0.7	6	A
24 10 1982	10 01 27.6	40.15N	27.43E	2.7(1)	0.7	6	A
25 10 1982	02 44 23.3	40.14N	27.02E		0.3	5	A
25 10 1982	11 45 14.0	38.90N	27.33E	3.0(1)	2.2	5	B
25 10 1982	13 08 39.6	38.20N	27.35E	3.5(1)	1.5	5	B
25 10 1982	15 32 24.5	38.14N	27.08E	3.5(1)	1.2	5	A
25 10 1982	21 48 26.9	40.36N	25.60E	3.7(2)	3.2	8	B
26 10 1982	19 44 57.0	38.76N	28.74E	2.6(1)	1.5	5	B
27 10 1982	07 03 21.9	38.94N	27.06E	3.6(1)	1.0	9	A
27 10 1982	08 53 56.2	39.10N	27.35E	3.2(1)	2.5	7	B
27 10 1982	09 05 27.3	38.98N	27.88E	2.3(1)	1.4	6	A

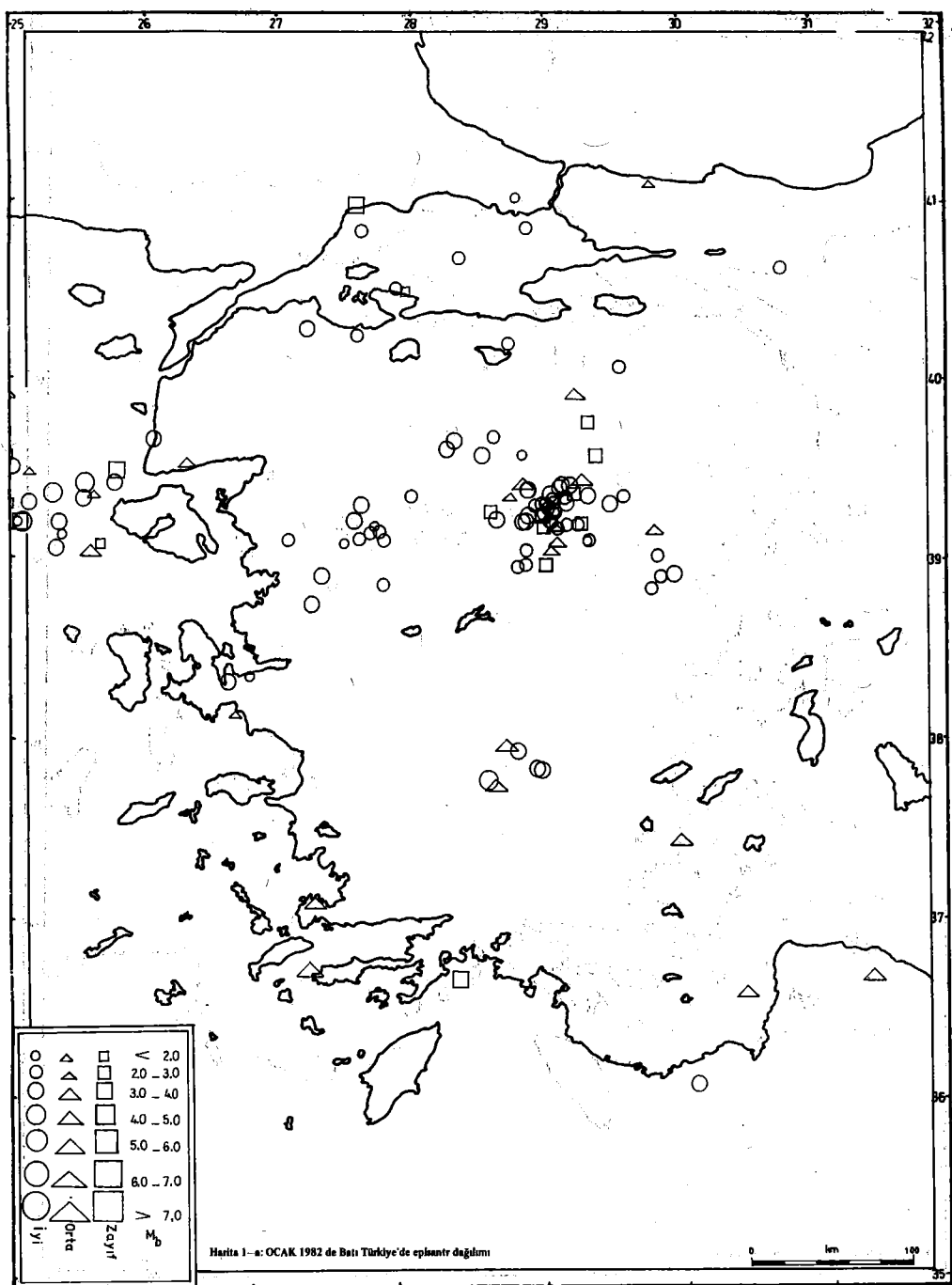
TARIH	OLUS ZAMANI	ENLEM	BOYHAM	MAGNITUD	RMS	NA	KALITE
27 10 1982	15 57 29.3	38.53N	28.27E	2.4(2)	1.1	5	A
27 10 1982	17 04 18.4	39.03N	27.72E	2.6(1)	1.2	5	A
27 10 1982	21 30 58.3	38.97N	27.75E	3.6(4)	1.6	10	A
28 10 1982	04 44 04.7	39.92N	28.92E	2.4(2)	0.6	6	A
28 10 1982	16 58 52.2	38.52N	28.26E	3.3(3)	1.7	9	A
28 10 1982	18 17 42.5	40.57N	27.72E	2.3(3)	0.8	6	A
29 10 1982	03 15 37.7	38.75N	27.51E	2.6(1)	2.3	5	B
29 10 1982	17 39 33.4	38.61N	26.23E	3.1(1)	1.8	6	B
30 10 1982	00 47 21.4	39.15N	27.64E	2.9(2)	2.5	8	B
30 10 1982	00 56 08.9	39.00N	27.86E	2.9(2)	1.0	6	A
30 10 1982	08 48 26.9	39.30N	27.76E	3.6(1)	1.3	12	A
31 10 1982	09 07 34.5	39.23N	27.83E	2.7(2)	0.5	7	A
31 10 1982	09 23 44.3	40.39N	27.80E	2.6(1)	0.6	5	A
31 10 1982	09 43 23.2	29.18N	27.85E	2.7(1)	1.1	6	A
31 10 1982	10 56 00.0	39.20N	25.50E	3.2(1)	C		
31 10 1982	12 08 01.0	38.99N	27.34E	3.1(2)	2.2	6	B

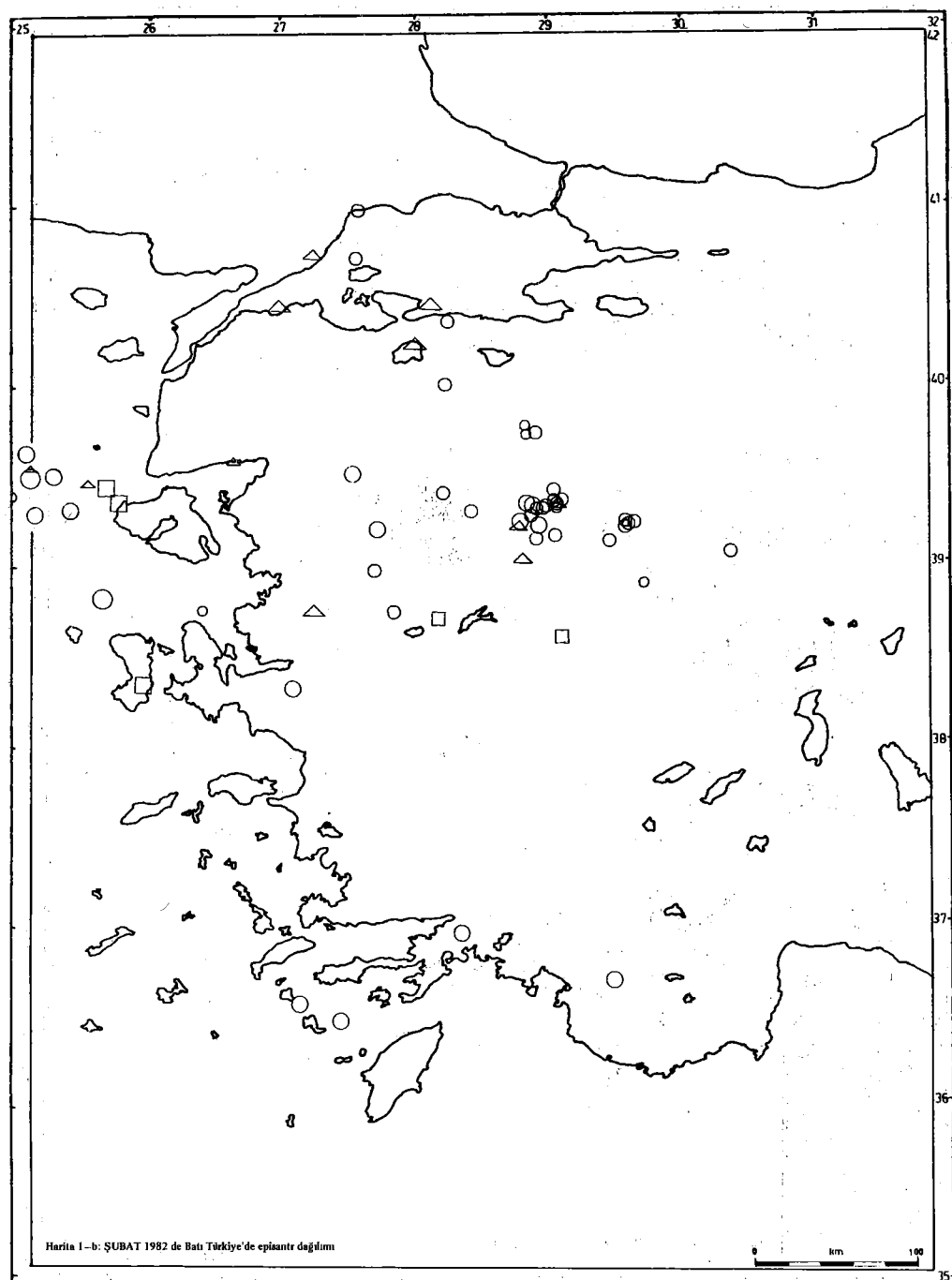
TARIH	ULUS	ZAMANI	ENLEM	BOYHAM	MAGNITUD	RMS	NA KALİTE
01	11	1982	11 13 36.7	40.27N	30.02E	2.3(2)	0.6 5 A
01	11	1982	14 57 32.2	39.13N	27.52E	0.4	5 A
02	11	1982	01 05 08.9	40.76N	27.50E	2.1(1)	0.4 6 A
02	11	1982	01 30 01.5	40.69N	27.56E	2.5(3)	0.8 10 A
02	11	1982	03 20 24.6	40.10N	29.01E	3.2(4)	1.4 11 A
02	11	1982	05 58 48.4	38.49N	28.44E	4.2(5)	0.4 12 A
02	11	1982	10 42 28.0	40.69N	27.49E	2.9(3)	0.8 8 A
03	11	1982	14 21 19.0	39.40N	25.40E	3.3(2)	C G
03	11	1982	21 30 58.9	39.38N	25.35E	3.3(2)	1.1 6 A
04	11	1982	10 00 10.8	38.85N	27.70E	2.9(1)	1.5 5 B
04	11	1982	10 05 30.4	40.22N	26.91E	2.8(3)	0.8 8 A
05	11	1982	06 19 26.7	39.25N	29.12E	2.6(1)	3.9 5 C
05	11	1982	09 01 46.6	41.05N	28.64E	2.5(1)	0.7 5 A
05	11	1982	16 15 30.2	39.93N	29.13E	2.2(1)	0.8 7 A
05	11	1982	18 42 35.2	40.71N	27.57E	2.3(1)	0.8 6 A
06	11	1982	16 50 35.1	40.87N	27.23E		1.3 5 A
08	11	1982	11 46 45.8	38.78N	27.84E	3.1(2)	1.2 7 A
08	11	1982	15 31 44.0	40.81N	28.10E	2.5(2)	0.4 5 A
08	11	1982	19 48 32.5	39.26N	30.61E	2.8(3)	1.0 7 A
09	11	1982	08 06 58.6	39.35N	27.84E	2.3(2)	0.8 5 A
10	11	1982	06 40 32.0	40.40N	25.20E	3.4(1)	C G
10	11	1982	22 23 52.0	39.50N	30.50E	2.9(2)	C G
11	11	1982	02 10 24.1	40.25N	28.97E	2.3(1)	1.2 6 A
11	11	1982	02 14 33.4	40.15N	29.00E	2.6(4)	1.4 7 A
11	11	1982	06 02 45.9	40.60N	29.83E	2.7(4)	1.7 10 A
12	11	1982	00 34 26.5	38.23N	28.37E	2.6(1)	0.5 5 A
12	11	1982	01 25 08.7	39.36N	26.11E	3.5(3)	1.3 8 A
12	11	1982	02 34 57.6	38.69N	26.20E	3.1(2)	1.0 6 A
12	11	1982	09 33 38.7	40.30N	25.10E		C G
12	11	1982	10 49 51.6	39.45N	28.13E	3.1(2)	1.2 8 A
14	11	1982	05 54 29.8	40.43N	28.72E	2.3(1)	0.6 6 A
14	11	1982	09 08 29.9	40.34N	25.35E	4.1(4)	0.7 7 A
14	11	1982	12 23 02.0	39.16N	27.46E		0.5 5 A
14	11	1982	21 16 43.2	40.84N	29.76E	3.1(3)	3.0 5 B
14	11	1982	22 49 33.7	39.14N	27.91E	2.9(2)	0.6 5 A
15	11	1982	02 18 26.7	40.50N	29.17E	2.5(4)	0.5 6 A
15	11	1982	10 29 43.3	38.18N	25.75E	4.0(2)	1.8 5 B
15	11	1982	19 57 27.9	40.28N	29.87E	3.1(5)	1.4 7 A
15	11	1982	22 43 08.0	39.49N	26.01E	3.3(3)	1.2 6 A
15	11	1982	23 35 49.9	38.70N	31.11E	2.9(3)	1.6 5 B
16	11	1982	13 07 23.2	39.47N	25.93E	3.5(2)	1.0 5 A
16	11	1982	22 09 34.4	40.45N	28.85E	2.4(2)	0.5 5 A
19	11	1982	12 51 24.9	39.29N	29.04E	3.2(3)	1.1 5 A
19	11	1982	15 24 28.7	39.29N	29.00E	2.6(3)	1.0 5 A
20	11	1982	05 00 55.4	39.32N	29.08E	3.0(4)	0.9 6 A
21	11	1982	02 45 22.1	39.48N	26.16E	3.8(3)	0.4 5 A
22	11	1982	23 05 20.4	40.35N	28.88E	2.7(3)	0.5 5 A
23	11	1982	04 19 37.9	36.92N	30.27E	3.7(5)	0.7 7 A
23	11	1982	11 49 04.4	37.27N	29.36E	4.2(5)	0.5 7 A
24	11	1982	07 15 15.3	39.31N	29.68E	3.5(5)	1.4 7 A
25	11	1982	03 57 27.3	37.54N	29.53E	3.2(2)	1.1 5 A
25	11	1982	13 22 26.7	40.37N	25.35E	3.7(2)	1.2 5 A
25	11	1982	18 30 50.2	40.78N	27.37E	2.2(2)	1.6 5 B

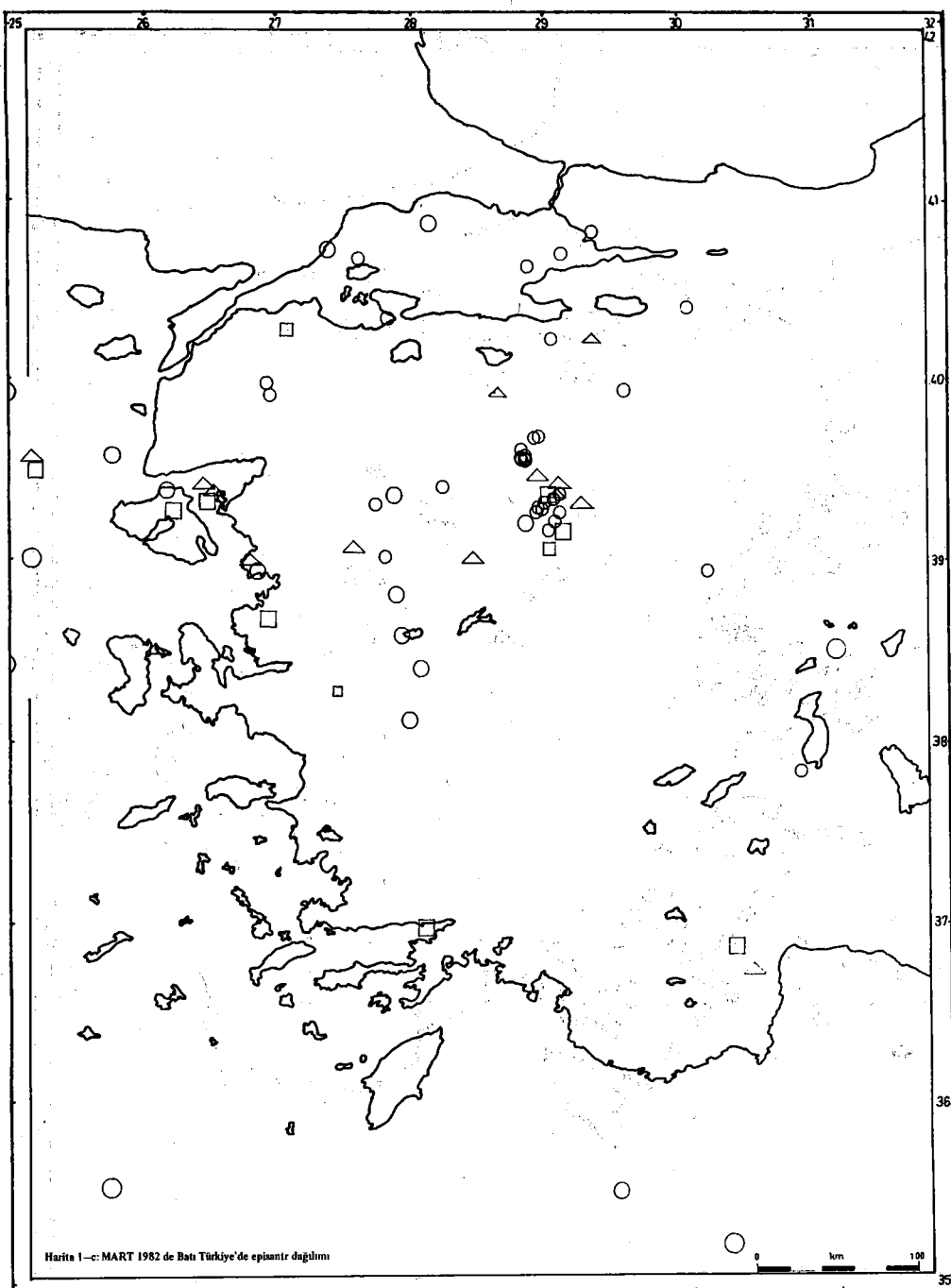
TARIH	OLUS ZAMANI	ENLEM	BOYHAM	MAGNITUD	RMS	NA KALITE
25 11 1982	01 25 41.5	40.80N	27.19E	2.9(3)	4.6	6 C
26 11 1982	01 46 20.2	39.21N	28.78E	2.9(4)	0.8	6 A
27 11 1982	16 07 31.0	40.05N	27.21E	3.1(2)	1.0	6 A
27 11 1982	23 48 08.2	40.68N	27.57E	2.7(2)	0.4	5 A
28 11 1982	12 12 09.1	36.39N	26.15E	4.2(3)	0.7	5 A
28 11 1982	17 40 01.5	38.17N	27.70E	3.3(3)	2.0	7 B
29 11 1982	04 34 43.0	39.68N	28.78E	3.3(3)	0.5	3 A
30 11 1982	12 13 05.2	39.25N	29.64E	2.8(3)	1.2	5 A

TARİH	OLUS ZAMANI	ENLEM	BOYHAM	MAGNİTUD	RMS	NA	KALİTE
03 12 1982	02 49 31.5	39.10N	29.04E	3.2(5)	0.9	9	A
03 12 1982	23 33 28.6	39.11N	25.33E	3.9(2)	0.9	11	A
04 12 1982	05 53 38.4	40.26N	27.50E	2.3(1)	0.8	5	A
05 12 1982	22 49 31.4	39.85N	28.75E	2.6(3)	0.9	5	A
06 12 1982	01 45 44.8	39.15N	29.62E	2.9(4)	1.2	7	A
07 12 1982	02 52 14.3	39.84N	25.77E	3.2(2)	2.1	5	B
07 12 1982	03 05 31.7	38.96N	27.00E	2.8(1)	4.0	6	C
07 12 1982	23 21 53.5	39.41N	25.44E		3.1	5	C
08 12 1982	05 08 22.6	40.14N	27.78E	3.7(3)	1.1	8	A
08 12 1982	07 33 26.0	39.17N	29.40E	2.6(2)	0.5	5	A
08 12 1982	08 55 30.9	38.57N	26.79E	3.3(2)	2.1	6	B
08 12 1982	12 20 16.3	38.89N	27.19E	3.3(1)	2.1	6	B
08 12 1982	19 46 07.7	39.52N	26.96E	2.8(1)	0.7	6	A
11 12 1982	08 28 03.3	38.58N	27.87E	3.4(4)	1.3	9	A
11 12 1982	23 28 07.3	39.50N	26.38E	3.2(1)	1.1	5	A
12 12 1982	00 05 25.4	39.67N	28.73E	3.6(5)	0.9	12	A
12 12 1982	01 32 31.9	39.65N	26.10E	3.3(2)	2.1	6	B
12 12 1982	01 45 25.7	39.74N	26.09E	3.3(2)	1.3	6	A
12 12 1982	04 24 40.8	38.46N	25.68E	3.6(1)	0.7	5	A
13 12 1982	14 58 13.5	40.70N	28.96E	2.3(2)	0.7	9	A
14 12 1982	10 01 58.5	38.63N	27.39E	3.0(1)	0.3	5	A
17 12 1982	06 37 56.8	40.37N	25.88E	3.4(1)	2.1	5	B
18 12 1982	14 42 00.9	38.55N	27.48E	3.0(1)	1.9	5	B
18 12 1982	15 58 34.0	38.50N	27.32E	3.2(3)	2.6	8	B
18 12 1982	18 27 59.9	40.46N	29.87E	2.6(3)	2.0	9	A
20 12 1982	16 56 33.9	40.83N	29.27E	3.1(4)	1.5	8	B
21 12 1982	14 32 44.6	38.70N	27.69E	3.3(1)	1.9	5	B
22 12 1982	07 49 39.5	40.83N	27.45E	2.3(1)	1.7	7	B
22 12 1982	09 27 20.2	39.43N	29.32E	2.5(3)	2.4	7	B
23 12 1982	08 43 12.1	40.99N	28.95E	2.5(1)	1.5	5	A
23 12 1982	19 55 06.0	39.70N	26.50E	3.4(3)		C	G
23 12 1982	20 39 47.7	39.51N	26.30E	3.6(3)	1.1	10	A
23 12 1982	23 01 57.1	39.23N	27.79E	3.4(5)	1.1	12	A
24 12 1982	02 22 44.2	38.84N	28.17E	2.7(2)	1.7	5	B
25 12 1982	09 36 49.3	40.83N	27.64E	2.3(1)	0.2	5	A
26 12 1982	17 48 04.7	39.37N	28.30E	4.0(7)	1.0	13	A
26 12 1982	18 21 34.4	40.84N	27.31E	2.4(3)	1.3	5	A
26 12 1982	19 44 07.2	39.35N	28.49E	2.8(3)	1.2	6	A
26 12 1982	21 08 12.2	39.34N	28.29E	2.7(3)	1.2	7	A
26 12 1982	21 14 01.1	39.35N	28.43E	3.0(5)	1.0	10	A
26 12 1982	23 04 10.6	39.47N	28.38E	2.5(3)	1.5	5	A
27 12 1982	00 19 01.2	39.33N	28.19E	2.7(2)	1.5	5	A
27 12 1982	02 04 47.7	38.95N	27.78E	3.7(6)	0.7	13	A
27 12 1982	02 10 12.5	38.97N	27.81E	3.0(3)	0.8	7	A
27 12 1982	11 02 44.8	39.36N	28.20E	4.0(5)	1.0	12	A
27 12 1982	11 06 29.9	39.38N	28.35E	3.0(1)	0.8	8	A
27 12 1982	11 07 28.2	39.53N	28.18E	3.5(1)	1.6	5	B
27 12 1982	11 28 44.1	39.47N	28.37E	2.7(3)	0.1	5	A
27 12 1982	13 03 06.3	39.37N	28.27E	2.8(2)	0.7	5	A
27 12 1982	15 32 07.7	38.98N	27.81E	3.9(5)	0.6	13	A
27 12 1982	15 40 00.0	39.41N	28.24E	2.9(3)	0.7	10	A
27 12 1982	19 55 26.5	38.96N	27.82E	3.8(5)	0.6	12	A
27 12 1982	20 31 56.0	39.29N	28.31E	2.9(4)	1.4	10	A

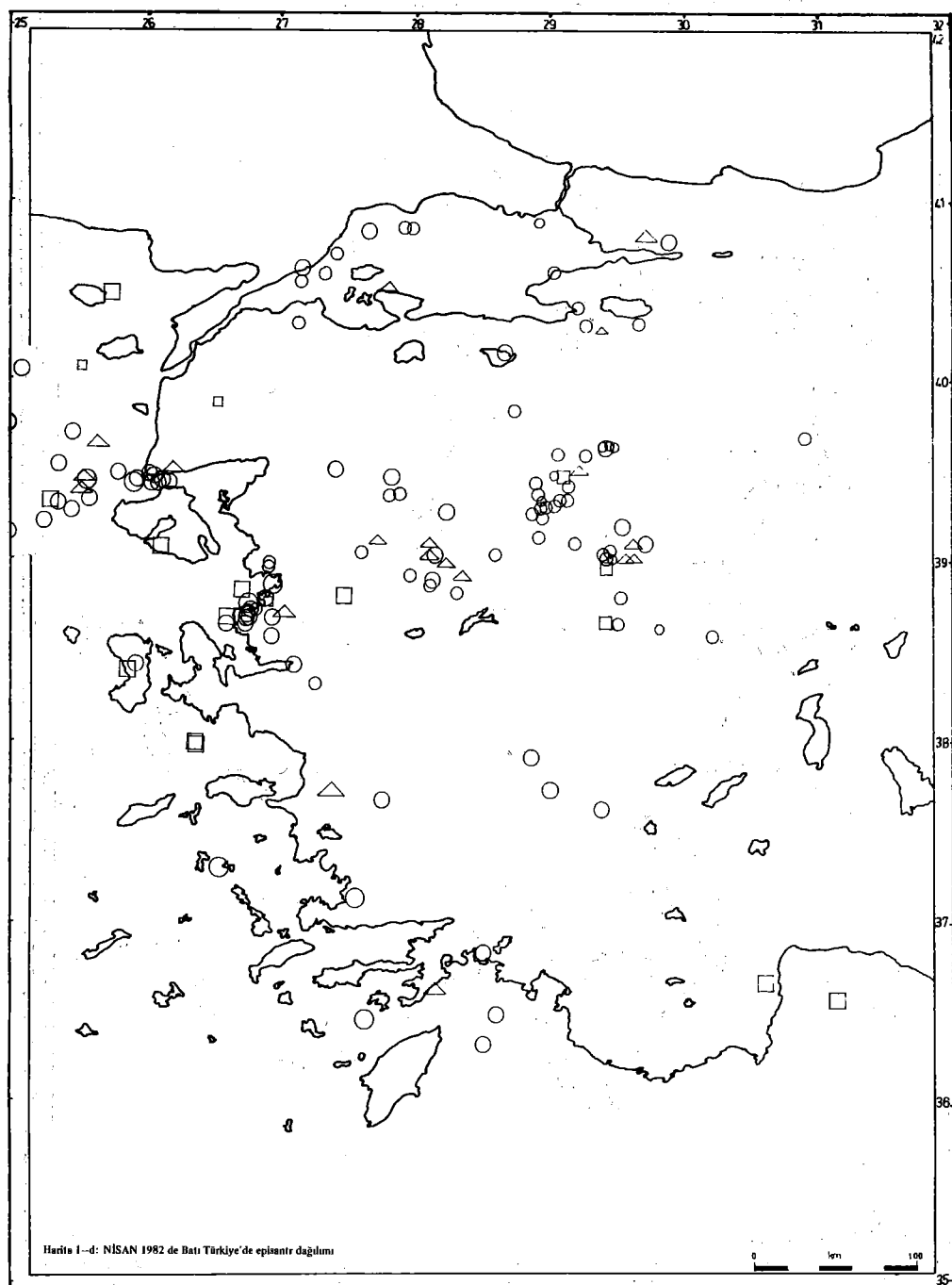
TARIH	OLUS ZAMANI	ENLEM	BOYLAM	MAGNİTUD	RMS	NA	KALİTE
28 12 1982	08 15 47.9	39.33N	28.16E	2.6(2)	2.1	8	B
28 12 1982	08 18 28.2	39.40N	28.38E	2.9(3)	1.2	8	A
28 12 1982	09 19 40.7	39.53N	25.86E	4.0(5)	0.6	11	A
28 12 1982	09 49 23.0	39.41N	25.68E	3.9(4)	0.8	8	A
28 12 1982	09 54 59.0	39.16N	27.71E	3.1(4)	1.0	8	A
28 12 1982	16 08 03.5	39.39N	28.34E	3.0(4)	0.6	9	A
28 12 1982	19 27 59.9	39.27N	27.63E	2.8(1)	2.2	7	B
28 12 1982	22 58 25.9	39.40N	28.42E	2.8(4)	0.8	8	A
28 12 1982	23 19 27.2	39.25N	28.22E	3.0(4)	0.8	10	A
29 12 1982	00 12 52.8	39.29N	28.46E	2.9(5)	1.7	9	A
29 12 1982	00 26 14.8	39.20N	26.49E	2.6(3)	2.5	7	B
29 12 1982	02 04 57.1	41.60N	27.46E	3.5(3)	1.5	11	A
29 12 1982	11 33 52.5	40.81N	27.47E	2.6(2)	0.5	8	A
29 12 1982	19 48 57.0	39.14N	29.93E	2.3(3)	1.4	5	A
30 12 1982	16 16 22.0	40.39N	25.21E	4.0(2)	1.9	7	B
30 12 1982	18 41 05.0	40.87N	28.68E	2.4(2)	0.8	8	A
31 12 1982	02 22 01.7	38.91N	27.76E	3.3(2)	0.8	6	A

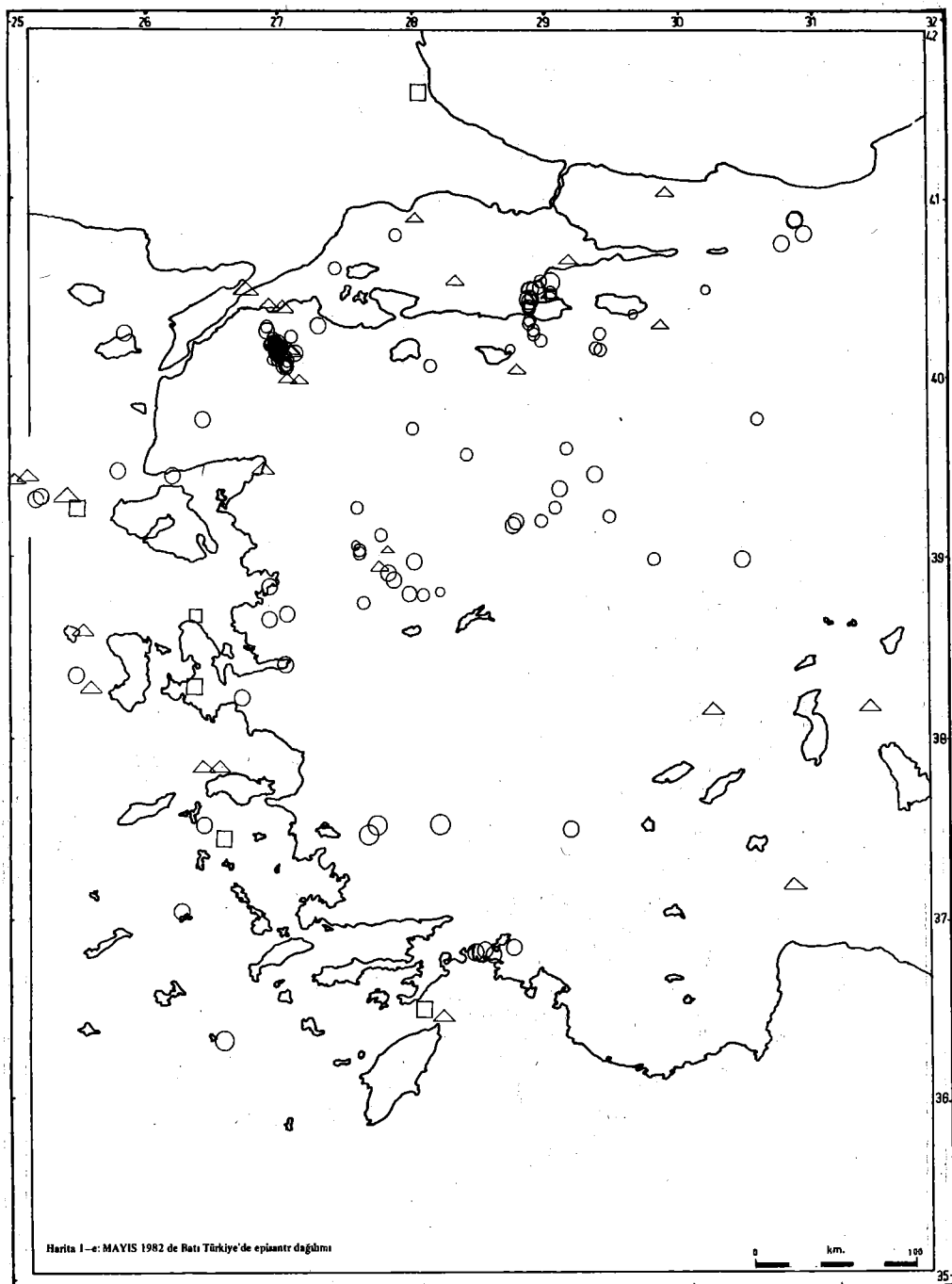


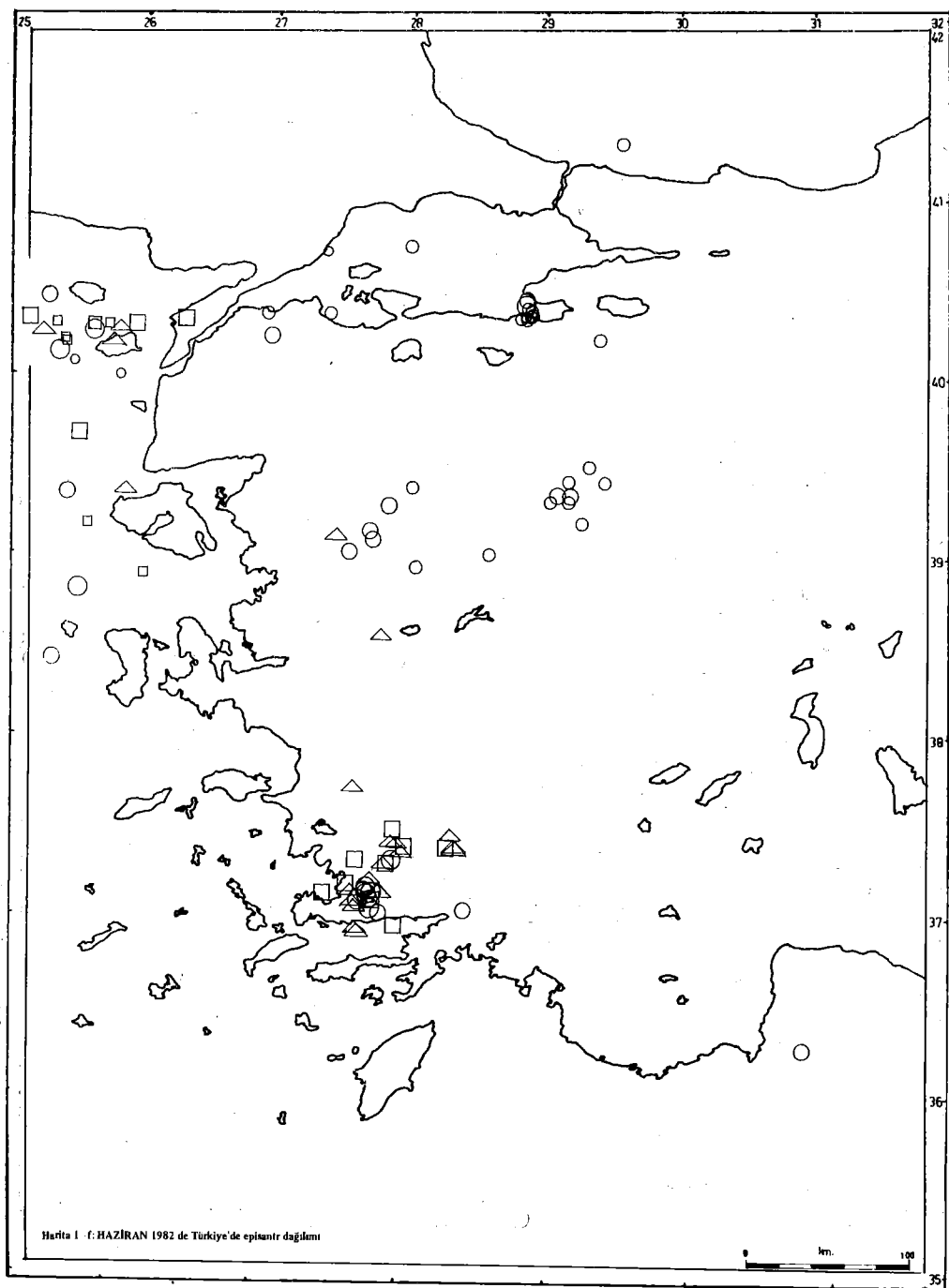


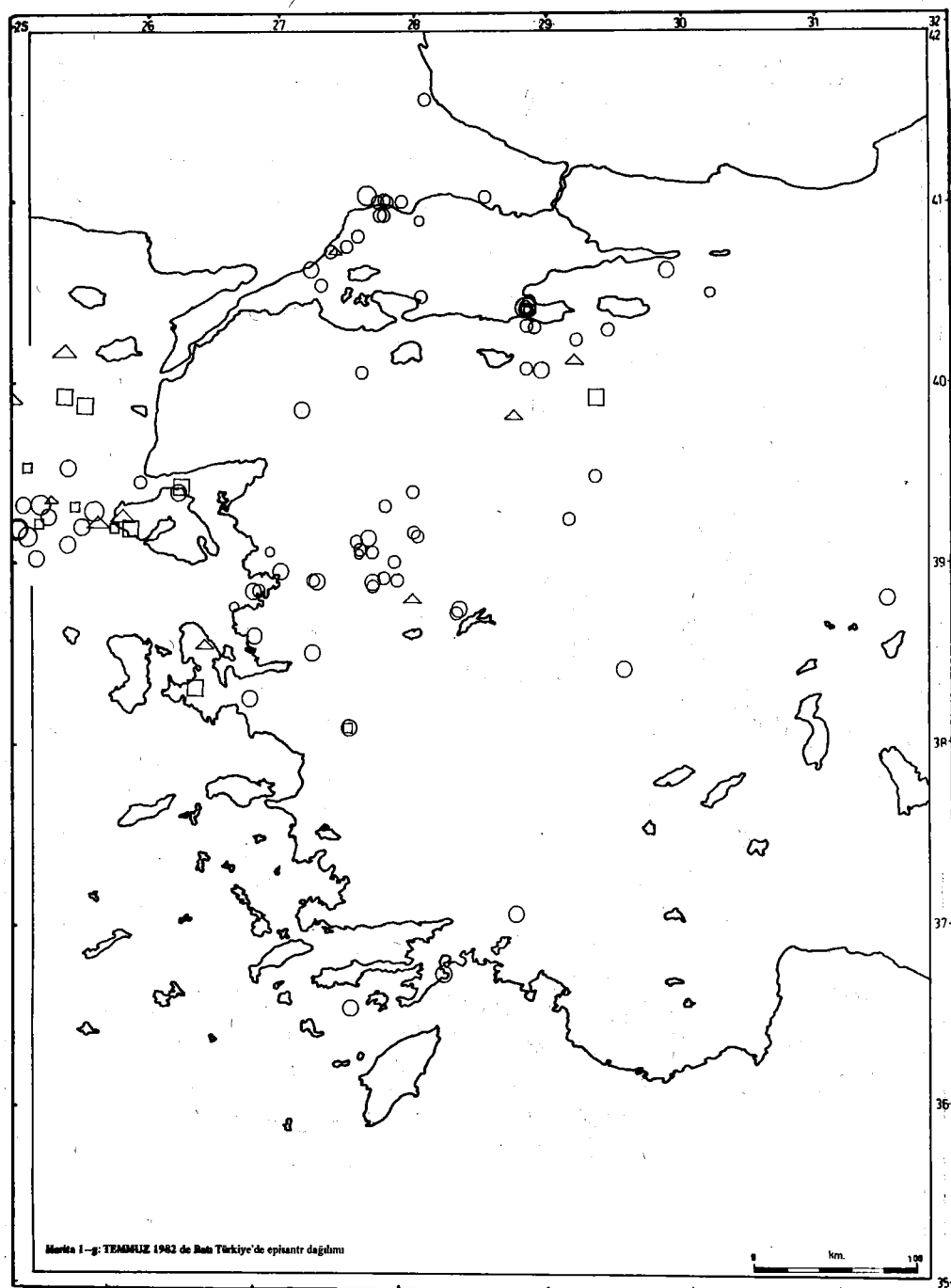


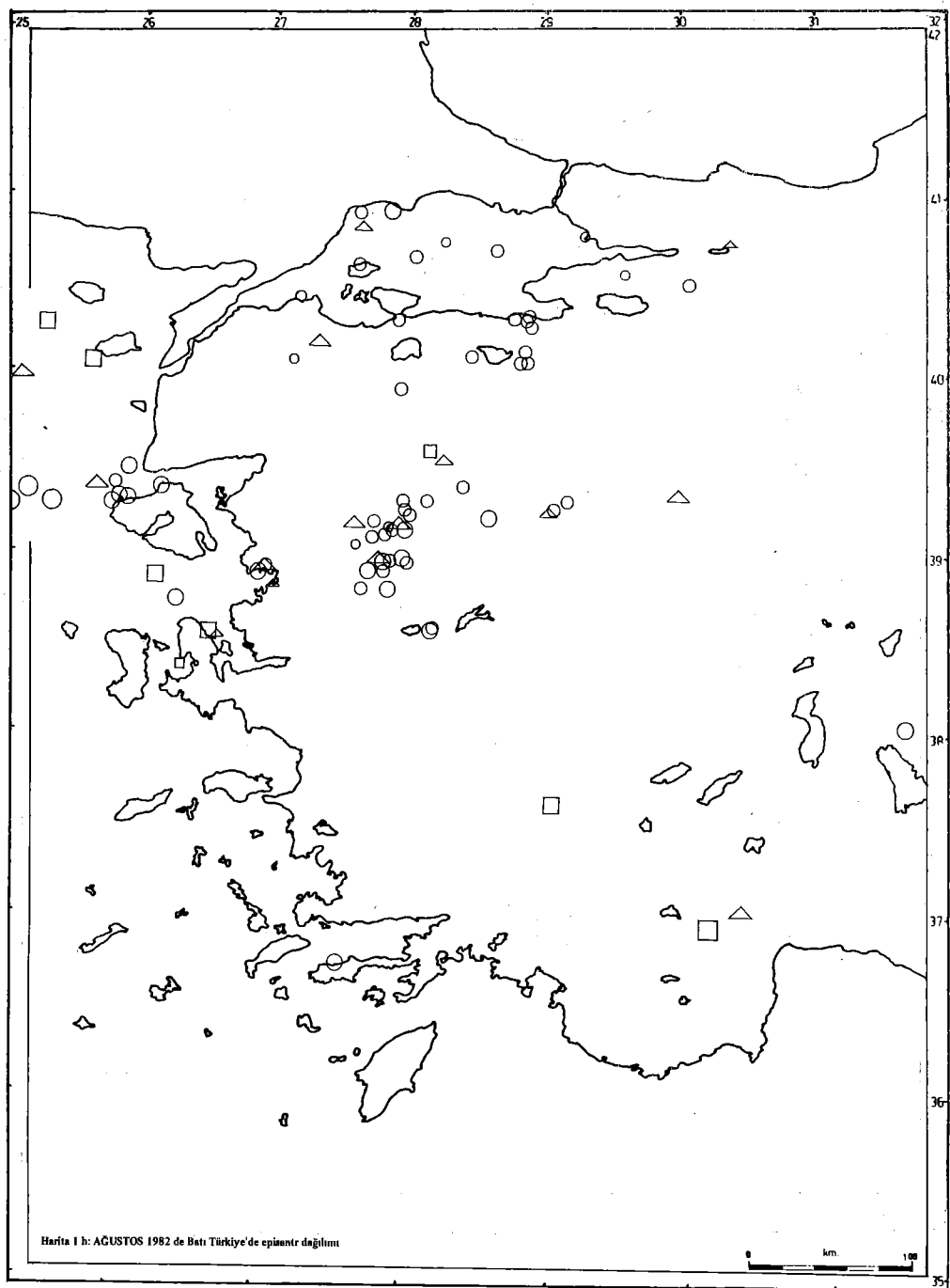
Harita 1-c: MART 1982 de Batı Türkiye'de epizootik dağılım

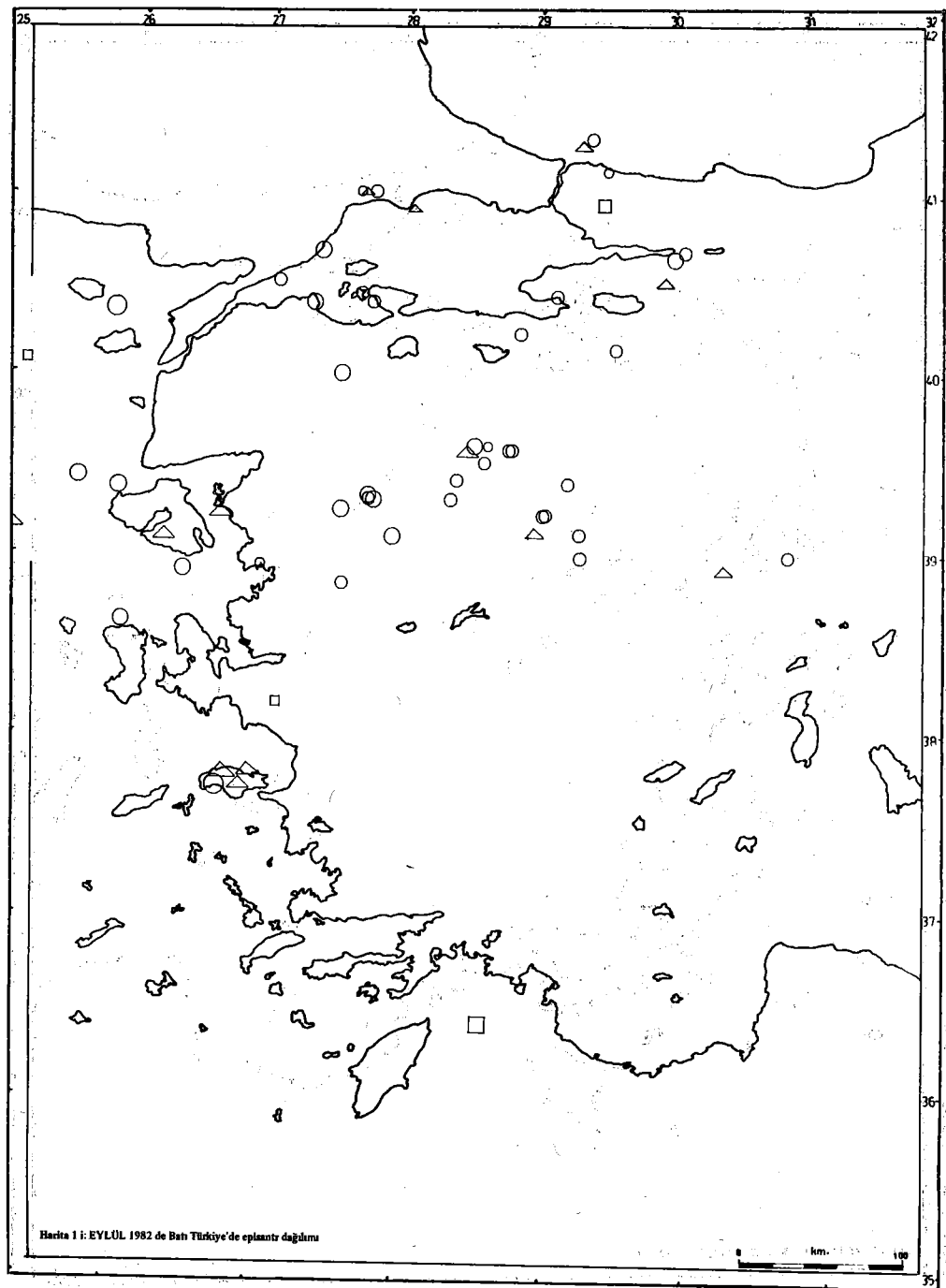




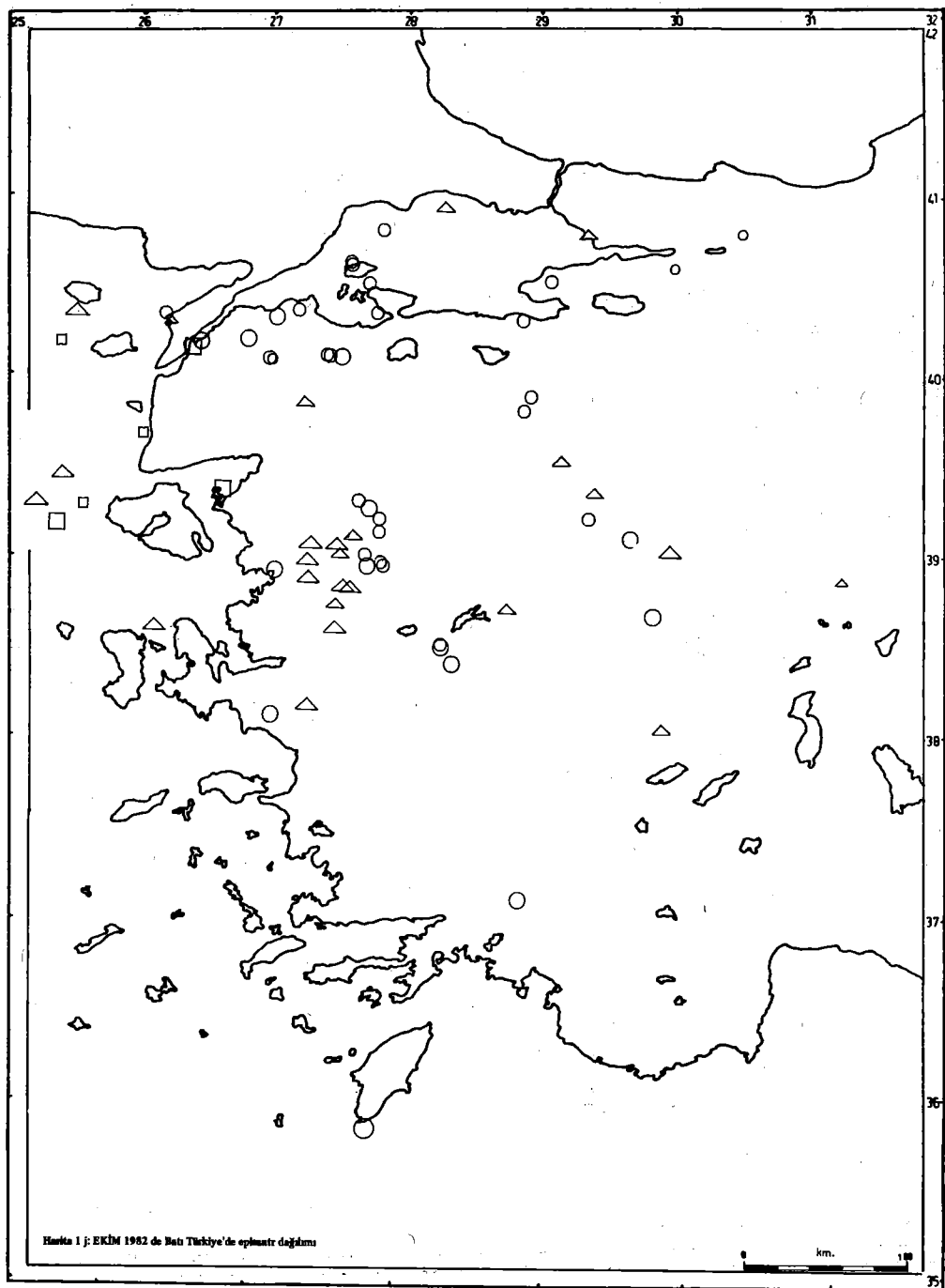


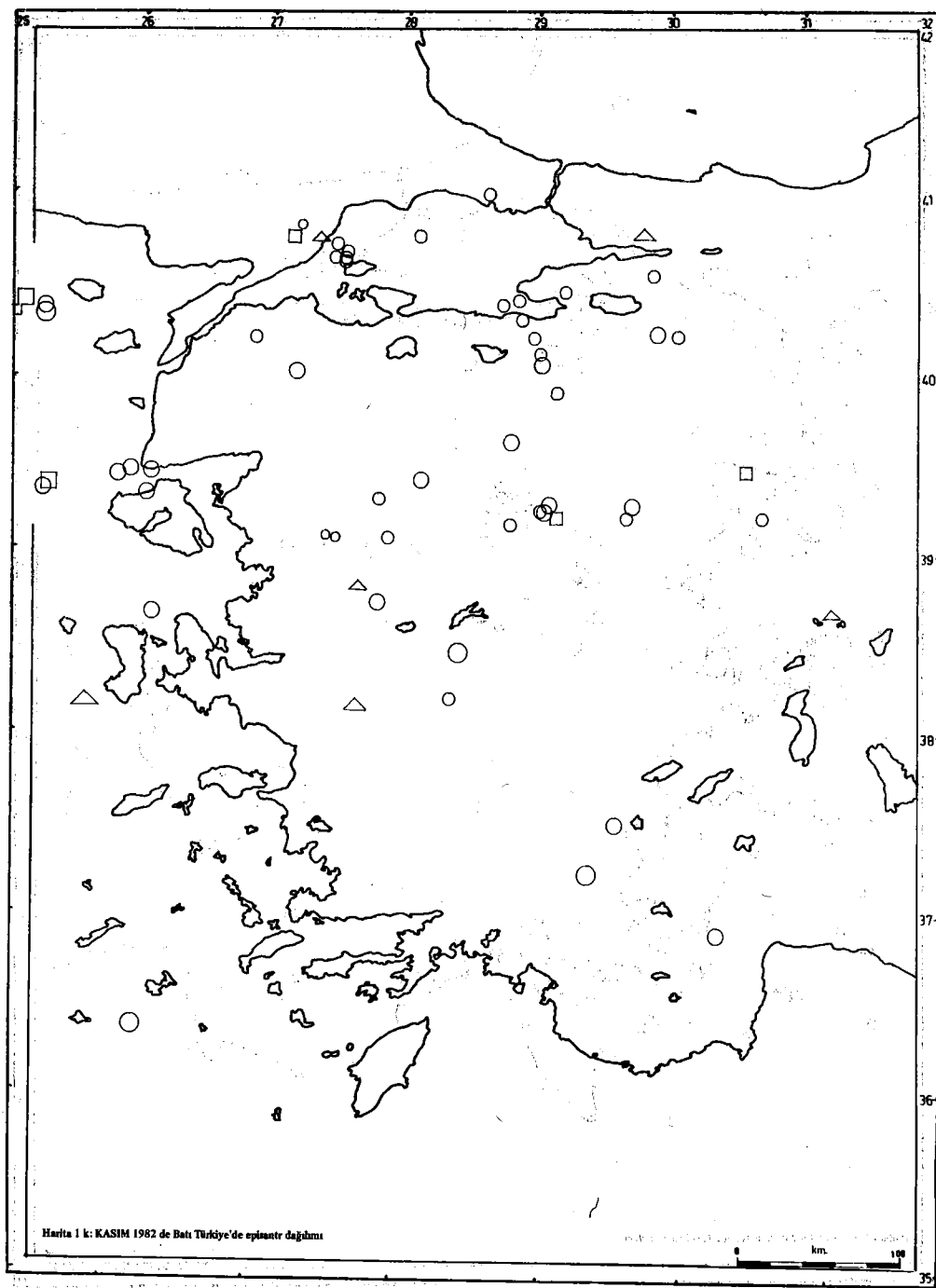






Harita 1 i: EYLÜL 1982 de Batı Türkiye'de epizoantır dağılımı





Harita 1 k: KASIM 1982 de Batı Türkiye'de epizentre dağılımı

100 km.

